n. 9, No 4, 1990

ISSN 0203-393X

HEMPOXMMMAN UBBERPUPU



Ст. редактор Э. А. ХАЧАТУРОВА "Лит. сотружник Г. Р. ГРИГОРЯН

Сдано в набор 7.406. 1991 г. Подписано к нечати 5. 12. 1991 г. Формат 70×108¹/₁₆. Бумага № 1 «сыктывкарская». Высокая печать. Печ. лист. 7,75. Усл.-печ. лист. 10,85. Усл. кр. от 10,85 Учет.-изд. 8,98. Тираж 715. Заказ 171. Издат. 7954. Цена 3 р. 30 коп. Адрес редакции: 375052. Ереван. ул. Асратяна, 9. 1 эт., 152 к., т. 28-20-31 Издательство АН Армении, 375019. Ереван, пр. Маршала Баграмяна, 24 г. Типография Издател.ства Академии наук Армении, Ереваи, 375019, пр. Маршала Баграмяна, 24.

HEMPOXUMIIA TUBENTEUL

ТОМ 9, ВЫП. 4 ОКТЯБРЬ—ДЕКАБРЬ

Журнал основан в 1982 году Выходит 4 раза в год

Редакционная коллегия

А. А. ГАЛОЯН—главный редактор А. ЛАЙТА (США)—соредактор

Н. Ф. АВРОВА, Г. В. АПРИКЯН А. В. АРУТЮНЯН (зам. главного редактора), Л. С. АРУТЮНЯН (отв. секретарь), И. П. АШМАРИН, Р. И. ГЛЕБОВ, К. Г. КАРАГЕЗЯН, В. К. ЛИШКО, В. С. ОГАНЕСЯН, К. С. РАЕВСКИИ, Л. Я. ТЯХЕПЫЛД, Г. С. ХАЧАТРЯН, Б. АГРАНОФФ (США), С. ТУЧЕК (Чехословакия)

Редакционный совет

Н. Г. АЛЕКСИДЗЕ, О. Г. БАКЛАВАДЖЯН, А. Ю. БУДАНЦЕВ, В. А. БЕРЕЗИН, М. Е. ВАРТАНЯН, Г. П. ГЕОРГИЕВ, М. А. ДАВТЯН, С. А. ДАМБИНОВА, Н. Н. ДЕМИН, Н. Д. ЕЩЕНКО, П. Г. КОСТЮК, Б. Н. МАНУХИН, Д. Г. МИКЕЛАДЗЕ, Ю. А. ПАНКОВ, А. Т. ПИКУЛЕВ, Н. К. ПОПОВА, В. И. РОЗЕНГАРТ, В. П. СКУЛАЧЕВ.

Н. П. ТАРАНОВА, С. Х. ХАЙДАРЛИУ, Е. М. ХВАТОВА, Р. Н. ЭТИНГОФ

К СВЕДЕНИЮ ЧИТАТЕЛЕЙ!

Журнал «НЕПРОХИМИЯ» (орган АН СССР и АН Армении) основан в 1982 г. В нем публикуются статьи по актуальным вопросам функциональной нейрохимии, касающимся структуры и биологической роли специфических белков, нейропептидов, нуклеиновых кислот и нуклеотидов, липилов и других соединений нервной ткани, биохимии грансмиттеров и их рецепторов, глии и нейронов, хромаффинных гранул и т. д.

С 1984 г. журнал «Нейрохимия» издается на английском языке. В журнале печатаются не только работы отечественных нейрохимиков, но и зарубежных ученых.

Журнал представляет интерес для широкого круга нейробиологов, работающих в области нейрохимии, фармакологии, физиологии первной системы, а также специалистов, занимающихся вопросами клинической нейрохимии.

Подписку на журнал «Нейрохимия» можно осуществить во всех отделениях «Союзпечати» (индекс для подписки—70637), а за границей через агентство «Междунароная книга». «Журнал выхонт 1 раз в год.

РЕДКОЛЛЕГИЯ

УДК 612.822.1:615.214.2

ВЛИЯНИЕ ФОСФОЛИПАЗЫ A_2 НА СВЯЗЫВАНИЕ м-ХОЛИНО-И β -АДРЕНОБЛОКАТОРОВ СИНАПТОСОМАМИ МОЗГА КРЫС

МАНУХИН Б. Н., КИЧИКУЛОВА Т. П., МОСКОВКИН Г. Н. Институт биологии развития им. Н. К. Кольцова АН СССР, Москва

На синантосомах мозга 15-дневных и взрослых крыс установлено достоверное различие в величине основных параметров B_{\max} и K_d , характеризующих связывание специфических блокаторов м-холино- и β -адренореценторов [3H] хинуклидинилбензилата и [3H] дигидроалиренолола.

Показано, что мембраноактивный компонент из яда среднеазиатской кобры Naja паја остана фосфолиназа A_2 в концентрации 1 мкг/мл вызывает, как правило, характерные изменения B_{\max} и K_d связывания синаптосомами [3H] хинуклидинил-бензилата и [3H] дигидроалиренолола.

Предполагается, что функциональные перестройки мембраны в процессе развития животных или вызванные фосфолипазой A_2 приводят к сдвигам в специфической активности адрено- и холинорецепторов и, как следствие, к изменению адренергической и холинергической реакций.

Процесс морфологического и функционального становления ЦНС у высших животных в онтогенезе не завершается на стадии пренатального развития, а продолжается после рождения [1]. В частности, существенно отличаются по физико-химическим свойствам липиды мембран взрослого и развивающегося мозга крыс в течение трех недель после рождения [2]. Поскольку специфические рецепторы нейротрансмиттеров являются интегральной частью цитоплазматической мембраны, можно ожидать, что способность синаптосом связывать нейротрансмиттеры и их антагонисты может меняться по мере созревания мембран нейронов.

Было установлено, что яд среднеазнатской кобры Naja naja oxiana и его мембраноактивные компоненты фосфолипаза A2, цитотоксии и нейротоксии вызывают достоверные характерные изменения адренергической и м-холинергической реакций изолированных отрезков тонкой кишки крысы [3, 4]. Изолированный отрезок тонкой кишки представляет сложную гетерогенную тканевую систему, изменение реакции которой на нейротрансмиттеры может быть следствием воздействия яда и его компонентов не только на специфические адрено- и холинорецепторы мышечных элементов, но и на клеточную мембрану, нервные сплетения и т. д. Поэтому для уточнения локализации действия мембраноактивных компонентов на медиаторную реакцию необходимо использовать более простую экспериментальную модель, ко-

торая структурно будет однородной системой. Одной из наиболее адекватных моделей для изучения элементарных нейрохимических процессов являются синаптосомы. Синаптосомы сохраняют ряд основных свойств нервных окончаний и постсинаптических мембран. В частности, способность их рецепторов связывать специфические лиганды, что изменяет трансмембранный транспорт нонов и медиаторов в синаптосомы [5].

Ранее было показано, что яд среднеазнатской кобры Naja naja oxiana и его мембраноактивный компонент фосфолипаза A₂ тормозят специфическое связывание синаптосомами коры мозга крысы блокатора м-холинорецептора хинуклидинилбензилата [6].

Задачей настоящей работы было выяснение особенностей действия мембраноактивного агента фосфолипазы A_2 на способность синаптосом мозга взрослых и 15-дневных крыс связывать радноактивные блокаторы м-холино- и β-адренорецепторов.

Материалы и методы

Синаптосомы из коры мозга крыс линии Wistar выделяли по методу Hajos [7]. Суспензию синаптических мембран инкубировали при 37° в течение 5 мин в присутствии фосфолипазы A2 в концентрации 1 мкг/мл. После быстрого охлаждения в ледяной бане и добавления 15-кратного объема холодного раствора Тироде, суспензию синаптосом дважды центрифугировали при 20 000 g в течение 20 мин. Полученные осадки суспензировали в 0.05 М фосфатном буфере рН 7,4 и использовали для радиолигандного анализа. Общий объем никубационной среды—500 мкл. объем суспензии сплантосом—50 мкл, концентрация радиолигандов от 0,25 до 16 иМ. Для определения чеспецифического связывания лигандов использовали атропии или пропранолол в концентрации 10 мкМ. Инкубацию проводили при 25° в гечение 60 мин. Связывание останавливали быстрым охлаждением в ледяной бане. Связанный с синаптосомами и свободный радиолиганд 20000 g центрифугированием HOIL или фильтрацией разделяли GF/B («Whatman», Англия) с послечерез стеклянные фильтры дующей их промывкой 6—8 объемами фосфатного буфера. Осадки после центрифугирования промывали двукратным объемом фосфатного буфера и инкубировали сутки в 0,5 мл 1%-ного раствора тритена Х-100. Растворенный осалок или фильтр (после фильтрации) жидкостью ЖС-8. В переносили во флаконы с сцинтилляционной каждом опыте использовали 4-6 концентраций лиганда, по 3 параллели для каждой концентрации. Радиоактивность измеряли на сцинтилляционном счетчике SL-4000 («Intertechnique», Франция). Эффективность счета-37%. Содержание белка определяли по методу Лоури. Для расчета параметров связывания радиолигандов использовали метод наименьших квадратов. Статистическую обработку результатов проводили с применением критериев Стьюдента и непараметрических методов (кластерный анализ и ранговая корреляция).

В работе были использованы: [3 Н] хинуклидинилбензилат, У. А. 12,3 Ки/ммоль, [3 Н] дигидроалпренолол, У.А. 73 Ки/моль («Атегsham», Англия), фосфолипаза A_2 из яда среднеазиатской кобры Najanaja oxiana (Институт биохимии АН Узбекской ССР).

Результаты исследования

Специфическое связывание использованных в работе лигандов холино- и адренорецепторов—это типичный насыщаемый процесс. Неспецифическое связывание на фоне атропина и пропранолола линейно зависит от концентрации лиганда. Фосфолипаза A_2 не изменяет общий характер кривой специфического связывания лигандов, но, как правило, снижает его величину. На неспецифическое связывание лигандов фосфолипаза A_2 достоверного влияния не оказывает. В качестве примера на рис. 1 представлены результаты одного из

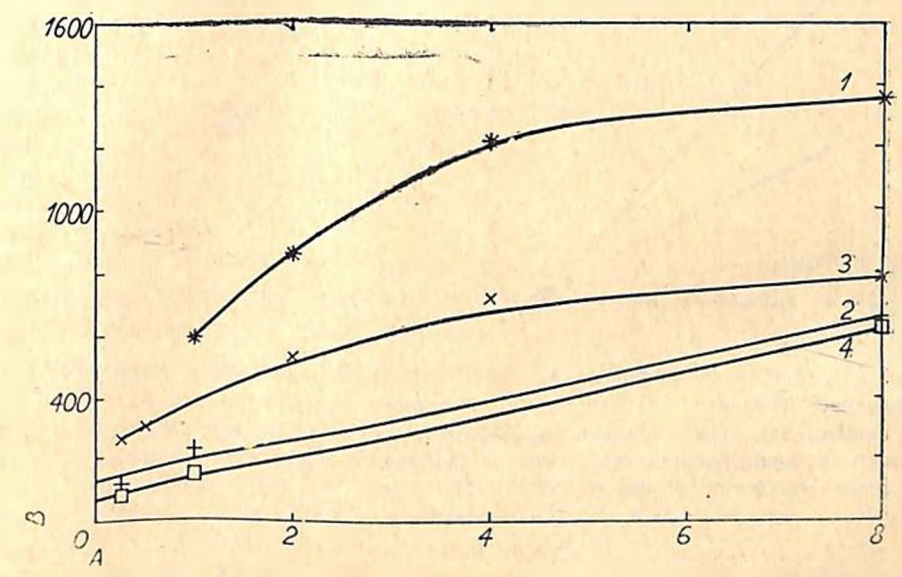


Рис. 1. Действие фосфолипазы A_2 на связывание [3H]хинуклидинилбензилата синаптосомами головного мозга взрослых крыс. По оси абсиисс—концентрация свободного [3H]хинуклидинилбензилата, по оси ординат—концентрация связанного [3H]хинуклидинилбензилата, 1,2-специфическое и неспецифическое связывание лиганда (контроль); 3,4—специфическое и неспецифическое связывание лиганда после обработки фосфолипазой A_2 (1 мкг/мл). А—концентрация свободного лиганда (нМ), В—концентрация связанного лиганда (фмоль/мг белка)

опытов по влиянию фосфолиназы A_2 (! мкг/мл) на специфическое и неспецифическое связывание синаптосомами головного мозга взрослых крыс [3 H] хинуклидинилбензилата. На рис. 2 α приведены результаты того же опыта в координатах Хофсти-Скетчарда. В использованной системе координат экспериментальные точки удовлетворительно укладываются на одну прямую линию, что позволяет говорить о гомогенности пулов холинорецепторов. Под влиянием фосфолипазы

 A_2 синжается концентрация мест связывания и величина K_d . Как видно из данных, приведенных в табл. 1, происходит достоверное снижение плотности мест связывания лиганда на 42% и значительное (на 46%), по статистически педостоверное (по Стьюденту) снижение величины K_d . Однако пепараметрическая статистическая обработка результатов показывает достоверное различие между контрольной и опытной группами. Такое однонаправленное снижение двух основных параметров связывания лиганда приводит к тому, что величина эффективности связывания $E = B_{max}/K_d$ [8] изменяется значительно меньше, чем основные параметры.

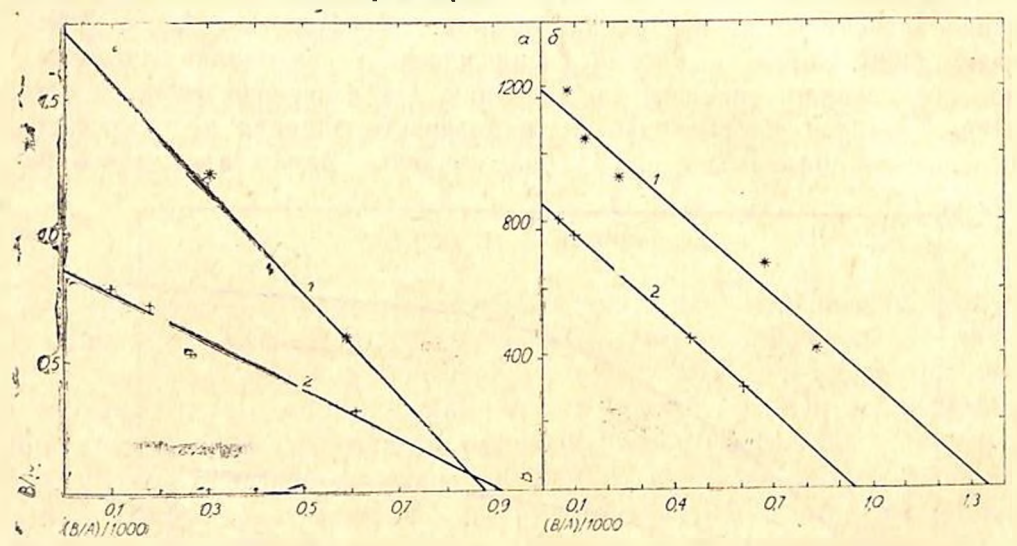


Рис. 2. Действие фосфолипазы A_2 на специфическое связывание [3H]хинуклидинилбензилата синаптосомами головного мозга взрослых (а) и 15-дневных (б) крыс (координаты Хофсти-Скетчарда). По оси абсцисствоимение концентраций связанного и свободного лиганда. I—контроль, 2—после обработки фосфолипазой A_2 (1 мкг/мл). А—концентрация свободного лиганда (фмоль/мг белка)

На рис. 2, б показан график связывания [3 Н] хипуклидинила синаптосомами мозга 15-дневных крыс. Также как у взрослых крыс места связывания лиганда представлены одним пулом. Видно, что способность синаптосом мозга молодых крыс связывать [3 Н] хипуклидинил отличается от взрослых только количественио. У них достоверно меньше мест связывания лиганда (3 На выше к нему сродство (табл. 1). Фосфолипаза 2 в концентрации 1 мкг/мл вызывает достоверное снижение плотности мест связывания и не оказывает существенного влияния на величину 3 На Величина эффективности связывания лиганда 3 На уменьшается на 3 На

Общая закономерность связывания синаптосомами мозга крысы блокатора β-адренорецепторов [³H] дигидроалпренолола сходна со связыванием [³H] хинуклидинила. Наблюдается типичная кривая на-

сыщения с выходом на плато. Однако в координатах Хофстн-Скетчарла обнаруживается четко выраженный кооперативный эффект [9] с коэффициентом Хилла, равным 2. На рис. 3, а представлены результаты опыта по действию фосфолипазы A2 на связывание [3H] дигидроалиренолола синаптосомами мозга взрослых крыс. Из графика следует, что места связывания лиганда представлены одним пулом, а равный двум коэффициент Хилла позволяет предположить, что к одпому месту связывания присоединяются две молекулы лиганда.

Таблица I Влияние фосфолипазы A_2 (ФЛ- A_2) на связывание [3H] хипуклидинилбензилата синаптосомами мозга взрослых и 15-дневных крыс

	и то диевно	tx Kpinc			
Крысы		Контроль	ФЛ-А ₂ , 1 мкг/мл		
Езрослые (6 опытов)	Ка иМ В.nax фмоль/мг Е = В nax/2Кd	$\begin{array}{r} 1.91 \pm 0.29 \\ 1730 \pm 120 \\ 453 \end{array}$	1.93±0,12 897±43* 435		
15-дневные (6 опытов)	Ка нМ В.пах фмоль/мг Е = В.пах/2Кd	0.91±0,04 1129±17 620	1.01±0.09 912±34* 451		

Примечание. *р<0,05 (по Стьюденту).

Общий характер связывания лиганда синаптосомами 15-дневных крыс такой же, как и у взрослых. Существенно отличается плотностьмест связывания. У взрослых она выше почти в 7 раз, выше у них также Ка—более, чем в 8 раз (табл. 2).

Таблица 2° Влияние фосфолиназы A_2 (ФЛ- A_2) на связывание [3H] дигидроалпренолола синантосомами мозга взрослых и 15-дневных крыс

Крысы		Контроль	ФЛ-А2
Взрослые (6 опытов)	К _d иМ В _{max} фмоль/мг Е=В _{max} /2Кd	8.81±5.43 1928±97 109	9.53±0.97 1640±12* 86
15-дневные (6 опытов)	Ка иМ Вмах фмоль/мг E=B.nax/2Kd	1.05±0.32 276±40 131	1,3,±0.57 392±54 152

Примечание. *р<0,05 (по Стьюденту).

В синаптосомах взрослых крыс фосфолипаза A₂ в концентрации 1 мкг/мл вызывает (рис. 3, а) сдвиг прямой влево параллельно контрольной. Это указывает на снижение концентрации мест связывания лиганда без изменения сродства. Из средних данных, приведенных табл. 2, видно, что фосфолипаза A₂ достоверно снижает плотность мест связывания [³Н] дигидроалпренолола. Величина К₄ в этих условиях практически остается неизменной.

Несколько другие результаты получены при действии фосфолипазы A_2 на синаптосомы мозга 15-дневных крыс. На рис. 3, б видно, что в этих условиях происходит увеличение угла наклона прямой. Это указывает на повышение концептрации мест связывания лиганда. Фосфолипаза A_2 в синаптосомах 15-дневных крыс не вызывает достоверных (по Стьюденту) изменений в параметрах, характеризующих связывание лиганда (табл. 2). Однако наблюдается четкая тенденция к увеличению мест связывания лиганда. По данным непараметрической статистики, эти изменения достоверны.

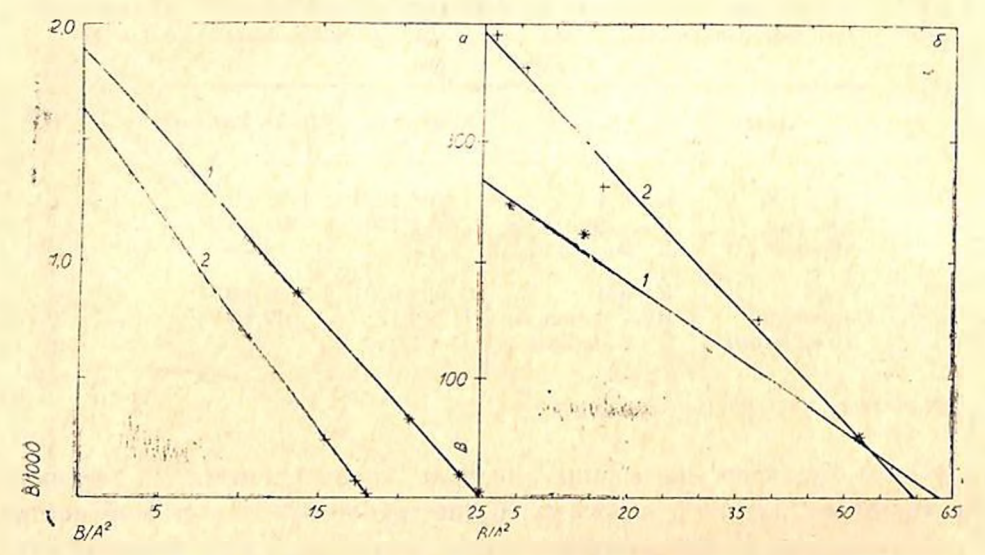


Рис. 3. Действие фосфолипазы A_2 на специфическое связывание [3H]дигидроалпренолола синаптосомами головного мозга взрослых (а) и 15-дневных (б) крыс (координаты Хофсти-Скетчарда)

Обсуждение результатов

По количественным характеристикам места связывания специфических лигандов синаптосомами коры мозга взрослых и 15-дневных крыс достоверно отличаются. При этом концентрация мест связывания [3H] дигидроалпренолола у взрослых крыс больше в 7 раз, а [3H] хинуклидинила в 1,5 раза. Величина К_d больше в 8 и 2 раза соответственно. Общий интегральный показатель связывания лигандов—эффективность (E) у взрослых и молодых крыс отличается меньше. Эффективность связывания [3H] дигидроалпренолола у 15-дневных крыс выше в 1,2 раза, а [3H] хинуклидинила в 1,4 раза.

Приведенные данные показывают, что по использованным характеристикам места связывания специфических адрено- и холиноблокаторов у взрослых и молодых крыс достоверно различаются по своим функциональным свойствам, что позволяет говорить о возрастной динамике функциональных свойств мембран иервных клеток.

По характеру действия на способность синаптосом связывать радиолиганды фосфолипаза A₂ напоминает бесконкурентные ингибиторы [9]. Из данных табл. 1 и 2 видно, что достоверно под влиянием фосфолипазы А2 снижается концентрация мест связывания лигандов-Однонаправленное изменение величины Ка не всегда выявляется по параметрическому критерию Стьюдента, по достоверно по непараметрической ранговой корреляции и кластерному анализу. Действие фосфолипазы А2 на синаптосомы 15-дневных крыс вызывает менее выраженные изменения в способности связывать [3Н] дигидроалпренолол (табл. 2). Величина ингибиторной константы (Кі) при действии на связывание [3H] хинуклидинила составляет 4,20 и 2,08 мкг/мл для 15-диевных и взрослых крыс соответствению. Ингибиторное действие фосфолипазы А2 на связывание [3Н] дигидроалиренолола слабее величины К, для взрослых крыс 5,69 мкг/мл, а на синаптосомах 15-дневных крыс получена вместо ингибирования связывания небольшая его активация (табл. 2).

Нет никаких оснований связывать эффект фосфолипазы А2 с прямым действием на специфические адрено- и холинорецепторы мембраны мозга крыс. Более вероятным можно считать ее действие на липидный слой мембраны, что вызывает конформационные перестройки мембраны, следствием которых являются полученные изменения параметров кинетики связывания лигандов. Представленные данные хорошо согласуются с работой Кээмбрэ и соавт. [10], в которой показана способность не зменной фосфолниазы А2 ингибировать связывание [3Н] хинуклидинила микросомной фракцией мозга крыс. Ранее были получены данные о нарушении фосфолипазой А2 физиологических адренергической и холинергической реакций [3, 4]. На связь этого эффекта с действием фосфолипазы А2 на фосфолипиды мембраны прямо или косвенно указывает ряд данных литературы. Считается. что фосфоливидный бислой в значительной степени определяет функциональное состояние мембраны нервных клеток [11], а фосфолипиды участвуют в трансмембранной передаче медиаторного воздействия [12]. Фосфолипаза А2 снижает микровязкость мембран синаптосом мозга крысы и вызывает деполяризацию мембран [13]. Продукт гидролиза фосфолапидов лизолецитии обладает холинолитическими свойствами [14]. От состава, текучести и окисляемости липидов мембраны мозга зависит чувствительность ЦНС крыс к раздражающим факторам [15].

Результаты проведенных экспериментов и анализ литературных данных показывает, что специфическая активность адрено- и холинорецепторов и мест связывания их блокаторов в значительной степени определяется функциональным состоянием цитоплазматической мембраны, в которой они расположены. Функциональные перестройки мембраны в процессе развития животных или вызванные мембраноактивной фосфолипазой А2 приводят к сдвигам в специфической активности адрено- и холинорецепторов и, как следствие, к изменению в адренергической и холинергической медиаторных реакциях.

THE EFFECT OF PHOSPHOLIPASE A₂ ON m-CHOLINO- AND BETA-ADRENOBLOCKER BINDING BY RAT BRAIN SYNAPTOSOMES

MANUKHIN B. N., KICHIKULOVA T. P., MOSKOVKIN G. N.

Koltzov Institute of Developmental Biology. USSR Academy of Sciences, Moscow

Significant differences between brain synaptosomes of 15-day old and adult rats were detected in B_{max} and K_d for the binding of [3H] quinuclidynyl benzylate and [3H] dihydroalprenolol, specific blockers of m-cholino- and beta-adrenoreceptors.

Phospholidase A_2 (1 µg/ml), a membrane-active component of the Middle Asian cobra (Naja Naja oxiana) venom, reduced A_{max} and K_d for the [*H] quinuclidynyl benzylate and [*H] dihydroalprenolol binding by synaptosomes.

Our data suggest that functional modifications of membranes taking place during development or induced by phospholipase A₂ modulate the specific activity of adreno- and cholinoreceptors and as a result adrener-gic and cholinergic responses are disturbed.

ЛИТЕРАТУРА

- 1. Угрюмов М. В. Нейроэндокринная регуляция в онтогенезе, М., Наука, 1989.
- 2. Jacobson M. Developa ental neurobiology, N. Y., Plenum Press, 1978.
- 3. Манухин Б. Н., Кичикулова Т. П., Бердыева А. Т. Физиол. журн. СССР, т. 73, № 9, с. 1175—1181, 1987.
- 4. Кичикулова Т. П., Бердыева А. Т., Манухин Б. Н. Физиол. журн. СССР, т. 74, № 6, с. 791—797, 1988,
- 5. Глебов Р. Н., Крыжановский Г. Н. Функциональная биохимия синапсов, М., Медицина, 1978.
- 6. Московкин Г. Н., Кичикулова Т. II., Манухин Б. 71. Нейрохимия, т. 8, № 3, с. 346—35!, 1989.
- 7. Hajos F. Brain Res., v. 93, No. 2, p. 435-483, 1975.
- 8. *Манухин Б. Н.* Физиология адренорецепторов (под ред. Т. М. Турпаева), М., Наука, 1968.
- 9. Диксон М., Уэбб Э. Ферменты (под ред. В. К. Антонова, А. Е. Браунштейна). М., Мир, 1982.
- 10. Кээмбрэ Т. А., Лансел Ю. Л., Ринкен А. А., Тяхепылд Л. Я., Ярв Я. Л. Действие протеаз и фосфолипазы A_2 на мембраносвязанный холиноренентор мозга крыс, Нейрохимия, т. 3, N 2, с. 107—115, 1984.
- 11. Крепс Е. М. Липиды биологических мембран, Л., Наука, 1981.
- 12. Hirata F., Axelrod J. Phospholipid Methylation and Signal Transmission, Science, v. 209, № 4461, p. 1082—1090, 1980.
- 13. Брусованик В. И., Ерин А. Н., Селищева А. А., Горбунов Н. В., Тюрин В. А., Прилипко Л. Л., Каган В. Е. Нейрохимия, т. 5, № 1, с. 3—10, 1986.
- 14. Звездина И. Д., Проказова Н. В., Вавер В. А., Турпаев Т. М. Физиол. журн. СССР, т. 56, № 11, с. 1600—1605, 1970.
- 15. Чернявская Л. И., Архипова Г. В., Бурлакова Е. Б. Нейрохимия, 1989, 5, № 2, с. 249—258, 1989.

УДК 539.193:577.153

КОНФОРМАЦНОННЫЕ АСПЕКТЫ ВЗАИМОДЕЙСТВИЯ АММОНИЕВЫХ И СУЛЬФОНИЕВЫХ СУБСТРАТОВ С АЦЕТИЛХОЛИИЭСТЕРАЗОЙ НЕРВНОЙ ТКАНН

РОЗЕНГАРТ Е. В., ШЕСТАКОВА Н. Н.

Институт эволюционной физнологии и биохимии им. И. М. Сеченова АН СССР, Ленинград

Методом молекулярной механики проведен теоретический конформационный внализ с расчетом всех устойчивых конформаций 9 субстратов АХЭ, визлогов АХ и эщетилгомохолина (АГХ) с различной структурой ониевой группировки. На основаиии внализа конформационно-функциональных отношений в группе триалкиламмонисвых соединений в отличие от ранее изученных триметиламмонневых визлогов АХ [1] показано, что потенциально продуктивными для гидролиза под действием АХЭ могут быть не только тране-тране конформеры по фрагменту молекулы С(О)—О—

С—С—N. Впервые осуществлен расчет всех устойчивых конформеров сульфонневых аналогов АХ и АГХ. На основании квантовохимических расчетов методом ППДП/2 сделано заключение, что различия в распределения электронных плотностей на атомах в молекулах АХ и его диметил- и метилэтилсульфонневых аналогов незначительны. Предложена модель взаимодействия онневой группировки субстрата с анионным центром АХЭ, позволившая объяснить различия в скоростях гидролиза аммониевых и сульфонневых субстратов.

АХЭ нервной ткани играет ключевую роль в процессе функциоинрования первио-мышечного спиавса, осуществляя гидролиз медиатора AX, а также является мишенью действия фосфорорганических соединений и холинергически активных веществ. В этой связи исследование структуры активного центра АХЭ содержит целый ряд информационных аспектов. Во-первых, это биоорганический аснект-изучение механизма каталитического действия фермента. Вовторых, сравнительно-энзимологический аспект-сопоставление свойств родственных ферментов у разных животных с учетом внутривиловых и межвидовых различий. В-третых, нейрохимический аспект-сравнение структуры узнающих участков АХЭ и рецепторных компонентов синанса. В-четвертых, прикладной аспект-использование сведений об особенностях строения каталитической поверхности АХЭ различного происхождения для конструпрования специфических ингибиторов, потенциальных избирательных пестацидов и холинергических активных лекарственных препаратов. Наиболее доступным и информативным методом для подобных исследований является сопоставление струк-

туры субстратов и ингибиторов АХЭ с их эффективностью [2]. Шлифовка этого метода шла по пути усовершенствования количественной меры эффективности как за счет повышения чувствительности и точности определения параметров ферментативной реакции, так и с помощью кинетических изысканий в способах определения индивидуальных констант этого процесса. Описание же структуры эффекторов за прошедшие десятилетия продолжало оставаться чисто визуальным. Даже в недавней работе [3] размеры алкильного радикала в молекуле фосфорорганического ингибитора оцениваются числом метиленовых групп. Наиболее эффективным методом исследования пространственной структуры низкомолекулярных конформационно гибких соединений (а этой характеристике соответствуют все холинэстеразные является теоретический конформационный анализ в атом-атомном приближении (метод молекулярной механики) [1, 4-7]. Этот метод позволяет продемонстрировать множественность во взаимном расположении структурных элементов эффектора, дает возможпость оценивать вероятность существования молекулы в той или иной конформации («заселенность») и делает осуществимым переход к реальному определению расстояний между функциональными группами эффектора.

Весьма плодотворным оказалось применение метода теоретического конформационного анализа структурно-функциональных отношений в приложении к субстратам АХЭ. На основе расчета устойчивых конформаций 23 триметиламмониевых производных АХ с разной структурой этиленового «мостика» между ацильной и катионной частями молекулы сделан вывод, что при гидролизе под действием АХЭ продуктивной является полностью вытянутая конформация АХ [1, 8—10].

В настоящей работе мы обратились к субстратам АХЭ с различной структурой катнонной группировки—триалкиламмониевым и диалкилсульфониевым производным АХ, а также к анетилгомохолину (АГХ) и его метилэтилсульфониевому аналогу. Представляло интерес оценить влияние структуры ониевой группировки на выбор продуктивной конформации субстрата при гилролизе под действием АХЭ.

Методы расчетов

Теоретический конформационный анализ осуществлялся метолом молекулярной механики по универсальной конформационной программе [11]. Устойчивые конформации отыскивались путем минимизации эпергии с варьпрованием значений торсионых и валентных углов при постоянных длинах связей. Конформационная эпергия представлялась как сумма певалентных, электростатических и торсионных взаимодействий, эпергии деформации валентных углов. Длины связей приняты такие, как в работе Шестаковой и соавт. [1]. Параметры потенциальных функций взяты из работы Мотапу и соавт. [12]. Распределение электронных плотностей рассчитывали ме-

тодом ППДП/2 [13]. Для оценки вероятности нахождения молекулы в каждой устойчнвой конформации рассчитывали их заселенности (Р, %), как в работе [1].

При описании конформаций торсионных углов были приняты стандартные обозначения: символы t, g и g^- означают соответственно транс-, $zouu^+$ - и $zouu^-$ -конформации.

Взаимное расположение ацильной и катионной группировок для соединений с двумя метиленовыми группами—соединения (I)—(VII) определяется конформациями торспоиных углов фрагментов С—С (О)—

 $C-C^3$, $C(O)-(O-C^3-C^3)$ и $O-C^3-C^3$, где X=N или S, а для соединений с тремя метиленовыми группами-соединения (VIII) и (IX)—конформациями фрагментов С—С(O)—О—С † , С(O)—О—С † — C^3 . $O - C^7 - C^3 - C^\alpha$ и $C^7 - C^3 - C^\alpha - X$. Расчеты, проведенные методом молекулярной механики, показали, что для всех исследованных структур энергетически более выгодным, а следовательно и более вероятным, является транс-расположение фрагмента С-С(О)-О-С. Поскольку эпергия с цис-расположением этого фрагмента более чем на 3 ккал/моль выше, вкладом таких конформеров можно пренебречь-На этом основании при описании конформации структур данного ряда подразумевается, что фрагмент С-С(О)-О-С находится в транс-положении. Для обозначения конформации молекулы использовали последовательность символов, первый из которых отражает геометрию фрагмента С(О)-О-С3-С, а последующие-конформации следующих фрагментов по направлению от ацильной части к ониевой группировке. В расчетах учитывали также конформационную подвижность катнонных группировок. Для сравнения в таблицах приведены суммарные заселенности конформаций ацетоксиметиленовых фрагментов структур. В качестве характеристики скорости гидролиза субстратов использовались литературные данные о величинах активности каталитического центра ас [14] или бимолекулярной константы Ки, представляющей собой отношение активности каталитического центра к константе Михаэлиса [15, 16].

Результаты и обсуждение

Рансе было показано, что молекула АХ имеет 7 устойчивых практически равновероятных конформаций: gg, gl, tg, tt, tg^- , g^-t , g^-g^- , причем продуктивной для гидролиза под действием АХЭ является tt [1]. Для триметиламмониевых произволных АХ продуктивными являются конформации, совместимые с tt^- -конформацией АХ по взаимному расположению ацильной и катионной групп, а значит и расстояния между карбонильным углеродом и азотом (L_1 , A) и между карбонильным кислородом и азотом (L_2 , A) у них соответственно равны-Конформационный анализ аммониевых субстратов с различной структурой ониевой группировки (табл. 1, соединения (I)—(V)), показал, что для данной группы соединений имеет место некоторая дифферен-

циация энергии, а следовательно и перераспределение по сравнению с AX (соединение (1)) заселенности устойчивых конформаций по ацетоксиэтильному фрагменту. Однако минимумы энергии имеют почти такие же координаты, как у AX, то есть устойчивыми остались те же 7 конформаций, с соответствующими значениями L_1 и L_2 . Значения сигма-зарядов на атоме N, рассчитаниме но методу видукцион-

Кинстические параметры гидролиза под действием АХЭ a. (%), заселенность устойчивых конформеров относительно анетоксиэтильного фрагмента триалкиламмониевых субстратов СН₃—С(O)—О—СН₂—СН₂—R и коэффициенты корреляции между заселенностью каждой устойчивой конформацией и (ae)

				. 0.011					
N₂ R		a	-			স্থ	2		
,,	7.		gg	gt	gg-	tg tt	Ig-g-g	g=t	g ⁻ g ⁻
			11.5				1		
T	- N(CH ₃) ₃	100	17,8	11,4	0.2	13,5 14,3	13,50.2	11,40	17,8
п	N(CH ₃),C ₂ H ₃	103	18.9	12,4	0.8	12,4 11,7	12,30,8	12,5	18,0
111	- N C H,)2CH,	87	18,3	13,4	0,6	12,6 1 ,9	2,2,2.6	13,4	18,3
IV	- N(C,H ₁) ₀	64	18,4	14,0	0,0	11,7,10,5	11.70.1	14.0	18.6
V	-NICH [H CH]	81	17,5	13,7	0,6	12,2 12,2	12,30,6	1;,7	17,4
	коэффициент корре- ляции		0,1	0,8	0,3	0,75 0,61	0,7010.2	=3,8	-0,5

ных параметров, свидетельствуют, что распределение электронных плотностей на атомах азота у представленных соединений практически не изменяются и равны 0,1 е. Вращение вокруг связи С - N у этих соединений не встречает особых затруднений, конформации с t-, g- и g--расположением фрагмента С³ - С² - N-С практически равновероятны. Без особенностей происходит вращение вокруг простых связей у алкильных радикалов в ониевой группировке. Однако при подсчете коэффициентов корреляции между кинетическим нараметром ас и заселенностью каждой из устойчивых конформаций оказалось, что в этом ряду субстратов не наблюдается приоритета 11-конформации, как это имело место для триметиламмонисвых аналогов AX 111. Болсе того, коэффициситы корреляции для tg- и ig -конформаций несколько выше, чем для tt-конформации (табл. 1). Заметим, что три метильных заместителя у АХ разномерно экранируют центральный атом азота катнонной группировки, «Толщина» такой оболочки порядка 2 А (линейный размер метильной группы). Как видно из таблицы 1, увеличение «толщины» оболочки вокруг N (соединения (II) — (V)) приводит к понижению скорости гидролиза под действием АХЭ.

А что будет при уменьшении «толшины» оболочки? Это можно рассмотреть на примере третичного АХ, диметиламиноэтилацетата.

Было показано [18], что его конформационные возможности по ацетоксиэтильному фрагменту такие же, как и у АХ. Однако при физиодогических рН это соединение протонировано, в связи с чем обра-

зуется внутримолекулярная водородная связь—С=О...Н—N, смещающая конформационное равновесие в сторону свернутых форм, не способных к гидролизу. По всей видимости, именно наличие этих форм в популяции устойчивых конформеров определяет уменьшение скорости гидролиза диметиламиноэтилацетата. Таким образом, исследование третичного АХ не дает ответа на поставленный вопрос.

Таблиц
Кинетический параметр гидролиза под действием АХЭ (lg K₁₁) и энергия
(ккал/моль) конформаций относительно ацетоксиэтильных фрагментов
для производных CH₃C(O)OCH₂CH₂—R

	1	1	Энергия, ккал моль								
No.	—R	1.04					1,1	2			
275		lgK _{II}	gg	gı	gg-	ιg	tt	tg-	g_g	g ⁻ t	g-g-
	di.	y .									
1	-N(CH ₃) ₃	7.7	1,2	0.7	3,4	8.0	0,0	0.8	3,4	0,7	1,2
VI	S(CH ₁) ₂	7,3	0,9	1,0	3,4 1,2	0.5	0,3	0.0	2,4	0,9	0,7
VII	—S(CH ₃)C₂H;	7,0	1,2	1.1	1.1	0,7	0,4	0.1	2,3	1,0	0,8

Тогда мы обратились к сульфонневым соединениям, поскольку протопирование 3 координационной серы маловероятно. Были проанализированы сульфонневые аналоги АХ (табл. 2, соединения (VI), и (VII)). Для того, чтобы убелиться в возможности использования сульфонневых субстратов в качестве модели, были проведены расчеты распределения электронных плотностей на атомах квантовохимическим методом ППДП/2 у соединений (I), (VI) и (VII). Как видно из рисунка, заряды на атомах в ацильной части остаются без изменений, что указывает на одинаковую прочность сложноэфирной связи. Следует отметить, что помимо различия величии зарядов на онневых атомах наблюдается утрата симметрии как в самой конфигурации катнонной группировки, так и в распределении на ней электронной плотности. Если в случае АХ (рис., а) катнонная группировка представляет собой сферу с равномерно распределенным зарядом, то в случае сульфонневых соединений (рис., б и в) это диполь элипсондной формы.

Проведенный конформационный анализ соединений (VI) и (VII) пе выявил существенных отличий в конформационных возможностях ацетоксиэтильных фрагментов по сравнению с АХ (табл. 2). Расстояния между функционально значимыми атомами ацильной части и центра ониевого атома (L_1 и L_2) в случае сульфонневых соединений возрастает только на 0,2 Λ . Однако скорости гидролиза сульфониевых субстратов (соединения (VI) и (VII)) составляют 48 и 25% от скорости гидролиза Λ X. Попытка объяснить это снижение только из-

- ----

менением эффективного объема катионной группировки [15] несостоятельна, поскольку объем метилэтилсульфониевой группы практически равен объему триметиламмониевой группы.

Рис. Распределение зарядов на атомах, рассчитанное методом ППДП/2 для tt-конформаций по ацетоксиэтильному фрагменту молекул субстратов AXЭ: a—AX (соединение (I)); б—соединение (VI); в—соединение (VII)

Таким образом, эффект от уменьшения «толщины» оболочки вокруг онневого атома на примере сульфонневых субстратов также сопровождается снижением скорости гидролиза под действием АХЭ. Поскольку расстояние между эстеразным и анисниым центрами соответствует полностью вытянутой конформации АХ, можно предположить, что в случае сульфониевых соединений карбонильная группа не «дотягивается» и в силу этого не попадает в зону атаки гидроксила серина эстеразного центра АХЭ. В связи с этим было интересно проанализировать конформационные аспекты взаимодействия с АХЭ «удлиненного» соединения, у которого ацетоксиэтильный фрагмент ацетоксипропильный CH₃C(O)OCH₂CH₂CH₂S(CH₃)C₂H₅ заменен на (соединение (IX)), а также его триметиламмониевый аналог АГХ, CH₃C(O)OCH₂CH₂N(CH₃)₃ (соединение (VIII)). Такая пара пред ставляет интерес тем, что скорость ферментативного гидролиза сульфониевого соединения (Ig K₁₁=5,5) оказалась выше, чем у аммонисвого аналога (lg K, =5,1) [16]. Был проведен конформационный знализ обоих соединений, результаты расчетов приведены в табл. 3 и 4. Как видно из таблиц, конформационные возможности ацетоксипроинльного фрагмента у этой пары соединений различаются: некоторыеэпергетически пеустойчивые для АГХ (соединения (VIII)) конформации являются устойчивыми для его сульфонневого аналога (соединение (IX)). Конформационная полвижность сульфонневой головки сохраняется: все возможные комбинации t--, g-- и g-конформаций

фрагментов C^3-C^2-S-C и $C^2-S-C-C$ практически равновероятим. Ранее было показано [1], что продуктивными у АГХ (соединение (VIII)) являются ggt^- и $g^-g^-t^-$ -конформеры как совместимые с tt^- -конформацией АХ по расположению карбонильного углерода, кар-

бонильного кислорода и N. Их суммарная заселенность составляет 18% от общего числа устойчивых конформеров. Как показали расчеты, у сульфониевого соединения (IX) подобная совместимость с tt-конформацией АХ наблюдается для 20% устойчивых конформеров, причем не только для ggt- и g-g-t-конформаций, но и для ggg-, gg-t-tgg-, tg-g-, g-g-t- и g-g-g-конформеров, которые для АГХ (соединение (VIII)) являются неустойчивыми. Несколько большая суммарная заселенность конформаций, совместимых с tt-конформацией АХ в какой-то мере может объяснить белсе высокую скорость гидролиза соединения (IX) по сравнению с АГХ. Однако, как уже отмечалосьвыше, следует учитывать конформационные возможности катнонных групп и особенности их взаимодействия с анионным центром АХЭ. У соединения (IX) имеются конформеры ttg и ttg-, у которых расстояния L_1 и L_2 равны 5,4 и 5,7 A соответственно. Заселенность этих конформеров составляет 8,1%. Если S у этих конформеров обращен к

анновному центру неэкранированной стороной, то смещение S в полости анновного участка позволит карбонильному углероду понасть в зону атаки гидроксила серина эстеразного центра. Заселенность

Эпергия (Е, ккал/моль) и расстояния между функционально значимыми атомами карбонильным углеродом и азотом (L₁, A) и между карбонильным углеродом и азотом (L₂, A) для гомо-соединения

	(VIII) CH ₃ C(O)OCH ₂ CH ₂ CH ₂ N(CH ₃) ₃									
	етр		Fara							
91	Параметр	eg	gt	ng-	tyg	11	tg	g_g	g_t	g g
g	E L ₁ L ₂	4.9 4.6 5.2	0.5 5.0 5.3	6.1 4.5 5.1	5.3 5,4 5.1	0,6 5.7 5,1	5,4 5,6 5,5	6 0 4.2 4.5	1.4 4,7 4.6	5,3 4.5 4,1
1	E L ₁ L ₂	4.3 4.8 5,1	0.1 5.7 6.5	5,5 4,7 5,5	4,6 5.8 5.8	6.3 6.7	4.7 5.8 5.9	5.4 4.7 ,4	0.1 5.7 6.5	4.4 4.8 5.4
g ⁻	E L ₁ L ₂	5,3 4.5 4,1	1,4 4.7 4,6	6,0 4,2 4,4	5.3 5.6 5.5	0,6 5,7 5,4	5, 1 5, 1	6.0 4.5 5.1	0,5 5,0 5.3	5,0 4.6 5.2

таких конформеров составляет 2,5%. Таким образом, суммарная доля продуктивных конформеров соединения (IX)—существенно выше, чем у его триметиламмониевого аналога (VIII), что коррелирует с параметрами их ферментативного гидролиза (величины Ig K_{II}, соответственно, 5,5 и 5,1).

Таблица 4 Энергия (Е, ккал/моль) и расстояния между функционально значимыми атомами карбонильным углеродом и серой (L₁, A) и между карбонильным углеродом и серой (L₂, A) для гомо-соединения

	четр		₹2₹a							
₹1	Параметр	gg	gt	gg-	tg	tt	tg-	g-g	g-t	g-g-
g	E	1.3	1.4	3,6	1,1	1.5	3,8	1.7	2.3	5,6
	L ₁	4.9	5.2	3,2	4,9	5.7	5,6	3.0	5.0	4,6
	L ₂	5,5	5.4	3,8	4,4	5.4	5,7	3,4	4.9	4,1
1	E	0.7	0,9	3.1	0,7	0,3	3.2	0,0	0,9	2,9
	L ₁	4.7	6.0	4.0	5.4	6.4	5.5	3,9	5,9	4,9
	L ₂	5.1	6.7	5.0	5,4	6.8	5.6	4.9	4.7	5,4
g ⁻	E	1,7	2.2	6.2	1,4	0.5	3.7	0.4	1.5	3.4
	L ₁	3,6	5,0	4.4	5,6	5.7	5.0	3.5	5.1	4.9
	L ₂	3,0	4.9	4.8	5.7	5.5	4.5	4.2	5.3	5.4

Сорбцию субстрата в активном центре AXЭ можно представить в виде следующей гипотетической модели. Молекула AX в продуктивной tt^- -конформации располагается в активном центре таким образом,

что N находится на расстоянии метильной группы от аннонного пункта. Замена метильной группы на другие алкилы приводит к «утолщенню» оболочки вокруг ониевого атома и так меняет габариты tt-конформера, что если аммониевая группа обращена к аннонному центру «утолщенной» стороной, то карбонильный углерод смещается за зону действия гидроксила серина эстеразного центра и такая сорбция становится непродуктивной. В случае сульфонневых субстратов,

где алкильное окружение S несимметрично, возможен подход S к аннонному центру неэкранированной стороной, что так же приводит к непродуктивной сорбции, по уже за счет того, что карбонильный углерод не «дотягивается» до эстеразного центра. Это может быть частично компенсировано за счет конформаций с большим значением расстояний L_1 и L_2 у ацетоксипропильного соединения (IX). В рамках этой модели получает объяснение тот факт, что переход от этиленового к пропиленовому «мостику» у сульфонневых соединений (соединения (VII) и (IX)) сопровождался спижением величины K_1 на 1,5 порядка, а в случае AX и AFX (соединения (I) и (VIII)), где невозможна компенсация за счет уменьшения «толщины» оболочки, это снижение составило 2,5 порядка.

Так, исследования конформационно-функциональных отношений для субстратов АХЭ, различающихся природой и структурой катионной группировки, дали новые представления о взаимодействии ониевых эффекторов с активным центром АХЭ нервной ткани.

C NFORMATIONAL ASPECTS OF INTERACTION BETWEEN AMMONIUM AND SULFONIUM SUBSTRATES AND NERVE TISSUE ACETYLCHOLINE ESTERASE

ROZENGART E. V., SHESTAKOVA N. N.

Secheno. Institute of Evolutionary Physiology and Biochemistry, USSR Academy of Sciences, Leningrad

We have used molecular mechanics for theoretical conformational analysis including calculation of all stable conformations of nine substrates of acetylcholine esterase (AChE), acetylcholine analogs and acetylhomocholine with different structure of the onlum group. On the basis of this analysis we demonstrate that not only trans-trans conformers in C(O)-O-C-C-N fragment of the molecule can be potentially productive in hydrolysis. This is different from the case of trimethylamm nium ACh analogs studied previously. For the first time we have performed calculations of all stable conformers of ACh and acetylhomocholine sulfonium analogs. Quantum chemical calculations allowed the conclusion that there are only small differences in the distribution of electron densities on atoms of the ACh molecule and molecules of its dimethyl- and methylethyl sulfonium analogs. A model for the interaction of the onium group of the substrate with the anionic site of AChE has been proposed. This model allows to explain differences in hydrolysis rates of ammonium and sulionium substrates.

JIHTEPATYPA

- 1. *Шестакова Н. Н., Розенгарт Е. В., Хованских А. Е., Жоров Б. С., Говырин В. А.* Биоорган, химия, т. 15, № 3, с. 335—344, 1989.
- 2. Садыков Л. С., Розенгарт Е. В., Абдувахабов Л. Л., Асланов Х. Л. Холинэстеразы. Активный центр и механизм действия, Ташкент, Фан, 1976.
- Абдувахабов А. А., Грисорьеда Г. М., Тилябаев З. Нейрохимия, т. 7, № 4, с. 592—596, 1988.
- 4. Дашевский В. Г. Конформация органических молекул, М., Химия, 1982.
- 5. Жоров Б. С., Розенсарт Е. В., Говырин В. А., Бровцына Н. Б., Хромов-Борисов П. В. Молекуляр. 6иол., т. 9. № 6, с. 820—827, 1983.
- 6. Жоров Б. С., Розепеарт Е. В., Говырин В. А., Бровцыпа Н. Б., Хромово-Борисов Н. В. Докл. АН СССР, т. 231, № 1, с. 215—218, 1976.
- Розенгарт Е. В., Жоров Б. С. Журн. эволюц. бнохимин и физиологии, т. 25, № 2, с. 189—194, 1989.
- 8. Шестакова Н. Н., Розсигарт Е. В., Жоров Б. С. В сб.: Химия физиологическиактивных веществ, с. 92—94, Нальчик, 1988.

- 9. Шестакова П. Н., Розенгарт Е. В., Хованских А. Е., Жоров Б. С., Говырин В. А.—В сб.: Химия и применение элементорганических соединений, с. 53—61, Л., 1988.
- Zhorov E. S., Rozengart E. V., Shesiakota N. N.—In: III-d Intein. weeting on cholinesterases, p. 1-6, Le Grande Notte, France, 1990.
- 11. Жоров Б. С. Автометрия, № 1, с. 23-25, 1975.
- Momany F. A., Carruthers L. M., McGuire R. F., Sheraga II A. J. Phys. Chem. v. 78, No. 16 p. 1595-162; 1974.
- 13. Маслов В. Г. Жури. струк. химии, т. 18, № 2, с. 414-415, 1977.
- 14. Бресткин А. П., Розенгарт Е. В., Абдувахабов А. А., Садыков А. А. Успехи химии, т. L11, вып. 10, с. 1624—1647, 1983.
- Cohen S. G., Elkind J. L., Chishti S. B., Giner J.-L. P., Reese H., Cohen J. B. J. Med. Chem. No 27, p. 1613-1647, 1984.
- Ярв Я. Л., Кесватера Т. А., Аавиксаар А. А. Реакционная способность органических соединений, т. XIII, вып. 4(48), с. 509—514, 1976.
- 17. Жоров Б. С., Розенгарт Е. В., Говырин В. А., Касымов А. К., Абдувахабов А. А., Касымов Ш. К., Асланов Х. А., Садыков А. С. Докл. АН СССР, т. 228. М 6, с. 1460—1463, 1976.

Поступила 29. V. 1990

УДК 577.157

ВЗЛИМОСВЯЗЬ АКТИВНОСТИ у-ГЛУТАМИЛТРАНСФЕРАЗЫ И ТРАНСПОРТНОЙ СИСТЕМЫ ВОЗБУЖДАЮЩИХ НЕЙРОМЕДИАТОРНЫХ АМИНОКИСЛОТ

ТУРШЯН Г. А., АКОПЯН Г. Е., САФРАЗЯН С. С., АПРИКЯН Г. В. Институт биохимии им. Г. Х. Бунятяна АН Армении, Ереван

Серии в присутствии бората ингибирует активность у-глутамилтрансферазы и захват возбуждающих нейромедиаторных аминокислот—глутаминовой и аспарагиновой. С другой стороны, конкурентный ингибитор захвата глутаминовой и аспарагиновой кислот—N-ацетил-1-аспарагиновая кислота является сильным природным ингибитором активности у-глутамилтрансферазы. Полученные результаты указывают на возможную роль у-глутамилтрансферазы в транспорте возбуждающих нейромедиаторных аминокислот через синаптическую мембрану.

у-Глутамилтрансферазе КФ 2.3.2.2. (5-глутамил) пентид: аминокислота 5-глутамилтрансфераза (ГГТФ) придается определенная роль
в транспорте аминокислот, нептидов и аминов через клеточные мембраны, хотя отсутствуют прямые доказательства [1]. Имеются только
сведения о том, что в культуре клеток глип и нейронов мозга курпных
эмбрионов существует взаимосвязь между захватом глутаминовой
кислоты и активностью этого фермента [2]. Из литературных данных
видно, что наибольшая активность ГГТФ соерелоточена в почечной
ткани и поджелудочной железе [3]. Примечательно, что выраженная
активность фермента обнаружена в лактирующей молочной железе
[4]. Наши исследования показали, что ГГТФ активность головного
мозга соерелоточена главным образом в синантосомной фракции, что
может указывать на се отношение к синантической передаче [6].

Настоящая работа посвящена выяснению возможной роли ГГТФ в захвате нейромеднаторных аминокислот синаптосомами головного мозга белых крыс. По имеющимся литературным данным серии в присутствии бората оказывает сильное ингибирующее действие на активность ГГТФ [3, 7]. Представляло интерес изучение сдвигов в степени захвата меднаторных аминокиелот в аналогичных условиях. В связи с ранее установленным в нашей лаборатории фактом ингибирования захвата нейромеднаторных аминокислот клеточными популяциями и синаптосомами головного мозга N-ацетил-1-аспарагиновой кислотой (NAA) [8] было изучено её действие на активность ГГТФ.

В качестве экспериментальных животных использовали белых крыс линии Wistar, содержащихся на обычном пищевом рационе вивария. Сипантосомы из головного мозга выделяли по методу Најов [9]. Конечный осадок сипантосом суспендировали в следующей среде поглощения: 0,32 M сахароза на 0,1 M трис-HCl буфере, pH 7,4, NaCl—127, KCl—5, CaCl₂—2,7, MgSO₄—1,3, глюкоза—11,1 мм. Активность ГГТФ определяли по методу Meister и соавт. [7].

Захват нейромеднаторных аминокислот глутаминовой (ГК) и аспарагиновой кислот (АК) изучали в атмосфере воздуха при 37° в течение 20 мин. Пробы содержали 0,9 мл среды поглощения, 0,1 мл синантосомной суспензии, содержащей 100 мкг белка, 0,05 мкКи/мл соответствующих меченных [14С] аминокислот и 10-6 М аминоуксусную кислоту (АУК) для подавления трансаминирования. Серви и борат добавляли в конечной концентрации 5 мМ, а N-ацетиласпартат (NAA)—10-3 и 3·10-3 М. Реакцию останавливали добавлением 1 мл холодной среды поглощения. Синаптосомы осаждали центрифугированием при 1300g в течение 15 мин при 4°. Осадок промывали дважды 3 мл инкубационной смеси, осаждали как указано выше и растворяли в 0,7 мл 98%-ного диметилсульфоксида. Радиоактивность измеряли, используя синитилляционную жидкость Брея, на жидкостном сцептилляционном счетчике «Intertechnique-4221» (Франция). Степень захвата аминокислот выражали в распад/мин/мг белка. Белок определяли по методу Lowry и соавт. [10]. В опытах использов в ли [110] АК (140 мК в м 40 ль), [11С] ГК (200 мКи ммоль) «Chem 10 л» ЧССР, NAA (93,82%) AVK ("Sigma", CIIIA).

Результаты и обсуждение

Данные табл. 1 показывают, что активность ГГТФ в синантосомах головного мозга белых крыс составляет 2,12 ± 0,077 иМ п-интроанилина/мин мг белка. Добавление серина в концентрация 5 мМ не Таблица 1

Действие серина и бората на у-глутамилтрансферазную активность (имоль п-иитроанилина/мин/мг белка) в синавтосомной франции белку крыс

фракции	Apple
Контроль Серин 5 мМ	2,12±0,08 (c 2,23±0,114 (b)
Борат 5 м Л	p > 0.5 3,35±0.141
Серин + богат	p<0.001 (6)

Примечание. Здесь и в табл. 2, 3 в скобках указано количество опытов.

оказывает заметного влияния на активность фермента. При добавлении бората в той же концентрации не только не ингибируется ферментативная активность, но и заметно активируется. Указанное повышение активности ГГТФ можно объяснить увеличением ионов № при добавлении бората [7]. Совместное добавление серина и бората в тех же концентрациях приводит к 100%-ному ингибированию активности фермента. Полученные нами данные в отношении действия ука-

Лействие серина и бората на поглощение [4C] ТК и [4C] АК
— (распад/мин/мг белка) синаптосомами мозга белых крыс

Условия эксперимента	Γď	% виг би- рования	AK	% ингиб :-
Контроль	179354.0+6777,33		102059,8+8792,58	
Серин 5 м/4	89802,91±3487,91	19,93	424 7,42+5 97, 6	58.5
Борат 5 мМ	p<0,001 1503·0,6±5869,42 (9)		p<0,01 91533.63±12063.63 (7)	10,4
Серин + борат 5 м М	9125 -,54±5053,07 (9) p = 0.001	49,7	p < 0.2 45545.03+685 \ .04 p < 0.001	55,5

занных соединений в синаптосомах голового мозга согласуются с данными литературы, указывающими, что серин сам по себе не оказывает заметного влияния на активность фермента из почек крыс, тогда как в присутствии бората ингибирует ее активность в весьма высокой степени. Авторы считают, что для действия серина, ингибитора ГГТФ, обязательно присутствие бората. Так, в среде трис-НСІ и веронала серии не действует на активность ГГТФ [3]. В дальнейшем в наших экспериментах мы исходили из того, что если фермент имеет отношение к транспорту аминокислот, то ингибиторы фермента окажут аналогичное действие на высокоаффинный захват нейромедиаторных аминокислот.

у-Глутамилтрансферазная активность в (имоль и-интроанилина/мин/мг белка) синантосомной фракции мозга белых крые в присутствии N-ацетиласиартата

Услов я экспери- мента	Активность фермента	у ингиби- рован я
Контроль А-а ет. л с артат 10-3 М	1,755±0,164 0,17±0,015 (6) p<0.01	72,98
№ацет ласпартат 3.10—4М	0,244±7,073 (6) p<0.001	86,45

Результаты исследований, приведсниые в табл. 2, показывают, что добавление серина в конечной концентрации 5 мМ в весьма высокой степени ингибирует захват ГК (на 49,93%) и АК (на 58,5%).

Хотя борат также оказывает ингибирующее действие на захват ГК (на 16,8%) и АК (на 10,4%), это действие по сравнению с серином незначительно. При одновременном добавлении к инкубационной среде серина и бората в тех же концентрациях захват ГК и АК ингибирустся в той же степени, как в присутствии серина. Таким образом, серин оказывает сильное ингибирующее действие на захват ГК и АК как в отсутствие, так и в присутствии бората, а на активность ГГТФ—только в присутствии бората. Для выяснения этого вопроса чеобходимы дополнительные исследования.

Как было отмечено выше, нейроспецифическое соединение головного мозга NAA, количество которой составляет 100—200 мг% является ингибитором захвата ГК и АК синантосомами головного мозга [8]. В связи с получениыми нами результатами о возможной взаимосвязи активности ГТТФ и высокоаффинного захвата возбуждающих нейромеднаторных аминокислот представляло интерес изучение влияния NAA на активность указанного фермента в синантосомах головного мозга.

Как видно из данных табл. 3, NAA в концентрации 10^{-3} и $3 \cdot 10^{-3}$ М ингибирует активность ГГТФ соответственно на 72,95 и 83,05%.

Исследования, проведенные нами по изучению ГГТФ в субкисточных фракциях мозга, показали наличие значительной активности фермента в синаптосомной фракции. Последующие исследования в отношении изучения активности фермента в оптогенезе показали, что в мозгу она достаточно новышается со дня рождения животного и достигает максимума в зрелом возрасте [5]. Наличие значительной активности ГГТФ в синаптосомной фракции головного мозга подтверждает гипотезу Meister и соавт. о транспортной функции у-глутамильного цикла [7].

Таким образом, нами обнаружен новый ингибитор ГГТФ в головмом мозгу—NAA, который является нейроспецифическим соединением. Полученные данные указывают, что ГГТФ имеет непосредственное отношение к транспорту возбуждающих нейромедиаторных аминокис-

лот в синаптосомах головного мозга.

RELATIONSHIP BETWEEN 7-GLUTAMYLTRANSFERASE ACTIVITY AND THE TRANSPORTATION SYSTEM OF THE EXITATORY AMINO ACID NEUROTRANSMITTERS

TURSHIAN G. A., HAKOPIAN G. E., SAFRAZIAN S. S., APRIKIAN G. V. Institute of Biochemistry of the Armenian Acad. Sci., Yerevan

γ-Glutamiltransferase (GGTF)-inhibitor serine borate proved to be an effective inhibitor of exitatory amino acids i. e., glutamic (GA) and aspartic (AA) acids, uptake. On the other hand, N-acetyl-L-aspartic acid

that is a competitive inhibitor of GA and AA uptake, has been find to be the effective natural inhibitor of GGTF activity. The data obtained points out the important role of GGTF in the transfer of the exitatory amino acid neurotransmitters troub synaptic membrane.

ЛИТЕРАТУРА

- 1. Ortowski M., Meister A. Proc. Nat. Acad. Sci. USA, v. 67, p. 1248-1252, 1970.
- Hajkova B., Lisy V., Pearce B., Murphy S., Stasting F. Proc. of the Fifth Meeting of European Society for Neurochemistry, Abstracts (ed. E. S. Vizi, K. Magyar), p. 119, 1984.
- 3. Revel J. P., Ball E. G. J. Biol. Chem., v. 234, p. 577-582, 1959.
- Hanes C. S., Hird F. Y. R., Tisherwood F. A. Biochem, J., v. 51, p. 25-- 5, 1952.
- Туршян Г. А., Акопян Г. Е., Сафразян С. С., Априкян Г. В. Биол. журн. Армения, т 42, № 2, с. 153—156, 1988.
- 6. Туршян Г. А., Аконян Г. Е., Сафразян С. С. Нейрохимия, т. 3, № 1, с. 47—50, 1984.
- Meister A., Tate S. S., Ross L. L.—In: Enzymes of Biological Membranes (ed. A. Martonosi), p. 315—347, Plenum Press, New York, 1976.
- Априкян Г. В., Кнарян В. А., Шагинян В. А., Ахвердян Э. С. Нейрохимия, т. 6, № 1, с.71—76, 1987.
- 9. Hajos F. Brain Res., v. 93, p. 485-489, 1975.
- Lowry O. H., Rosebrough N. J., Farr A. L., Regulate R. S. J. Biol. Chem. v. 193, p. 265-275, 1951.

Поступила 17. XI. 1990

УДК 591.105/591.444+547.466

ВЛИЯНИЕ ТРИЙОДТИРОНИНА И ЙОДИРОВАННОГО МАСЛА НА ТИРЕОИДНУЮ И АМИНОКИСЛОТНУЮ ОБЕСПЕЧЕННОСТЬ ГОЛОВНОГО МОЗГА У МОРСКИХ СВИНОК

ТУРЯНИЦА И. М., ПАЩЕНКО А. Е., РОСТОКА Л. М., МАРГИТИЧ В. М., ФЕДОРОВИЧ Т. М., ГОРЗОВ И. П., БОБИК Ю. Ю., ПОБЕРЕЖНИК М. В. Ужгоролский государственный университет

Изучено влияние трийодтиронина и йодированного масла на тиреоидную и аминокислотную обеспеченность ткани головного мозга у морских свинок. Установлей ряд совпадений и отличий в направленности и выраженности их биохимических эффектов. Показано более мягкое влияние йодированного масла на тиреоидный гомеостаз, поскольку его введение обеспечивает сохранение концентрации Т3 в пределах физиологической нормы, что является оптимальной адаптивной реакцией тиреоидной системы на инъекцию препарата. Выявлено, что под влиянием йодированного масла, вероятно, в процессе белкового спитеза, происходит более выражения утилизация свободных аминокислот тканью мозга, чем после инъекции Т3, что позволяет говорить о возможном тироксиноподобном эффекте йодированного масла на аминокислотный метаболизм ткани мозга.

Значение тиреоидных гормонов в обеспечении развития организма, особенно в его критические периоды, и функционировании ЦНС общензвестно [1—3]. Считается установленным факт влияния тиреоидных гормонов практически на все основные звенья метаболизма [4—7]. Следует иметь в виду, что Т₃ биологически более активен, чем Т₄, его уровень определяет активность метаболических процессов в общесоматических тканях. Причем ключевым звеном в реализации физиологического эффекта тиреоидных гормонов на уровие клетки является взаимодействие Т₃ с ядерным рецепторным комплексом [8, 9]. При этом механизмы действия гормонов щитовидной железы, роль йода, входящего в их состав, а также вопросы регуляции тиреоидного гомеостаза все еще недостаточно изучены [10], лишь отдельные публикации касаются тироксиноподобного эффекта негормонального йода [11, 12].

Целью работы явилось изучение тиреоидного гомеостаза у морских свинок в физиологических условиях после парентерального введения трийодтиронина и йодированного масла и влияния их на аминокислотную обеспеченность ткани головного мозга.

Материалы и методы

В опытах использовали 20 морских самцов свинок массой 450—500 г, которых разделили на 3 группы. Первую группу составили ин-

тактные животные, вторую группу—морские свинки, получавшие трийодтиронии в дозе 100 мкг/кг, а третью—животные, которым вводили йодированное подсолнечное масло (НМ) в количестве 60 мкг/кг веса. Следовательно, животные второй и третьей группы получали препараты в эквимолярных по йоду количествах. Препараты вводили глубоко интраглютеально. Через 4 ч животных декапитировали, собирали кровь и извлекали мозг.

В сыворотке крови исследовали содержание тиреотронного гормона (ТТГ), тироксина (Т₄), трийодтиронина (Т₃), реверсивного трийодтиронина (рТ₃), тироксинсвязывающую способность (ТСС) и илдекс свободного тироксина (НСТ₄) радиоиммунологическим методом
с помощью тест-набора фирмы «Вук-Mallincrodt» (ФРГ). Подсчеты
импульсов производили на сциптилляционном колодезном счетчике
типа «Гамма» (ВНР). В ткани мозга изучали распределение общего
йода (ОП) и его фракций: связанный с белками йод (СБП) и неорганические йодиды (НП) по методу Вагкег и соавт. [13] в модификации Г. С. Степанова [14]. Количественное определение свободных
аминокислот проводили методом одномерной инсходящей хроматографии на обессоленной бумаге FN-I (ГДР) [15]. Полученные результаты обрабатывали методом вариационной статистики по ФишеруСтьюденгу [16].

Результаты и обсуждение

Как видно из табл. 1, инъекция животным Т₃ вызывает достоверное спижение уровия ТТГ в сыворотке крови, вероятно, по механизму отрицательной обратной связи. На этом фоне происходит уменьшение Таблица 1

Тиреоидный статус сыворотки крови у морских свинок через 4 ч после введения йодсодержащих соединений (n=5)

Показатели	Контроль	Инъекция Та	Инъекция И И
Т.Г (мед л) Т. (имоль л) Т. (имоль л) р. (имоль л) ТСС ИЗТ.	1.69±0.09	1,31±0.05*	1 39+0.09°
	1.42±0.0,	1,91±0,05°	1 52+0.05
	81.6±12.6	69,7±2,6°	116.6±6.3
	6.290±:.005	0.34±0.01	0,42+0.01°
	0.92±0.01	1,36±0,01	0,9°+0.03°
	88.20±1.53	56,3±5,2	117,5±8.4°

Примечание. Здесь и в табл. 2, 3 * p<0,05: различия по сравнению с контрожем достоверны

содержания T_4 , очевидно, за счет синжения стимуляции $TT\Gamma$ щитовидной железы. Важно указать, что при этом количество гормонально неактивного pT_3 возрастает. Это обстоятельство, по-видимому, является дополнительным фактором, обуславливающим уменьшение пула T_4 за счет активации его трансформации в неактивную форму гормона— pT_3 . Понятно, что концентрация T_3 в условиях его дополнительного введения в циркулирующей крови высока. Следует указать

па достоверное увеличение ТСС, что создает предпосылки для связывания транспортными белками избытка тиреондных гормонов, уменьшая тем самым биологический эффект последних. Вследствие этого также снижается ИСТ₄—важный показатель циркулирующего в крови свободного Т4.

Следовательно, нагрузка животных экзогенного T_3 вызывает целый ряд компенсаторных реакций в тиреоплиой системе, в определенной мере инвелирующий избыточное содержание этого гормона на уровие гипоталамус-гипофиз-инитовидная железа, транспорта тиреоидных гормонов и направленности их обмена в периферических тканяхмишенях.

Большой интерес представляют исследования, связанные с раскрытием роли различных йодсодержащих соединений в формировании тиреоидного статуса организма и влияния их на разные стороны метаболизма. Так, инъекция йодированного масла приводит к достоверному синжению уровия ТТГ. Несмотря на это, содержание Т4 резко возрастает. При этом следует указать, что концентрация Та сохраняется в пределах физиологической пормы, а уровень рТ3 увеличивается. Учитывая последнее обстоятельство, можно предположить возможность усиления деградации Т4 по путиего метаболической инактивации. Обращает на себя внимание и тот факт, что ТСС при этом достоверно повышается, хотя ИСТ4 все же остается высоким. Не исключено, что введение йодированного масла вызывает не только выброс транспортных белков и рост ТСС, но и интенсивное трансйодирование, что и обеспечивает высокую концентрацию свободной формы Т4 в условиях низкого выброса в кровь ТТГ. Следовательно, организм морских свинок на введение йодированного масла реагирует одинаково, как и в случае инъекции Т3, несмотря на определенные количественные различия. Вместе с тем, если учесть данные [17] о различии биохимических эффектов Т3 и Т4 и возможной катаболической направленности их в случае выраженного роста концентрации последнего [18], можно предположить более мягкое метаболическое воздействие йодированного масла в сравнечии с таковым в случае дополнительного введения Та.

Следует также указать, что парентеральное введение T_3 приводит к резкому увеличению пулов ОЙ, СБЙ, НЙ, что, очевидно, связано с интенсивной утилизацией избытка гормона тканью мозга, о чем свидетельствуют высокие уровии НЙ (табл. 2).

Важно указать, что при инъекции ИМ отмечаются сдвиги подобной направленности, однако, отличающиеся меньшей выраженностью изменений, за исключением показателей НП, уровень которого соизмерим с таковым у морских свинок, получавших Та. Эти данные подтверждают наше предположение о более мягком воздействии йодированного масла на тиреоидный гомеостаз. Следует указать, что мозг не является тканью-мишенью для тиреоидных гормонов, поскольку в нем не выявлены рецепторы для последних [19]. Тем более интерес-

ным является сравнительное изучение влияния T_3 и ИМ на формирование фондов свободных аминокислот ткани мозга (табл. 3).

Таблица 2 Распределение йодистых фракций в ткани мозга под влиянием йодсодержащих препаратов (n=5)

Параметр и	Контроль	Нагрузка ^Т з	Нагрузка И ч
Общий йод (мкг%) Связанный с безками йэд (мкг%) Неорганически≥ под ды (мкг%)	1,98±0,51 1,40±0,13 1,8:±0,06	10.0±0.25* 7.53±0.60* 2.42±0.71*	5.33±0,37* 2.83±0,19* 2.17±0,/5*

Введение трийодтиронина вызывает разнонаправленные сдвиги аминокислотного пула ткани мозга. Так, концентрации значительной части свободных аминокислот уменьшаются (цистеин с цистичом, орнитин, лизин, аргинин, аланини, метионин, валин, лейции с изолейцином), а меньшей—глицина, глутаминовой кислоты, тирозина, триптофана увеличиваются. Важно указать, что под влиянием йодированного масла происходит снижение уровней большинства свободных аминокислот за исключением глицина, пролина, триптофана, метнонина, фенилаланина. Интересно, что при этом статистически достоверно увеличивается лишь содержание триптофана.

ТаблицаЗ Влияние парентерального введения йодсодержащих соединений на аминокислотную обеспеченность ткани мозга (ммоль/кг, n=5)

м чокис- лоты	KOUTDOM:		Инъекция ИМ
Цис с Цист	2.510+0.151	1,280+0,388*	0,5600.051*
0 11	0.680+0.045	0.180 +0.027	0 200 + 0.026*
Лиз	0.910 + 0.094	0.19 +0.088*	0.200+0.016*
Гис	0.760十0,097	0,990±0:91	0.320 +0.033*
Apr	1,800 于0,181	0.180+034*	0.130±0.021*
Acit	2.240 王0.232	1,690千0.241	0.790-1.071*
Cep	1,000+0,081	0.770+0.086	0,200+0.034°
Гли	0,730 +0,055	2,520 +0.185*	$1,060\pm0,172$
Глу	1,410士0,073	2,910+0,286*	0,870+0.035
Тре	2,090+0.160	2,370±0,208	0.560 + 0.051*
Ала	4.730+0,412	2,790+0,113*	1,730+0.113
Про	1.520-+0.141	1,8 0+0.274	1,580+0,226
Тир	0.550 + 0.049	0.830 ±0.054	0.240+0,030*
Трип	1.850十0.169	4.870+0.29.*	2.670±0.099*
Мет	1.060士0.147	0,250+0,053*	0.500 +0.071
Вал	1,160+0,062	0.29 1+0.026*	0.340+0.075*
Фен	0.620+0.095	0,840±0,201	0.720+0.131*
Лей с Илей	0.710+0.098	0,240 + 0,051	0,330+0,071*

Следовательно, можно предположить, что под влиянием йодированного масла происходит более выражениая утилизация свободных аминокислот, вероятно, в процессе белкового синтеза, в пользу чего свидетельствуют данные работ [11, 12], указывающих на то, что йод, как и гормоны щитовидной железы, независимо друг от друга стимулируют включение свободных аминокислот в процесс бносинтеза бел-

ка. При этом показано, что ICL вызывает этот эффект немедленно, без латентного периода и более выраженно, чем T₃ и T₄ [10].

Таким образом, установлены важные факты совнадения и отличия в направленности и выраженности биохимического эффекта экзогенного Та и ИМ на состояние тиреоплиого гомеостаза организма морских свинок и фонды свободных аминокислот ткани мозга. Выявлены некоторые компенсаторные реакции, направленные на уменьшение метаболического стресса, вызываемого нагрузкой животным йолсолержащих препаратов: уменьшение уровия ТТГ в циркулирующей кровиважного фактора торможения функциональной активности интовидной железы; компенсаторное увеличение ТСС, являющееся дополнительным обстоятельством уменьшения пула свободных форм гормоиотиффе мииоричокой хишовкако, драфор оучара в, и вои интенсификация деградации Т4 по инактивирующему метаболическому пути в рТ3. Установлено более мягкое влияние ИМ на тиреоплиый гомеостаз, поскольку парентеральное введение последнего обеспечивает сохранение концентрации Т, в пределах физиологической нормы. что является оптимальной адаптивной реакцией тиреоидной системы на инъекцию препарата.

В сравнении с Т₃, ИМ вызывает более значимое уменьшение пулов большинства свободных аминокислот, в том числе и незаменимых, что, вероятно, может свидетельствовать в пользу усиления белковосинтетических процессов в исследуемой ткани. Можно сделать вывод в возможном тироксинополобном эффекте йодированного масла на аминокислотный метаболизм ткани мозга.

THE EFFECT OF TRIIODOTHYRONINE AND IODINATED OIL. ON THE THYROID AND AMINO ACID PROVIDING OF GUINEA—PIG BRAIN

TURYANITSA I. M., PASHCHENKO A. E., ROSTOKA L. M., MARGITICH V. M., FEDOROVICH T. M., GORZOV I. P., BOBIK Y. Y., POBEREJNIK M. V.

Ujgorod State University

The effect of triiodothyronine and iodinated oil on the thyroid and amino acid providing of guinea-pig brain tissue has been studied a number of coincidences and differences in the direction and expressivity of their biochemical effects has been established. The milder effect of iodinated oil on thyroid homeostasis is explained by the provision of T_3 concentration within the limits of biological norme that is the optimal adaptive reaction of thyroid system to the preparation administration. Under the iniluence of iodinated oil (rather due to the process of protein synthesis) the more expressed utilization of free amino acids by the brain tissue, than after T_3 injection has been revealed. It allows to say about the possible thyroxine-like effect of the iodinated oil upon the brain tissue amino acid metabolism.

JIHFEPATYPA

- Саркисов Д. С., Гельфанд Б. В., Туманов В. П. В ки.: Нервная система (подред. Д. С. Саркисова), с. 343—364. М., Медицина, 1987.
- Алешин Б. В., Губский В. И.—В кн.: Гипоталамуе и цитовидная железа, с. 8— 10, М., Медицина, 1983.
- 3. Шрейбер В. Патофизиология желез внутренней секреции, с. 185—223, Прага, Авицениум, 1987.
- 4. Туракулов Я. Х. Вести. АМН СССР, № 7. с. 54-61, 1980.
- Кучеренко И. Е., Германюк Я. Л., Васильев А. И. Молекулярные механизмы гормональной регуляции обмена веществ, Киев, Вища школа, 1986.
- Смит Д., Фронцо Р. А. Почечная эндокринология (под ред. М. Дж. Даниа), с. 543—551; М., Медицина, 1987.
- Põides J. A. Klinikai endocrinologia, Budapest: Medicina könyvkiadő, k. l. o. 213–21. 1951.
- 8. Теппермен Дж., Теппермен X. Физиология обмена веществ и эндокринной системы (под ред. Я. И. Ажины), с. 274—317. М., Мир. 1989.
- Транкова А. А., Верещагина Г. В. Мед. реф. жури, Эндокринология, № 3, с. 7— 10, 1990.
- Рачев Р. Р., Димитров М. И., Филлинова Е. Х. Вопр. мед. химии, № 1, с. 26— 36, 1979.
- Рачев Р. Р., Ещенко Н. Д. Тиреондные гормоны и субклеточные структуры, М., Медицина, 1975.
- 12. Taurog A., E a is E. Endoc Inology, № 5, p. 91. 925, 1967.
- Barker S. B., Humphrey M. J., Soley M. H. J. Chin Invest., v. 39, No 4, p. 55 1 (2, 1951.
- 14. Степаков Г. С. Лаб. дело, № 10. с. 594-599, 1965.
- 15. Пасхина Т. С. Современные методы в биохимии, с. 162—180, М., Медицина, 1964.
- 16. Ойони И. Л. Патол, физиология и эксперим, медицина, № 4, с. 76-85, 1960.
- Серкс М., Оппенгеймер Дж. Взаимодействие гормонов с реценторами (под ред. Дж. Леви), М., Мир, 1979.
- 18. Керимов Э. Э. Стоматология, № 6, с. 47-51, 1989.
- Кэтт К. Дж., Люфо М. Л. Эндокринология и метаболизм (под ред. Ф. Фелига. Дж. Д. Бакстера, А. Е. Бродуса, Л. А. Фромена), т. 1, с. 191—193, М., Медицина, 1985.

Поступила 19. 111, 1990

УДК 615.01.011-615.015

ОПРЕДЕЛЕНИЕ СОДЕРЖАНИЯ НЕПРОСПЕЦИФИЧЕСКОГО ВЕЛОК-ГОРМОНАЛЬНОГО КОМПЛЕКСА В ОРГАНИЗМЕ КРЫСЫ С ЭКСПЕРИМЕНТАЛЬНЫМ ИНФАРКТОМ МИОКАРДА

ГАБРИЕЛЯН С. К., СРАПИОНЯН Р. М., АБЕЛЯН Ж. Г., СААКЯН С. А., СЛАКЯН Ф. М., ГАЛОЯН А. А.

Институт биохимии АН Армении, Ереван

Методом радиоиммунологического анализа изучено распределение нейроспецифического кардноактивного белок-гормонального комплекса (белок-нейрогормон "С»— БНС) у крые с экспериментальным инфарктом мнокарда (НМ). Указанная сердечвая ватология сопровождается опустощением БНС в мозгу, в особенности в гиноталамусе и мозжечке (в 80 и 12 раз) и одновременно значительным (примерно 6—340 раз) увеличением в ряде висцеральных органов и периферической крови. Суммированные данные свидетельствуют также об убывающей носледовательности уровия БНС в висцеральных органах у крые с ИМ: селезенка сердце скелетная мыщца почень почки поджелудочная железа легкие. Получениме данные позволяют заключить о возникновении при ИМ нового гомеостатического уровия БНС.

Результаты многолетних исследований [1, 2] трех белок-гормональных комплексов (БГК), обпаруженных нами более 25 лет тому назад в гипоталамусе ряда млекопитающих, позволили прийти к выводу, что они являются теми биохимическими системами, которые способны осуществить химическую регуляцию метаболизма и функций не только мозга, но и ряда висцеральных органов, в особенности сердца [3]. При диссоциации этих комплексов было установлено, что они состоят из неидентифицированных в настоящее время гликопротеннов [4] и низкомолекулярных нековалентносвязанных с последними кардноактивных гликопептидов [5], структурно родственных с кардиоактивными нейрогормонами «К», «С», «Г», ранее обнаруженными в том же регионе мозга [6]. Следует отметить, что отдиссоциированные гликопротенны в свою очередь являются предшественииками целого ряда новых биоактивных гликонептидов, в том числе и кардиоактивных [7]. Физиологическое действие этих соединений характеризуется избирательностью и высокой активностью: они расширяют периферические сосуды, стабилизируют кровяное давление, усиливают кровоток, повышают проницаемость капилляров, участвуют в процессах микроциркуляции [8], повышают ударный минутный объем и частоту сердечных сокращений [9].

Разработка соответствующих иммунохимических [10] и радиоим-

мунологических (РН) методов [11] позволила установить нейроспецифичность указанных БГК, выявив искомые комилексы с убывающей иммунореактивностью в структурах мозга в следующей последовательности: гипоталамус, мозжечок, кора больших полушарий, продолговатый мозг. В значительно меньших количествах (на три порядка по сравнению с нервной тканью) БГК-подобные иммунореактивности были выявлены в сердечной, скелетной мышцах, селезенке, нечени, сыворотке крови. Одновременно применение метода РПА создавало возможность изучения динамики распределения этих БГК при патологических состояниях, в частности деструкции сердечной мышцы.

Целью настоящего исследования явилось изучение количественного содержания в мозгу и регионального распределения одного из специфических комплексов гиноталамуса—белок-нейрогормон «С» (БИС) в норме и в условиях моделирования у крыс экспериментальной ишемии мнокарда (ЭНМ).

Материалы и методы

Оныты проводили на 70 белых беспородных крысах-самцах массой 160-200 г. Экспериментальную ИМ вызывали путем перевязки инсходящей ветви левой коронарной артерии. О максимальном развитии ИМ к 4-му дию судили по регистрации ЭКГ на аппарате 6 НЕК-3 (электроды пгольчатые, крыса не фиксирована). У животных регистрировали ЭКГ в 3 стандартных отвелениях. Записи производили до окклюзии венечной артерии, через 5 мии после окклюзии и перед забоем животных. Уже через несколько минут после окклюзии левой коронарной артерии у крыс были заметны выраженные ишемические изменения: в стандартных отведениях на ЭКГ возникает значительный подъем сегмента ST и увеличивается зубец Т. Позднее, через 3 суток после окклюзии венечной артерии на ЭКГ наблюдаются признаки развившейся ИМ: как правило, отмечается комплекс QS или глубокий зубец Q. В качестве контроля использовали интактных и дожнооперированных животных. Ложная операция состояла в торакотомии и подведении лигатуры под артерию без затягивания лигатуры.

Через 4 дня после перевязки коропарной артерии у декапитированных животных выделяли различные регионы мозга (кора больших полушарий мозга, гипоталамус, мозжечок, продолговатый мозг) и ряд висцеральных органов (сердце, легкие, печень, почки, селезенка, поджелудочная железа, скелетная мышца). Ткани гомогенизировали водой в соотношении 1:2 (масса:объем) и центрифугировали при 5000 об мин. Из надосадочной жидкости белки осаждали сульфатом аммония в пределах 70—100%. Полученные осадки растворяли в веронал меданаловом буфере (р11 8,6) и диализовали против воды в течение 48 ч. Лиофилизированные порошки тканевых экстрактов и сыворотки крови использовали в качестве антигена БНС [2]. Антисыворотку к БНС, выделенному из гипоталамуса, получали путем

иммунизации кроликов смесью этого комплекса с полным адъювантом Фрейнда по ранее разработанной схеме [10].

Радноиммунологический апализ проводили с антисывороткой, реагирующей строго специфично с БНС. Метод основан на выявлении комплекса БНС-антитело с помощью хлорамина Т [12] против БНС, меченного ¹²⁵J. Йодированный БНС отделяли гель-фильтрацией через сефадекс G-25 с элюнрованием 0,05 М фосфатным буфером, содержащим 1%-ный БСА. Эксперименты проводили по методу Bolton, Hunter [13] с нашими модификациями [10]. Радноактивность препаратов БНС измеряли на сцинтилляционном счетчике SL 4221 (Франция), рассчитывая величину, характеризующую зависимость между радиоактивностью и количеством связанного БНС. Полученные данные обрабатывали статистически с применением 1-критерия Стьюдента.

Результаты и обсуждение

Оценка специфичности полученной к бычьему БНС кроличьей сыворотки, разведенной 1:1000, была проведена по результатам двойной иммунодиффузии в агаровом геле. По единственной выявленной дуге преципитации мы могли судить об антигенной гомогенности БНС, а по отсутствию таких дуг преципитации при использовании двух других БГК в качестве антигена—о его достаточно высокой специфичности.

В данной работе в качестве антигенного комплекса БИС, как было уже описано выше, были использованы частично очищенные и лиофильно высущенные экстракты тканей крысы, выход которых колебался от 0,1 до 0,3% от сырой массы. При перекрестном иммуноэлектрофорезе кроличья антисыворотка к бычьему БНС положительно реагнровала с водорастворимыми антигенными комплексами из мозга интактных животных и крыс с ИМ, что доказывало отсутствие ее видовой специфичности. Реакция преципитации, однако, не выявилась в случае использования в качестве антигенов экстрактов тканей висцеральных органов. Учитывая этот факт, в дальнейшем мы применили более чувствительный метод выявления БНС-РПА с использованием антигена, меченного 125J. Пригодность иммунной сыворотки для РИ экспериментов оценивали по ее способности конкурировать с [125J] БНС за связывание с немеченым антигеном. Так, было показано, что доза немеченого БНС, ингибирующего 50% связывание [126] БНС составляет примерно 50 иг.

Как уже отмечалось, БНС преимущественно локализован в мозгу. Нейроспецифичность БНС можно установить хотя бы по тому факту, что его содержание в нервной ткани (табл. 1) на три порядка превышает содержание в других тканях (табл. 2). Однако в самом мозгу БНС распределен неравномерно. Наивысшее его содержание отмети вется в гипоталамусе, кочти вдвое оно меньше в мозжечке, существенно уменьшается количество БНС в коре больших полущарий и про-

долговатом мозгу. Сопоставление определяемых копцентраций ИР-БНС в висцеральных органах свидетельствовало об органной специфичности этого биополимера. В убывающей последовательности содержание БНС выявляется в сердце, скелетной мышце, селезенке, печени. В остальных исследуемых тканях (легкие, почки, поджелудочная железа) нам не удалось обнаружить ИР—БНС. В крови определяемое

Содержание БНС в мозгу у крыс (М±т, n=4)

	Уровень БН : на 1 г сырой ткани		
Регионы мозга	интактные крысы	крысы с ЭИМ*	
Кора большах голу- шарий Гипоталамус в озжечок Продол оватый мозг	110.0±5.0 15:0±30.0 840±15.0 50±2.0	57.0±1.7 71.00±2.05 69.0±4.2 73.0±6.9	

Примечание. *p<0.001 по сравнению с контролем.

Таблица 2 Количество БНС в различных висцеральных органах ($M\pm m,\ n=8$)

0	Уровень БНС на 1 г сырой ткани		
Органы	интактные крысы	крысы с ЭИМ*	
Сердце Легкие Почки Печень Селезенка Поджелудочная же-	0,42±0,09 0 0,08±0,01 0,23±0,08	79.0+8.2 63,0+4.2 77.0±3.4 65.0±5.6 79,0±4.7	
леза (клетная мышца	0,41 ±0,07	69,0±5.7	

Примечание. *р<0,001 по сравнению с контролем

количество ИР—БНС оказалось равным 10 нг/мл крови, что позволило допустить возможность выброса этого комплекса в общую циркуляцию аналогично нейрофизиповым комплексам [14] при различных условиях, стимулирующих выход кардиотропного нейрогормона «С» [6]. Дальнейший целенаправленный транспорт БНС к органаммишеням, в частности к сердцу, свидетельствует о его участии в регуляции соответствующих метаболических процессов. В связи с этим было целесообразно изучить распределение БНС при различных сердечных патологиях, в особенности при ИМ.

Как показали результаты исследований в молельных экспериментах у крыс на 4-е сутки после перевязки писхолящей ветви левой коронарной артерии в гипоталамусе и мозжечке происходит резкое уменьшение БНС (табл. 1)—примерно в 20 и 12 раз соответственно.

Слабее уменьшается содержание БНС в коре больших полушарий мозга-в 2 раза. В продолговатом мозгу, наоборот, наблюдается некоторое увеличение содержания БНС. НМ не только ускоряет высвобождение БНС из мозга, приводя к увеличению его содержания в крови, но и значительно повышает его содержание в ряде органов и тканей. Из висцеральных органов максимальный уровень БНС отмечается в селезенке, примерно в 340 раз превосходящий исходный (табл. 2). Значительное и примерно одинаковое (в 160 и 170 раз) повышение содержания БИС выявляется также в сердце и скелетной мышцах, а также в нечени, легких, почках и поджелудочной железе. Даниые, приведенные в табл. 2. позволяют заключить об убывающей последовательность уровня иммунореактивного БНС в висцеральных органах у кры с ИМ: селезенка > сердце > скелетная мышца > печень > почки > поджелудочная железа > легкие. Резкое увеличение содержания БНС в селезенке и сераце у крыс с ИМ по сравнению с таковыми у интактных животных и одновременно опустошение в мозгу предполагает, по-видимому, возникновение при этой патологии нового гомеостатического уровия этого нейроспецифического белок-гормонального комплекса. На основании этих данных можно судить о его реальном участии в метаболических процессах в этих органах при НМ, направленном в частности, на повышение периферического тканевого, в особенности, мнокардиального кровотока. Несомненно, факт увеличения содержания БИС в сыворотке крови, сердце и ряде висцеральных органов недостаточно информативен для установления его влияния при НМ. Одпако, учитывая резкое увеличение БНС в сердце, можно, по-видимому, считать его маркером повреждения мнокарда. Кроме того, нельзя не учесть высокую биологическую активность БНС, а именно: эффективное коронарорасширяющее действие, значительное улучиение кровоснабжения сердца в условиях ИМ и, следовательно, увеличение доставки кислорода к серлцу, регуляция обменных процессов в этом органе, и наконец, непосредственное влияние на изолированные клетки сердечной мышцы. Приведенные факты позволяют предположить, что БНС стабилизируют и приостанавливает некротические процессы в мнокарде.

DETERMINATION OF THE CONTENT OF NEUROSPECIFIC PROTEIN-HORMONAL COMPLEX IN ORGANISM OF RATS WITH THE EXPERIMENTAL MYOCARDIAL INFARCTION

GABRIELIAN S. K., SRAPIONIAN R. M., ABELIAN Zh. G., SAHAKIAN S. A., SAHAKIAN F. M., GALOYAN A. A.

Institute of Biochemistry, Armenian Academy of Sciences, Yerevan

By means of radioimmunoassay method the distribution of neuro-specific cardioactive protein-hormonal complex (protein-neurohormone "C"—PNC) in rats with experimental myocardial infarction (MI) has

been studied. The cardiac pathology mentioned is accompanied by devastation of PNC in brain, especially in hypothalamus and cerebellum (80 and 12-folf, correspondingly) and by its simultaneous (c. 6—340 fold) increase in a number of visceral organs and in peripheral blood. The data summarized is indicative of decreasing sequence of PNC levels in visceral organs of rats with MI: spleen heart skeletal muscle liver kidney pancreas lungs. The data obtained permit to suggest the uppearance of new homeostatic level of PNC at MI.

ЛИТЕРАТУРА

- 1. Галоян А. А., Срапионян Р. М. Докл. АН АрмССР, т. 42, № 4, с. 210-213, 1966:
- 2. Срипионян Р. М., Саакян С. А., Галоян А. А. Вопр. биохимии мозга. (под ред. Бунятяна Г. Х.), Ереван, Изд-во АН АрмССР, т. 11, с. 97—104. 1976.
- Ga'oyan A. A., Srapionian R. M. Neurochem. Res., v. 8, No. 12, p. 1511-1535, 1983.
- 4. Срапионян Р. М. Нейрохимия, т. 6, № 1, с. 109-116, 1987.
- Галоян А. А., Срипионян Р. М., Медведев Ф. А. Докл. АН АрмССР, т. 66, № 5, с. 302—306, 1978.
- Галоян А. А. Вопр. биохимии мозга, Ереван, Изд-во АН АрмССР; т. 13, с. 89— 98, 1978.
- 7. Срапионян Р. М., Саакян С. А., Медведев Ф. А., Галоян А. А. Докл. АН АрмССР. т. 70, №3, с. 182—186, 1980.
- 8. Ростомян М. А., Абрамян С. С., Галоян А. А., Кровообращение, т. 4, с. 3—8, 1977.
- Halle W., Srapionian R. M., Oehme P., Ga'oyan A. B. Acta Biol. Med Germ. v. 35, p. 265-267, 1976.
- Срапионян Р. М., Абелян Ж. Г., Галоян А. А. Вопр. биохимии мозга, Ереван. Изд-во АН АрмССР, № 2, с. 20—24, 1985.
- 11. Срипионян Р. М., Абелян Ж. Г., Галоян А. А. Укр. биох. жури., т. 61, № 3, с. 53—58, 1989.
- 12. Greenwood F. G., Hunter W. M., Glower J. S. Biochem, J., v. 89, p. 114, 1963.
- 13. Bolton A. E., Hunter W. M. Biochem, J. v. 133, p. 529, 1973.
- 14. Lang R. E., Huttle W. Acta endocrinology, v. 94, suppl. No 34, p. 56 57, 1980.

Поступила 26 XII, 1990-

УДК 577.112:547.963

РЕГУЛЯЦИЯ СОКРАЩЕНИЯ ГЛАДКОЙ МУСКУЛАТУРЫ ПЕПТИДНЫМИ ФАКТОРАМИ ГИПОТАЛАМУСА

ЗАКАРЯН Т. Р., БАРХУДАРЯН Н. А., ШУВАЛОВА Л. А., ОСТРОВСКАЯ М. В., ШАРОВА Н. П., ГАЛОЯН А. А.

Институт биохимии АН Армении, Ереван

Исследовано воздействие коронаросуживающих пептидных факторов гипоталамуса на активность киназы легких цепей миозипа (КЛЦМ), выделенной из гладкой
мускулатуры желудка кур и кальмодулинчувствительной ФДЭ сАМР, выделенной
из гипоталамуса быка. Обнаружено, что пептидные факторы гипоталамуса вызывают Са²⁺-независимую активацию этих ферментов в присутствии кальмодулина.
Высказывается предположение, что и в условиях in vivo пептидные факторы гипоталамуса могут принимать участие в Са²⁺-независимой регуляции активности КЛЦМ
и ФДЭ сАМР, обеспечивая при этом сокращение гладкой мускулатуры, путем
Са²⁺-независимого связывания с кальмодулином, являясь, по-существу эндогенными
заменителями Са²⁺.

За последние годы в нашей лаборатории накоплен большой фактический материал, подтверждающий предложенную ранее Галояном А. А. концепцию о существовании в мозгу Са2+-независимой пептидной системы регуляции активности Ca2+-кальмодулиизависимых ферментов [1-2]. Галояном и сотруд, установлено, что в гипоталамусе крупного рогатого скота образуются 2 группы пептилных факторов, вызывающих Ca²⁺-независимую активацию Ca²⁺-кальмодулиизависимых ферментов: одна из них стимулирует Са2+-независимую активацию кальмодулинчувствительной ФДЭ сАМР в 6-10 раз в отсутствие Са2+ и кальмодулина [3], а другая, к которой относятся выделения в нами ранее 5 коронаросуживающих пентидных факторов [4], вызывает Са24-независимую активацию КЛЦМ скелетной мышцы кролика-Са2+-кальмодулинчувствительного фермента, ответственного за фосфорилирование легких цепей мнозина [5]. Однако необходимо отметить, что стимулирующее действие этой группы пентидных факторов типоталамуса (ПФ, т) на активность КЛЦМ имеет место только при наличии в инкубационной среде кальмодулина [5]. Методом ферментзависимого иммуносорбентного анализа (ELISA) было обнаружено, что ПФ1-5 ингибируют образование иммунокомплекса кальмодулин-антитело путем Ca2+-независимого связывания с кальмолулином [6-8]. Ранее нами было показано, что ПФ , оказывают стимулирующее воздействие (на 20-25%) на сократительную функцию

изолированной аорты кролика в К⁺-деполяризующем растворе, содержащем 40 мМ КСІ [5, 9]. Как известио, в гладкой мускулатуре КЛЦМ играет ключевую роль в запуске мышечного сокращения [10], поэтому представлялось целесообразным изучить воздействие ПФ₁₋₅ на активность КЛЦМ, выделенной из гладкой мускулатуры, а также изучить воздействие ПФ на активность кальмодулинчувствительной ФДЭ сАМР, учитывая, что факторы изменяющие активность КЛЦМ, оказывают обычно аналогичное [11] воздействие на активность ФДЭ сАМР; кроме того, изучение влияния вышеуказанных пептидных факторов гипоталамуса на активность ФДЭ сАМР дало бы возможность для сравнения механизма регуляторного действия этих пептидов с механизмом действия С-модулинов на один и тот же фермент.

Целью данной работы было исследование воздействия коронаросуживающих пентидных факторов гипоталамуса на активность КЛЦМ из гладкой мускулатуры желудка кур и на активность кальмодулинчувствительной ФДЭ сАМР из гипоталамуса быка.

Материалы и методы

Коронаросуживающие неитидные факторы гипоталамуса выделяли по методу Галояна и соавт. [4].

Высокоочищенные препараты КЛЦМ получали по метолу Dabrowska и соавт. [12—13] из желудка кур. Фосфорилирование легких цепей (ЛЦ) миозина гладкой мускулатуры желудка кур с Мг 20 кД проводили в течение 25 мин при 25° в инкубационной среде, содержащей 70 мкг очищенного миозина, 20 мМ фосфатного буфера, рН 8,0, 12,5 мМ MgCl₂, 0,1 мМ CaCl₂, 10 мМ ATP, 1,5 мМ КЛЦМ и 4,5 мМ кальмодулина. Включение фосфата в ЛЦ миозина регистрировали при электрофорезе в ПААГ в присутствии 8 М мочевины по методу Реггіе и соавт. [14]. Относительное содержание фосфорилированных ЛЦ в миозине определяли при анализе денситограмм гелей электрофореза, окрашенных Кумасси R-250.

Количество белка определяли по методу Lowry и соавт. [15].

Выделение ФДЭ сАМР проводили по метолу Бобрускина и соавт. [16]. Для определения влияния ПФ на активность фермента в никубационную смесь, объемом 100 мкл, содержащую 25 мМ трис-НСГ буфер, pH 7,0, 1 мМ MgCl₂, 3 мкм сАМР, [³H] сАМР (0.1 мкКн) и достаточное количество фермента добавляли от 0,025 до 0,05 мкг ПФ.

В работе использованы сдедующие реактивы: ATP ("Sigma", CIIIA), MgCl₂, CaCl₃, ацетонитрил ("Мегск", Φ PГ), ЭГТА, Кумасси R-250, акриламид, бисакриламид, ТЕМЕД, персульфат аммония, Дауэкс $50W \times 8$. Амберлит CG—400, 100-200 меш ("Serva", Φ PГ), сефадекс G-10, фенил-сефароза, сефакрил S-200 ("Pharmacia", IIIвеция), ТSК ДЭАЭ 650 М ("Тоуо Soda". Яполия), остальные реактивы марок х. ч. и ос. ч. ("Союзхимреактив", СССР).

Результаты и обсуждение

При исследовании вдияния ПФ_{1,3} на активостъ КЛЦМ, выделенной из гладкой мускулатуры желудка кур, было выявлено, что при добавлении их в инкубационную среду в концентрации 0,05 М в отсутствие Ca²⁺ (при наличии в инкубационной среде 1 мМ ЭГТА) происходит активация фермента от 100 до 200% соответственно, по сравнению с контролем, не содержащем 1 мМ ЭГТА и ПФ (таблица). Стимулирующее действие ПФ_{1,5} на активность высокоочищенного препарата КЛЦМ имело место только при наличии в инкубационной среде кальмодулина.

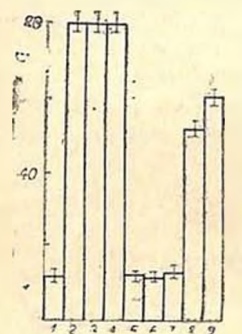


Рис. Влияние неитидных факторов ($\Pi\Phi_3$ и $\Pi\Phi_4$) гипоталамуез на активность Ca^{2+} -кальмодулнизависимой ФДЭ сАМР. По оси абсиисс: I-0.1 мМ $CaCl_2+3$ мкМ ФДЭ сАМР (контроль 1): 2-0.1 мМ $CaCl_2+3$ мкМ ФДЭ сАМР+4.5 мкМ кальмодулниз (K_2- контроль 2): $3-K_2+0.05$ мкМ $\Pi\Phi_3$: $4-K_2+0.05$ мкМ $\Pi\Phi_4$: $5-K_1+0.05$ мкМ $\Pi\Phi_4$: 7-1 мМ ЭГТА+3 мкМ ФДЭ сАМР+4.5 мкМ кальмодулниз (K_3- контроль 3): $8-K_3+0.05$ мкМ $\Pi\Phi_4$: 10-0.05 мкМ 10-0

Эти данные аналогичны результатам, полученным нами ранее при изучении воздействия ПФ 1-3 на активность КЛЦМ, выделенной из скелетной мышцы кролика, с той лишь разнацей, что степень активации КЛЦМ, выделенной из гладкой мускулатуры под воздействием ПФ, значительно выше [5]. Эти результаты коррелируют также с полученными нами ранее данными о стимулирующем воздействии ПФ на сократительную функцию изолированной аорты кролика [5, 9]. Данные, полученные с номощью метода ELISA о связывании ПФ с кальмодулином (как в присутствии Са24, так и в его отсутствие) позволили заключить, что коронаросуживающие пентидные факторы гипоталамуса осуществляют свое воздействие на активность КЛЦМ, выделенной как из гладкой, так и из скелетной мускулатуры путем связывания с молекулой кальмодулина и образования комплекса кальмодулин-пептидный фактор, который, связываясь с каталитической субъединицей фермента, вызывает его активацию. Учитывая тот факт, что в гладкой мускулатуре КЛЦМ ответственна за запуск мышечного сокращения [10], можно сказать, что получены новые доказательства регуляторного воздействия коронаросуживающих ПФ гипоталамуса на сократительную функцию гладкой мускулатуры.

При изучении действия $\Pi \Phi_{3}$ и $\Pi \Phi_{4}$ па активность Ca^{2+} -кальмодулинзависимой $\Phi \mathcal{L} \Theta$ сАМР было обнаружено, что $\Pi \Phi$ в отсутствие Ca^{2+} стимулирует активность фермента приблизительно в 4 раза по сравнению с контролем, не содержащем пептидных факторов. Необходимо отметить.

что в присутствии Са²⁺ мы не наблюдали активирующего эффекта ПФ (рисунок), а в отсутствие Са²⁺ активирующий эффект пентидов имел место только в присутствии в инкубационной среде кальмодулина. Очевидно, что как и в случае КЛЦМ, Са²⁺-независимое воздействие пентидных факторов на ФДЭ сАМР осуществляется путем их связывания с молекулой кальмодулина. ПФ, по-видимому, являют-

Активирование киназы легких ценей миозина (КЛЦМ), выделенной из гладкой мускулатуры желудка кур под воздействием коронаросуживающих пентилных факторов гиноталамуса (ПФ)

Соед нения	Относ тельная активность %
Ca ² -	0
Са г → кальмодулин	100
(a) $+1(\Phi_{11}, 3, 4, 5)$	0
ЭГ А кальмодулии	0
ЭГГА кальмодулин ПФ	100
ЭГГА + кальмодулин - ПФ.	110
ЭГ А кальмодулии ГФ,	150
ЭГГАН кальмодулин - ПФ,	180
ЭГ і А кальмодулин - ПФ.	200

Примечание. Исследуемые соединения использовали в следующих концентрациях кальмолулии—4,5 мкМ, CaCl $_2$ —0,1 мМ, ЭГТА—1 мМ; КЛЦМ гладкой мышцы—1,5 мкМ: ПФ $_{1-83}$ —0,05 мкМ. За 100%-ную активность фермента принимали такое количество КЛЦМ, которое вызывало в течение 25 мин при 25° фосфорилирование легких ценей мнозина на 50%.

ся аллостерическими регуляторами кальмодулина; их связывание с кальмодулином, в зависимости от концентрации ПФ, вероятно, может приводить структуру кальмодулина в различные активные конформационные состояния. К такому выводу мы пришли при исследовании методом ELISA влияния различных концентраций ПФ на образование иммунокомплекса кальмодулин-антитело в присутствии и в отсутствие Ca²⁺, а также при изучении совместного эффекта ПФ и известного антагониста кальмодулина трифториеразина на образование иммунокомплекса [6].

Сравнение механизма действия ПФ и С-модулинов [3] выявило существенную разнину в механизме активирующего воздействия на Са²⁺-кальмодулинчувствительную ФДЭ сАМР. В то время как ПФ осуществляют свое воздействие путем связывания с молекулой кальмодулина и образования активного комплекса кальмодулин-пептидный фактор, являясь, по-видимому, эндогенными заменителями Са²⁺, С-модулины, обладая высоюнм сродством к ФДЭ сАМР [3], активируют фермент как в отсутствие Са²⁺, так и кальмодулина.

Помимо этих двух групп пептидных факторов, образующихся в гипоталамусе крупного рогатого скота, в настоящее время известен и ряд других факторов, вызывающих Са²⁺-пезависимую активацию ФДЭ сАМР и других чувствительных к кальмодулину систем [17—19].

Таким образом, на основании полученных данных можно заключить, что коронаросуживающие пептидные факторы гипоталамуса можно причислить к числу Са²⁺-независимых регуляторов в клетке, которые, по-видимому, и в условиях *in vivo* могут принимать участие в регуляции активности КЛЦМ, ФДЭ сАМР и, возможно, других Са²⁺-кальмодулинзависимых систем (при низком внутриклеточном уровне содержания Са²⁺) путем Са²⁺-независимого связывания с кальмодулином, обеспечивая при этом и регуляцию сокращения гладкой мускулатуры, являясь, вероятно, эндогенными заменителями Са²⁺.

В недавно проведенных исследованиях (Галоян А. А., Бархударян Н. А., Лотиппайх ф., 1990 г., неопубликованные данные) по выяснению первичной структуры гипоталамических коронаросуживающих пептидных факторов было обнаружено, что 3 из них являются фрагментами 33—37 (Val-Val-Tyr-Pro-Trp), 33—38 (Val-Val-Tyr-Pro-Trp-Thr) и 32—38 (Leu- Val-Val-Tyr-Pro-Trp-Thr) β-цепи бычьего гемоглобина.

REGULATION OF SMOOTH MUSCLE CONSTRICTION BY HYPOTHALAMIC PEPTIDE FACTORS

ZAKHARYAN T. R., BARKHOUDARYAN M. A., SHUVALOVA L. A.,
OSTROVSKAYA M. V., SHAROVA N. P., GALOYAN A. A.

Institute of Biochemistry, Armenian Academy of Sciences, Yerevan

The effect of hypothalamic coronaroconstrictory peptide factors on the activity of myosin light chain kinase (MLCK) isolated from chicken stomach smooth muscle and on that of calmoduline-sensitive cAMP PDE Isolated from bovine hypothalamus has been investigated. The Ca²+-in-dependent activation of these enzumes by hypothalamic peptide factors in presence of calmodulin has been obtained. It was suggested that hypothalamic peptide factors are also able to participate in vivo in Ca²+-independent regulation of MLCK and cAMP PDE providing in this case the smooth muscle constriction by means of Ca²+-independent binding with calmodulin. In principle it points out that these compounds are endogenous substitutors of Ca²+.

JIHTEPATYPA

- 1. Галоян А. А., Гурвиц Б. Я. Нейрохимия, т. 5, № 4. с. 420-422, 1986.
- 2. Галоян А. А. Нейрохимия, т. 6, № 1, с. 3-9, 1987.
- 3. Галоян А. А., Бобрускин И. Д., Гурвиц Б. Я., Абрамян Г. Э. Нейрохимия, т. 8, № 1. с. 78—86, 1989.
- Галоян А. А., Бархударян И. А., Валко К., Закарян Т. Р. Нейрохимия, т. 7, № 4, с. 519—524, 1988.
- Бархударян И. А., Закарян Т. Р., Шувалова Л. А., Чашлян С. Г., Алексанян А. Р., Галоян А. А. Нейрохимия, т. 8, № 4, с. 485—491, 1989.
- Бархударян И. А., Хорват Л., Галоян А. А., Овади Ю. Нейрохимия, т. 9, № 2, с. 188—195, 1990.

- Horvath L., Barkhudaryan N., Galoyan A., Oradi J. 20th Meeting IEFS, Budapest, Hungary, p. 27, 1990.
- Horsath L., Barkhudaryan N., Galoyan A., Ovadi J. FEBS Lett., v. 276, No. 1, 2, p. 197-200, 1990.
- Barkhudaryan N., Zakaryan T., Aleksanyan A., Sharova N., Shuvalova L., Chailyan S., Galoyan A. 8th ESN Meeting, Leipzig, DDR, p. 21, № 4, 1990.
- 10. Marston S. B. Prog. Biophys. Molec. Biol. v. 41, p. 1-41, 1982.
- 11. Hidaka H., Asano M., Tanaka T. Mol. Pharmacol., v. 20, p. 571-578, 1981.
- Dabrowska R., Aromatorio D., Sherry J. H. F., Hartshorne D. J. Biochem. Biophys. Res., Commun., v. 78, p. 1263-1272, 1977.
- Dabrowska R., Sherry J. M. F., Acomatorio D., Hartshorne D. J. Biochemistry, v. 47, p. 253-258, 1978.
- 14. Perrie W. T., Perry S. V. Biochem. J., v. 119, No 1, p. 31-38, 1970.
- Lowry O. H., Rosebrough H. J., Farr L. A., Ranndall R. I. J. Biol. Chem. v. 193, p. 265-275, 1971.
- 16. Бобрускин И. Д., Шайхин С. М., Муратова М. В., Баранова Л. Л., Северин Е. С. Биохимия, т. 52, вын. 8, с. 1344—1352, 1987
- Wolff D. I., Brostrom C. O. Atch. Biochem. and Biophys., v. 173, p. 720-731, 1976.
- 18. Дудкин С. М., Алахов В. Ю., Северин С. Е., Швец В. И. Докл. АН СССР, т. 276, № 6, с. 1510—1513, 1984.
- Branjord White C. L. Parker G. Dawson J. M., Fraser A. Biochem. Soc., Transl., v. 9, p. 417-418, 1981.

Поступила 2. IX. 1990

УДК 616,008,939+633,2.02

Са²⁺-НЕЗАВИСИМАЯ РЕГУЛЯЦИЯ АКТИВНОСТИ КАЛЬМОДУЛИНЗАВИСИМОП ФОСФОДИЭСТЕРАЗЫ ИЗ МОЗГА БЫКА С-МОДУЛИНАМИ

ГАЛОЯН А. А., *БОБРУСКИН И. Д., ГУРВИЦ Б. Я., АБРАМЯН Г. Э.

Институт биохимии им. Г. Х. Бунятяна АН Армении, Ереван *МГУ им. М. В. Ломоносова

Показано, что С-модулины являются Ca^{2+} -независимыми аллостерическими регуляторами активируемой кальмодулином ФДЭ мозга быка. Установлено, что взаимодействие С-модулинов с ферментом происходит по центрам, отличным от катали: тического и кальмодулинсвязывающего. Взаимодействие С-модулинов с ФДЭ характеризуется кажущейся K_d комплекса порядка 10^{-9} М и приводит к увеличению максениальной скорости гидролиза сАМР в ~ 10 раз. При этом образование комплекса (ФДЭ.С-модулин) не влияет на сродство субстрата к ферменту. Показано, что действие С-модулинов и кальмодулина на активность ФДЭ носит аддитивный характер, причем в их присутствии не изменяется константа активации фермента, но заметно возрастает максимальная скорость гидролиза сАМР. Установлено также, что стимуляция активности ФДЭ при совместном действии С-модулинов и кальмодулина значительно подавляется в присутствии антагониста кальмодулина— трифторперазина. Полученные в настоящей работе результаты позволяют предположить о существовании на поверхности ФДЭ С-модулинсвязывающего участка, отличающегося от каталитического и кальмодулинсвязывающего центров фермента.

ФДЭ циклических пуклеотидов—ключевой фермент метаболизма клетки, регулирующий уровень вторичного мессенджера сАМР [1]. В мозгу этот фермент представлен несколькими формами, одна из которых, Са²⁺-кальмодулинзависимая (КМ-зависимая), является наиболее изученной [2—5]. Характерной особенностью КМ-зависимой ФДЭ является наличие специфического аллостерического центра, взаимодействующего с КМ в присутствии Са²⁺. Образование комплекса (Са²⁺·КМ·ФДЭ) приводит к значительному увеличению скорости гидролиза циклических пуклеотидов [6, 7]. Предполагается, что регуляция активности ФДЭ под действием КМ in vivo находится в прямой зависимости от внутриклеточного уровия Са²⁺ [8]. В этой связи особый интерес представляют КМ-подобные, но Са²⁺-независимые регуляторные системы, способные при определенных условиях, в особенности при лимитированном уровне содержания Са²⁺, компенсировать многие функции, осуществляемые КМ.

В настоящее время известен ряд факторов, вызывающий Ca²⁺-независимую активацию ФДЭ. К их числу относятся жирные кислоты и фосфолипиды [9], бактериомодулин [10], ограниченный [11], сульфгидрильные реагенты [12], некоторые простагландины [13] и многие другие соединения.

Принципиально важным было открытие Галояном и соавт, новых Са²⁺-независимых активаторов ФДЭ, обнаруженных в составе карднотропного нейрогормона «С» [14]. Активаторы были названы С-модулинами ввиду их высокой биологической активности, коррелирующей с модуляцией активности ФДЭ. Было высказано предположение, что С-модулины в совокупности с другими органотропиыми факторами в составе препарата нейрогормона «С», образуют высокоэффективный комплекс, индуцирующий активность нейрогормона «С» [15].

Известно, что нейрогормон «С» является универсальным регулятором многих внутриклеточных процессов [15], уровня циклических нуклеотидов и Ca²⁺ [16—18], захвата и высвобождения нейромедиаторов из синаптических окончаний [19], регуляции гликолиза [20, 21]. Кроме того, установлено влияние нейрогормона «С» на сердечную деятельность и коронарное кровообращение [22].

Возможное участие С-модулинов в этих и других процессах делает их объектом всесторонних исследований. Известно, что эти активаторы являются низкомолекулярными соединеннями, по-видимому, пептидной природы [14], способными Са2+-независимым путем стимулировать активность ФДЭ. Однако изучение механизмов регуляции активности фермента под действием С-модулинов остается на сегодняшний день актуальной задачей.

В настоящей работе предпринята попытка подхода к обсуждаемой проблеме. Проверена возможность существования комплекса ФДЭ с С-модулинами и исследованы изменения физико-химических параметров фермента при его образовании как в присутствии, так и в отсут-

ствие КМ.

Материалы и методы

В работе были использованы следующие препараты: сАМР, ЭГТА ("Calbiochem", ClIIA), [3H cAMP ("Amercham", Англия), трис, NaNa ("Serwa", ФРГ), трифторуксусная кислота, ацетонитрил ("Fluka", Швейцария), 8-меркаптоэтанол ("Мегк", ФРГ), аннонообменная смола Dowex 1×2 , 50-100 меш ("Serva", ФРГ), хромато графические сорбенты фенил-сефароза ("Pharmacia", Швеция), ДЭАЭ TSK Toyopearl 650 М ("Тоуо Soda". Япония). Остальные реактивы производства "Союзхимреактив", СССР, квалификации ос. ч. Уровень радиоактивпости проб определяли с помощью жидкостного сцинтилляционного спектрометра типа "Intertechnique" (Франция) с использованием сцин " тиллятора ЖС-7А ("Союзхимреактив" СССР). ВЭЖХ проводили на хроматографе "Altex-Beckman" (США) с применением колонок С-18. 4,6×250 мм ("Ultrasphere ODS", CIUA), TSK ДЭАЭ 3SW 21,5×150 мм ("LKB", Швеция) и колонки для гель-фильтрации "Spherogel" TSK 2000, SW. 7,5×600 MM ("Altex-Beckman", CIIIA).

Очистка Са2+-КМ-зависимой ФДЭ из мозга быки. Пропарат ФДЭ получали по методу Бобрускина и Шайхина [23]. Мозг (400 г) гомогенизировали с помощью гомогенизатора типа «Политрон» в 25 мМ трис-НСІ буфере, рН 7.0, содержащем І мМ анетат магния, 3 мМ дитиотрентол или в-меркантоэтанол, 0,1 мМ азид-Na. Гомогенат центрифугировали на центрифуге «Весктан G-21» (ротор JA-14) при 22000 в течение 60 мин. Супернатант подвергали ИОХ на колонке ДЭАЭ ТSК; элюцию осуществляли с помощью буфера А, содержащего 25 мМ трис-HCl, pH 7,0. 200 мМ NaCl, 1 мМ MgCl2, 1 мМ дитиотрентол, 0.1 мМ азид-Na. Элюат напосили на колонку с фенил-сефарозой, с которой фермент связывался в присутствии Са2; (1 мМ) и элюпровался буфером В, содержащим 0,2 мМ ЭГТА.

Далее фермент подвергали нопосбменной ВЭЖХ на колонке ДЭАЭ TSK 3SW, элюцию с которой осуществляли линейным градиентом концентраций NaCl (100-350 мМ). На последней стадии очистки фермент подвергали гель-фильтрации методом ВЭЖХ. Элюцию осуществияли буфером, содержащим 25 мМ трис-НСІ, рН 7.0. 2 мМ ЭГТА. 0.1 M NaCl. Белок определяли по поглощению в УФ-спектре при 280 им.

Очистка КМ. КМ выделяли по методу Gopalakrishna, Anderson [24], с некоторыми модификациями [23]. Дальнейшую очистку осуществляли методом нонообменной ВЭЖХ на колонке ТЅК ДЭЛЭ, с которой КМ элюпровали, используя линейный градиент концентраций NaCl (150-350 мM) в 25 мМ трис-HCl буфере, рН 7,0. Элюэт полвергали днализу против дистиллированной воды, после чего лиофилизировали. Выделенный таким образом КМ оказался гомогенным в 15%-ном ПААГ в присутствии 0,1%-ного ДДС-Nа по данным электро-

фореза, проведенного по методу Laemmli [25].

Очистка С-модулинов. Препарат кариотропного нейрогормона «С», выделенный из магноцеллюлярных ядер гипоталамуса быка [26], подвергали дальнейшей очистке с помощью обратиофазовой ВЭЖХ по методу, предложенному нами ранее [14]. Исходный препарат нейрогормона «С» напосили на колонку С-18. Элюцию осуществляли в режиме лицейного градиента ацетопитрила в воде (0-30%) со скоростью 1 мл мин. Выход продукта контролировали по поглощению в УФ-области 210-220 им. После лиофилизации пробы, проявляющие способность активировать ФДЭ, подвергали новторной рехроматографин. Чистоту препаратов С-модулина проверяли при помощи гельпроникающей ВЭЖХ на колонке TSK SW-2000, уравновешенной 0.05 М натрий-фосфатным буфером, рН 7,0, содержащим 0,1 мМ ЭГТА. Элюцию проводили тем же буфером со скоростью 0,3 мл мин.

Выход пролукта регистрировали по поглощению при 210 220 им. Определение активности ФДЭ. Активность ФДЭ определяли по методу Thompson, Appleman [27], основанному на измерении концентрации [3Н] аденозина в реакционной среде, образующегося в результате двухстадийной реакции гидролиза [°H]сАМР и [°11]5'-АМР с участием ФДЭ и 5'-нуклеотидазы зменного яда соответственно. Образовавшийся продукт отделяли от негидролизированных субстратов внесением в инкубационную смесь водной суспензии анионообменной смолы «Dowex». После центрифугирования определяли уровень радноактивности супернатанта.

Результаты представлены в относительных единицах активности (ОЕА), рассчитанных по проценту гидролизованного сАМР в мин с учетом остаточной радноактивности проб в отсутствие фермента и уровня неспецифической сорбщи аденозина на понообменнике при полном гидролизе субстрата в присутствии избытка фермента.

Результаты и обсуждение

Ранее было показано паличие в составе нейрогормона «С» трех термостабильных С-модулинов [14]. Характерная для всех трех модуляторов Са²⁺-независимая стимуляция активности ФДЭ исследована нами на С1. Установлено, что активация фермента увеличивается с ростом концентрации С-модулина и переходит на постоянный уровень в области насыщающих концентраций (рис. 1, а). График, представ-

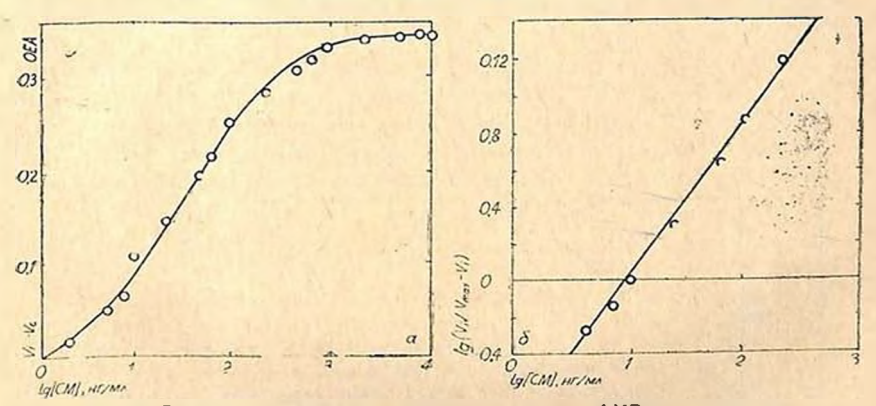


Рис. 1. Зависимость начальной скорости гидролиза сАМР от концентрации С-модулина (1) и кальмодулина (2). Опыты проводили в логарифмических координатах (а) и в координатах Хилла (б) в присутствии 0,2 мМ ЭГТА или Са²⁺ соответственно. По оси абсцисс—логарифм концентрации активаторов (A), выраженный в иг/мл, по оси ординат—скорость гидролиза сАМР при концентрации субстрата 5 мкМ, выраженная в отпосительных единицах активности (ОЕА), где Va и Vo—скорость реакции в присутствии и в отсутствие активатора соответственно

ленный в координатах Хилла (рис. 1, δ), свидетельствует о высоком сродстве С-модулина к ФДЭ, так как кажущаяся Ка комплекса (С-модулин ФДЭ) составляет 2 \cdot 110⁻⁹ M. Значение величины п_и, равное 1, указывает на отсутствие кооперативности при взаимодействии фермента с С-модулином.

На рис. 2 представлен график зависимости активности ФДЭ от концентраций субстрата (сАМР) в координатах Лайнуивера-Бэрка под действием С-модулина. Эксперимент проведен в присутствия 0,2 мМ ЭГТА и С-мелульна в двух фиксированных концентрациях (100 и 1000 иг/мл). Из графика следует, что величина эффективной константы сродства субстрата к молекуле ФДЭ, равная ~ 100 мкМ, не меняется при увеличении концентрации активатора на порядок. Вместе с тем, значение V_{пих} претерпевает 6-кратное увеличение. Таким образом, связывание С-модулина во всем днапазоне представленных концентраций сАМР, но всей видимости, происходит неконхурентно по отношению к активному центру на молекуле ФДЭ. Схему активации можно представить следующим образом:



где к₁—константа скорости в отсутствие С-модулина, к₂—константа скорости при насыщающих его концентрациях, Ка—константа активации, Р—продукт реакции.

На рис. З представлен график зависимости активности ФДЭ под действием КМ от концентраций активатора в присутствии двух фиксированных концентраций С-модулина. Как видно из графика, в присутствии С-модулина наблюдается активация фермента, степень которой мало меняется при увеличении его концентрации. Повышение

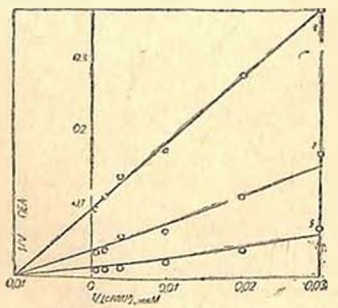


Рис. 2. Зависимость начальной скорости гидролиза сАМР от жонцентрации субстрата в координатах Лайнунвера-Бэрка при различных концентрациях С-модулина в иг/мл: I—0, 2—100, 3—1000. Измерения выполнены в присутствии 0.2 мМ ЭГТА

концентрации С-модулина на порядок не изменяет точки перегиба кривой на оси абсписс. Представленный на рис. 3, б график в координатах Хилла, отражающий ту же зависимость, показывает, что добавление С-модулина в реакционную смесь не приводит к изменению эффективной константы активации ФДЭ под действием КМ.

Можно предположить, что связывание С-модулина и КМ с молекулой ФДЭ носит неконкурентный характер. При этом степсиь активации ФДЭ под действием КМ в сочетании с С-модулином выше, чем тот же параметр для активации ФДЭ комплексом (Ca²⁺·Kh). Следовательно, влияние С-модулина и КМ на активность ФДЭ посит аддитивный характер. О возможном существовании комплекса (КМ-ФДЭ-С-модулии) свидетельствует тот факт, что при насыщающих концентрациях КМ в присутствии С-модулина графики зависимости акгивности ФДЭ от концентраций КМ выхолят на уровень, превышающий максимальную величину степени активации ФДЭ под действием КМ в отсутствие С-модулина (рис 3).

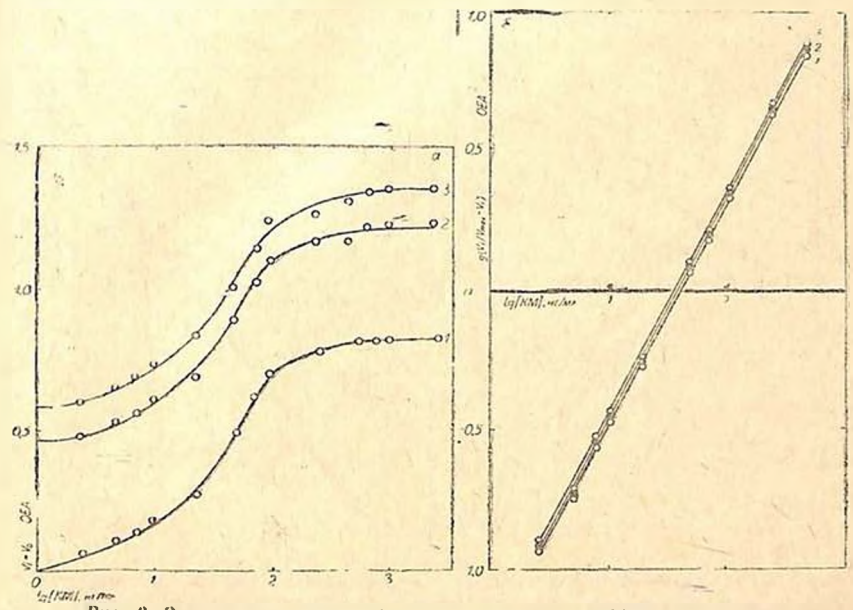


Рис. 3. Зависимость начальной скорости гидролиза сАМР от концентрации кальмодулина при различных концентрациях С-модулина в логариф-мических координатах (а) и в координатах Хилла (б): 1—0, 2—100, 3—1000 нг/мл. По оси абецисе—логарифм концентрации кальмодулина, по оси ординат—скорость гидролиза сАМР при концентрации субстрата 5 мкМ, выраженной в ОЕА, Измерения выполнены в присутствии 2 мМ Са²⁺. Обозначения те же, что и на рис. 1

Аналогичную картину можно наблюдать на рис. 4, а, где представлена зависимость активности ФДЭ под действием С-модулина от концентраций последнего при двух фиксированных концентрациях КМ. Увеличение степени активации фермента и отсутствие изменения точек перегиба с изменением концентрации КМ на порядок очетидиы, что показано и на рис. 3, а. Тот же график, представленный в координатах Хилла (рис. 4, б) свидетельствует отом, что КМ влияет на кинетические параметры реакции, катализируемой комплексом С-модулии—ФДЭ, посредством незначительного изменения сродства С-модулина к ферменту.

Последним в этой серии является эксперамент по изучению влия-

ния антагониста КМ—трифторперазина на активность комплекса (Са²+·КМ·ФДЭ·С-модулии). Результаты представлены на рис. 5, аз которого следует, что в присутствии 100 мкМ трифторперазина наблюдается ингибирование комплекса (Са²+·КМ·ФДЭ·€-модулии) до уровия, превышающего величину максимальной активности комплекса (Са²+·КМ·ФДЭ) в присутствии антагониста. Трифторперазин тормо-

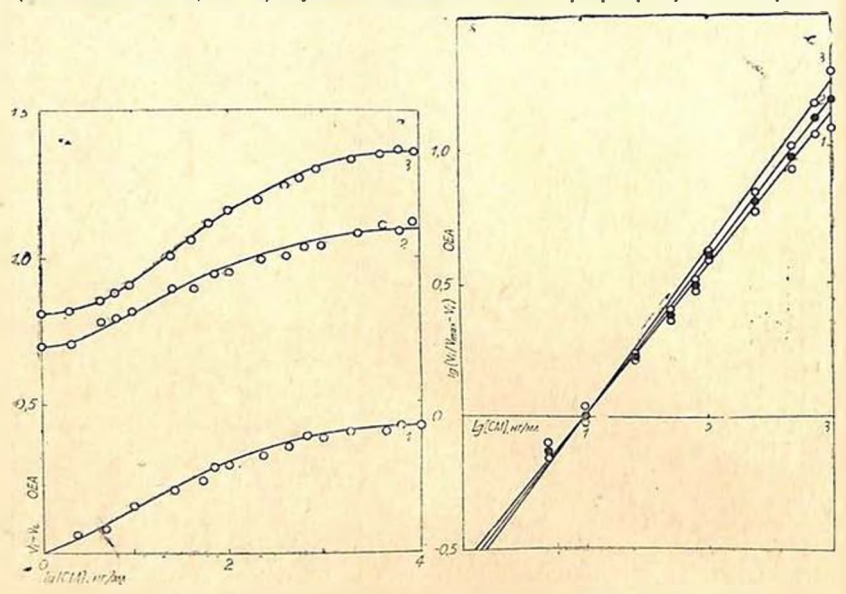


Рис. 4. Зависимость начальной скорости гидролиза сАМР от концентрации С-модулина при различных концентрациях кальмодулина в логариф-мических координатах (а) и в координатах Хилла (6): 2—100, 3—1000 нг/мл. По оси абецисс—логарифм концентрации С-модулина, выраженной в иг/мл, по оси ординат—скорость гидролиза сАМР при кои-шентрации субстрата 5 мкМ, выраженной в ОЕА, Измерения выполнены в присутствии 2 мМ Са²⁺. Обозначения те же, что и на рис. 1

зит также стимуляцию активности фермента С-модулином. Однако в отличие от 90%-ного ингибирования в случае комплекса (Са²⁺·КМ·ФДЭ), трифториеразии лишь частично (на 40%) снижал активность комплекса (С-модулин·ФДЭ). Следовательно, можно предположить, что инактивация комплекса (Са²⁺·КМ·ФДЭ·С-модулин) антагонистом КМ осуществляется за счет блокирования КМ и частичного торможения активирующего действия С-модулина.

Таким образом, из экспериментальных данных настоящей работы следует, что С-модулины могут выполнять роль Са²⁺-независимых аллостерических активаторов КМ-чувствительной ФДЭ из мозга быка.

Неконкурентное связывание с молекулой ФДЭ относительно субетрата сАМР является общим свойством С-молулинов. Иначе говоря, сродство субстрата к активному центру на молекуле ФДЭ не претерневает сколь-пибуль существенных изменений. Этот вывод согласуется с имеющимися на сегодняшний день литературными данными относительно Са²⁺-независимой активации КМ-чувствительной ФДЭ из мозга на примере жирных кислот [28, 29].

Некоторыми исследователями [30] предлагается пипотетическая модель взаимодействия Са²⁺-независимых модуляторов с ферментом посредством КМ-связывающего центра на молекуле ФДЭ. В условиях наших экспериментов, обсуждаемых выше, данная модель не подтвер-

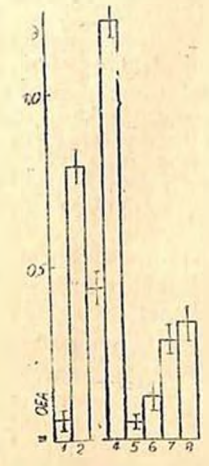


Рис. 5. Влияние трифторперазина (ТФП) на активность ФДЭ. Базальная активность ФДЭ (1), активация ФДЭ под действием Са²+-кальмодулина (2), С-модулина (3), С-модулина п (Са²+- КМ) (4). Те же параметры в присутствии пом мкМ трифторперазина (5, 6, 7 и 8). Измерения проводили при концентрации субстрата (сАМР) 5 мкМ

дилась. Более того, из результатов экспериментов по определению активности Φ ДЭ в присутствии С-модулина и комплекса (Ca^{2+} -KM) следует, что С-молулинсвязывающий центр не перекрывается с KM-связывающим участком на молекуле фермента, то есть возможно существование комплекса (Ca^{2+} -KM- Φ ДЭ-C-модулин). Иными словами, конкуренция С-модулина за центр связывающя KM на поверхности фермента маловероятна, поскольку сродство KM к аллостерическому регуляторному участку Φ ДЭ не подвергается изменениям под влиянием С-модулина (рис. 3, a, δ). В присутствии KM неконкурентный по отношению к С-модулину характер взаимодействия с Φ ДЭ проявляется во всем диапазсие представленных концентраций С-модулина.

Таким образом, можно предположить наличие на поверхности ФДЭ некоторого центра, способного взаимодействовать с С-модулинами. Таксе взаимодействие направлено на увеличение максимальной скорости гидролиза сАМР как в присутствии, так и в отсутствие КМ. При этом подобное взаимодействие не изменяет сродства субстрата к активному центру ФДЭ.

Авторы выражают благодарность М. В. Муратовой, А. С. Белову (МГУ, кафедра бножимии) за техническое содействие.

CALCIUM-INDEPENDET MODULATION OF BOVINE BRAIN CALMODULIN- ENSITIVE PHOSPHODIESTERASE-ACTIVITY BY C-MODULINS

"GALOYAN A. A., *30 JRUSKIN L. D., GURVITS B. Ya., ABRAHAMYAN G. E.

lastitute of Biochemistry, Armenian of Sciences, Yerevan *Moscov State University

The bovine hypotalamus contained heat-stable factors posses-sing cardiotropic action and stimulating Ca²⁺ CaM-sensitive phosphodiesterase activity 6-10 fold in the absence of calcium ions.

Kinetic analysic of the stimulating effect of one of such activaters demonstrated, that C-modulin mimicked the regulation of phosphodiesterase activity by calmodulin. The apparent dissociation constant of the activater-enzyme complex—was $2\cdot 10^{-9}$ M and hill coefficient ($n_{\rm H}$) averaged 1.

The binding of C-modulin to the enzyme was accompanied by the significant increase of the maximal rate of cAMP hydrolisis and was incompetitive respect in cAMP ($K_m = 100 \text{ mM}$).

The activating of C-modulins on phosphodiesterase beard additive character in presence of Ca²⁺/CaM and caused an insignificant imprevement in K_a for calmodulin activation ammounted to 3,3·10·3 M.

The data presented testily that C-modulins are Ca²⁺-independent allosteric activators of Ca²⁺ CaM-sensitive phosphodiesterase from bovine brain.

ЛИТЕРАТУРА

- 1. Sutherland E. W., Rall T. W. J. Biol. Chem., v. 232, p. 1077-1091, 1958.
- La Porte D. S., Tocano W. A., Storm D. R. Biochemistry, v. 18, p. 2820-282, 1979.
- Kincaid R. L., Manganietto V. C., Vangen M. J. Biol. Chem., v. 256, p. 11345— 11350, 1931.
- Sharma R. K., Wang T. H., Wirch E., Wang J. H. J. Biol. Chem., v. 255, p. 5916-5923, 1980.
- 5. Ho H. C., Wirch E., Wang J. H. J. Bol. Chem., v. 252, p. 43-50, 1977.
- 6. Lin Y. M., Lin Y. P., Cheung W. Y. FEBS Lett., v. 49, p. 359-302, 1975.
- Teshima Y. M., Kakiuchi S. Blochem, and Biophys. Res. Communs., v. 56, p. 489-495, 1974.
- Huang C. Y., Chau V., Chock P. B. Proc. Nat. Acad. Sci. USA, v. 78, p. 871

 874, 1981.
- Wolf D. I., Brostrom C. O. Arch. Blochem. and Biophys., v. 173, p. 720-731, 1976.
- Дудкин С. М., Алахов В. Ю., Северин С. Е., Швец В. И. Докл. АН СССР, т. 276.
 № 6, с. 1510—1513. 1984.
- Krinks M. N., Hasch J., Rhoads A., Klee C. B.-In: Adv. in Cyclic Nucleotide and Protein Phosphorylation Res. (eds. S. I. Strada, W. J. Thompson), v. 16, p. 31-47, Rayen Press., N. Y., 1984.
- Cheung W. Y., Lim Y. M.—In: Methods in Enzymology, Fart. C. Academic Press, N. Y., London, v. 38, p. 223-239, 1971.

- Hamet P., Franks D. J., Tremblay J., Coquit J. F. J. Biol Chem., v. 61, p. 1158--1163, 1983.
- 14. Галоян А. А., Бобрускин И. Д., Гурвиц Б. Я., Абрамян Г. Э. Нейрохимия, т. 8. № 1, с. 78—86, 1989.
- 15, Галоян А. А. Нейрохимия, т. 6, № 1, с. 3-9, 1987.
- Галоян А. А., Гурвиц Б. Я. Вестник Академии Мед. наук СССР, т. 9, с. 64—69, 1982.
- 17. Галоян А. А., Гурвиц Б. Я., Погосян М. А.—В ки.: Вопросы биохимии мозга, Ереван, Изд. АН АрмССР, т. 11, с. 89—93, 1976.
- 18. Гурвиц Б. Я., Сарибскян Г. А., Сомова Е. С., Галоян А. А. Докл. АН АрмССР, т. XVI, с. 220—225, 1978.
- Галоян А. А., Чифликян М. Д., Мурадян М. Ш., Едигарян А. К., Абрамян С. С. Нейрохимия, т. 5, № 1, с. 45—48, 1986.
- Парсаданян Г. К., Абелян Ж. Г., Галоян А. И. Докл. АН АрмССР, т. 66, с. 164— 167, 1978.
- 21. Срапионян Р. М., Саакян С. А., Абелян Ж. Г., Галоян А. А. Вопр. биохимин мозга, г. Ереван, Изд. АН АрмССР, т. 3, с. 36—42, 1976.
- 22. Галоян А. А., Алексанян С. С. Докл. АН АрмССР, т. 58, с. 183-186, 1974.
- 23. Бобрускин И. Д., Шайхин С. М., Муратова М. В., Баранова Л. А., Северин Е. С. Биохимия, т. 52, вып. 8, с. 1344—1352, 1987.
- Gopalakrishna R., Anderson W. B. Biochem, and Biophys. Res. Commun., v. 104 p. 830-836, 1982.
- 25. Laemm!y U. K. Nature, v. 227, p. 680-683, 1970.
- 26. Галоян Л. А. Вопр. биохимии мозга, т. 13, с. 9-38, 1978.
- 27. Thompson W. J., Appleman M. M. Biochemistry, v. 10 p. 311 316, 1971.
- 28. Cheung W. C., Lynch T. J., Wallance P. W. Adv. Cycl. Nact. Res., v. 9, p. 235-251, 1978.
- 29. Games S. L. FEBS Lett., v. 99, p. 39-42, 1979.
- 30. Gietzen K., Sador F. I., Bader H. Biochem J., v. 3, p. 541-518, 1982.

Поступила 28. Х. 1990

УДК 612.064-612.821.7

ВЛИЯНИЕ 2-ЭТИЛ-6-МЕТИЛ-3-ОКСИПИРИДИНА НА СОСТОЯНИЕ ПЕРЕКИСНОГО ОКИСЛЕНИЯ ЛИПИДОВ ГОЛОВНОГО МОЗГА И ЕГО НЕИРОФИЗИОЛОГИЧЕСКИЕ ЭФФЕКТЫ ПРИ НАРУШЕНИИ СНА

ТАРАНОВА Н. ІІ., НИЛОВА Н. С., *ВОРОНИНА Т. А., *НЕРОБКОВА Л. Н., *МАРКИНА Н. В.

Институт физиологии им. И. П. Павлова АН СССР, Ленинград *Научно-исследовательский институт фармакологии АМН СССР, Москва

Показано, что пренарат 2-этил-6-метил-3-оксиниридии в дозе 100 мг/кг, не вызывая каких-либо нейрофизиологических сдвигов, оказывал ингибирующее действие на активность процессов ПОЛ в синаптосомах головного мозга у контрольных крыс.

При лишении крые парадоксальной фазы сна в тезение 24 ч ингибирующее действие препарата на пероксидацию липидов значительно усиливалось, что коррелировало с пормализацией поведенческих и электрефизиологических сдвигов, вызванных нарушением сна. Предполагается, что антиоксидантный эффект 2-этил-6-метил-3-оксипиридина играет важную роль в реализации его антистрессорного действия и защитного эффекта при нарушении сна.

Фармакологически активные производные 3-оксиниридина (3-ОП) представляют собой новый класс психотропных веществ, обладающих широким спектром биологического действия [1, 2]. Механизмы действия 3-ОП еще недостаточно изучены. В модельных системах in vitro была показана антнокислительная активность 3-ОП но отношению к метил-олеату [1] и способность этих соединений реагировать со свободными радикалами [3]. Кроме того, продемонстрировано модулирующее и модифицирующее действие 3-ОП на биологические мембраны различных тканей [4—7]. По-видимому, именно с этими свойствами и связаны лечебные эффекты пренаратов группы 3-ОП. Эксперименты показали анксиолитическое, антистрессорное, противогипоксическое, седативное и антнамнестическое действие препаратов этой группы [8]. Однако прямых исследований действия 3-ОП на систему ПОЛ нервной ткани в условиях in vivo не имеется.

В связи с тем, что одним из основных эффектов 3-ОП является антистрессорное действие, целью настоящей работы было комплексное нейрофизиологическое и нейрохимическое исследование влияния одного из производных 3-ОП, а именно 2-метил-6-метил-3-оксипиридина (ЭМ-3-ОП) на ряд показателей ПОЛ головного мозга и функций ЦНС у крыс в норме и при нарушениях, вызванных лишением парадоксальной фазы сна (ПФС).

Задачей настоящего исследования было выявление возможной корреляции между влиянием ЭМ-3-ОП на систему ПОЛ и его поведенческими и нейрофизиологическими эффектами.

Материалы и методы

Опыты ставили на белых крысах-самцах линии Wistur массой 160—180 г. Лишения животных ПФС достигали путем помещения крыс на кубики, окруженные волой [9]. Фракцию сипантосом из коры больших полушарий получали методом Најоз [10]. В синаптосомах коры определяли содержание первичных (дненовые конъюгаты), вторичных (малоновый днальдегид—МДА, ТБК-активные продукты) и конечных (основания Шиффа) продуктов ПОЛ. Кроме того, в опытах in vitro изучали динамику неферментативного аскорбатзависимого индуцированного ПОЛ по приросту МДА. Детали всех использованных методик исследования ПОЛ описаны ранее [11, 12].

Параллельно проводили исследование нейрофизнологических эффектов препарата. В течение 5 ч в условиях свободного поведения животных проводили запись ЭЭГ и ЭМГ на электроэнцефалографе «Нейрограф-18» с последующей обработкой на нейрокомпьютере ВАS-161 («О.Т.Е. «Віотефіса», Италия), как описано ранее [13]. Обученче крыс проводили по методике условной реакции пассивного избегания (УРПП) [14]. Степень эмоциональности определяли по шкале, предложенной Вгафу, Nauta [15] и модифицированной Гарибовой и соавт. [16], суммируя число баллов по отдельным тестам. Орнентировочно-исследовательское поведение оценивали по тесту «открытого поля», суммируя количество отдельных показателей в течение 2 мин.

Эксперименты проводили на 4 группах животных: 1—контроль (без введения препарата и без депривации ПФС); 2-лишение ПФС в течение 24 ч; 3—введение препарата без депривации ПФС; 4—введение препарата и лишение ПФС в течение 24 ч.

Препарат ЭМ-3-ОП вводили внутрибрющинию (50 мг/кг) перед началом опыта и через 12 ч после помещения крыс на площадки. Животным, не подвергавшимся лишению ПФС (группа 3), препарат вводили по той же схемс. Контрольные животные (группа 1) и крысы, подвергнутые лишению ПФС без введения препарата (группа 2), получали диъекции физиологического раствора.

Результаты и обсуждение

Результаты опытов по влиянию ЭМ-3-ОП *in vivo* на содержание продуктов ПОЛ в синаптосомах коры в порме и на фоне лишения ПФС в течение 24 ч приведены в табл. 1. Введение препарата контрольным животным вызывало достоверное уменьшение содержания диеновых коньюгатов на 24% и оснований Шиффа на 23%. Угнетение процессов ПОЛ под влиянием пренарата свидетельствует об антиоксидантиом действии ЭМ-3-ОП на синаптические структуры нерв-

ной ткани in vivo и хорошо согласуется с данными, полученными на модельных системах и мембранных структурах in vitro [1, 3]. Депривация ПФС в течение 24 ч сама по себе также приводила к угнетению процессов ПОЛ в синантосомах на стадян образования дисповых конъюгатов (снижение содержания на 24%) и на стадим образования шиффовых оснований (уменьшение на 27%), что подтверждает аналогичные исследования, выполненные нами ранее [11].

Таблица 1 Содержание продуктов ПОЛ in vivo в синаптосомах коры головного мозга крые при лишении ПФС 24 ч на фоне введения 2-этил-6-метил-3-оксиниридина

irpit andientin 114C 24	ч на фоне	введения 2-9	тил-о-метил-а	-оксипиридина
Продукты ПОЛ	Контроль	Лишение ПФС 24 ч	Контроль-; препарат	Лишение Ф 24 ч⊰ пре арат
	1	2	3	4
Д еновые конъюгаты (им и липилов) ТБК-активные прода к ы пкм мс бел-ка) Основания Шиффа (усл. ед/мг липидов)	4,6±0,22 (10) 21 ±21 (9) 56,4±3,4 (10)	3,5±0.21* (9) 196±13 (9) 41,3±3.6* (9)	3,5±0.31* (11) 182±10 (9) 43.2±3, (* (10)	30,2+2.6 * (9)

Примечание. * —достоверно по отношению к ! (p<0.05), ** —достоверно по отношению к 2 (p<0.05). Здесь и в табл. 2, 3 в скобках—число опытов.

В условиях нарушения сна действие препарата на уровень ПОЛ в синаптосомах заметно усиливалось (табл. 1). Особенно это сказывается на содержании шиффовых оснований: дополнительное уменьшение концентрации этих соединений при лишении ПФС на фоне введения препарата по сравнению с влиянием одного нарушения сна составляет 27% и является достоверным. Тенденция к усилению эффектов ЭМ-3-ОП при лишении ПФС наблюдалась и для дненовых конъюгатов, но в этом случае дополнительное уменьшение содержания дненовых конъюгатов на 11% при совместном влиянии лишения ПФС и фармпрепарата было статистически недостоверно. Уменьшение содержания шиффовых оснований и дненовых конъюгатов при введении ЭМ-3-ОП на фоне лишения ПФС по сравнению с нитактным контролем составляет соответственно 46 и 33%.

Уменьшение уровия ПОЛ под влиянием ЭМ-3-ОП на фоне лишения ПФС является, по всей видимости, одним из механизмов антистрессорного действия препарата, так как по литературным дашным неустойчивость крыс к стрессу развивается в условиях дисбаланса уровия ПОЛ и антиоксидантной активности нервной ткани [17], а адаптация к стрессу сопровождается уменьшением уровия свободнорадикального окисления липидов в головном мозгу [18].

В параллельных опытах проводили исследование нейрофизиологических эффектов ЭМ-3-ОП. Показано, что введение препарата контрольным животным не влияло на степень эмоциональности крыс. Ли-

шение ПФС в течение 24 ч, а также введение ЭМ-3-ОП на фоне лишения ПФС тоже не меняли этот показатель.

Установлено, что введение ЭМ-3-ОП не влияет на поведение в открытом поле. Нарушение сна приводит к увеличению тревожности, то есть к усилению двигательной активности крыс, регистрируемой этим тестом. Введение ЭМ-3-ОП на фоне лишения ПФС нормализует двигательную активность крыс в открытом поле.

Интересные результаты были получены при изучении влияния ЭМ-3-ОП на фоне нарушения она на воспроизведение УРПИ, которую применяли как наиболее простую условно-рефлекторную модель, характеризующую способность животных к запоминанию и воспроизведению информации. Критерием этой способности является латентное время захода в темную камеру при воспроизведении реакции: до обучения крысы заходят в темный отсек практически сразу, чо после обучения при воспроизведении реакции (тестировании) время захода туда животных значительно увеличивается. Результаты экспериментов представлены в табл. 2. При тестировании введение

Влияние препарата 2-этил-6-метил-3-оксиниридина на латентное время захода крыс в темный отсек при выработке условной реакции пассивного избегания (УРПИ)

Воспроизведение	Контроль	Лишенце ПФС 24 ч	Контроль препарат	Лишение ПФС 24 ч-+ пренарат
УіПИ	1	2	3	4
Латентное время за- хода в темный от- сек при воспроиз- ведении УРПИ, с	57.7±9.1 (10)	4,4±1,5° (10)	71.5±8,6 (10)	67,5±7.4 (10)

Примечание. "-достоверно по отношению к 1 (р<0,05).

ЭМ-3-ОП контрольным животным не изменяло латентное время захода в темный отсек по сравнению с виварным контролем. Лишение ПФС в течение 24 ч заметно и достоверно синжало латентное время захода, что свидетельствует об амнезии, вызванной нарушением сна. Введение ЭМ-3-ОП животным, подвергнутым лишению ПФС, возвращает латентное время захода до уровия виварного контроля. Таким образом, эти результаты демонстрируют сильное антиамнестическое действие препарата ЭМ-3-ОП, сравнимое с эффектом поотронов [14]. Можно предположить, что ЭМ-3-ОП по механизму действия близок к ноотропам, но в то же время отличается от классического антистрессорного препарата—транквилизатора феназепама, который не устранял амнезию, вызванную депривацией ПФС [14].

Анализ спектров электрической активности сенсомоторной коры и дорзального гиппокампа показал угнетение гиппокампального тетаритма в особенности его фазического компонента при лишении крыс ПФС. Введение ЭМ-3-ОП крысам, подвергнутым лишению ПФС,

вызывало синхронизацию тета-ритма, который регистрируется не только в гиппокампограммах, но и в кортикограммах, с выраженностью обоих его компонентов. Синхронизация ЭЭГ в дианазоне тетаритма под влиянием ЭМ-3-ОП отражает, по-видимому, возникновение новых возможностей для образования и упрочения условных связей. Полобные эффекты ЭМ-3-ОП на поведенческие и электрофизиологические показатели в норме и при лишении ПФС четко воспроизводятся независимо от времени года и популяции животных [13].

Отмеченное нами антистрессорное и антноксидантное действие ЭМ-3-ОП связано, по-видимому, с мембранотропным эффектом препарата, т. е. с его способностью взаимодействовать с синаптическими мембранами и вызывать их конформационные перестройки. Определенное подтверждение этому было получено в опытах in vitro при исследовании влияния препарата на индуцированное аскорбатзависимое ПОЛ в синаптосомах пормальных и лишенных ПФС крыс.

Результаты исследования динамики индуцированного аскорбатзависимого ПОЛ в синаптосомах коры через 24 ч после введения пренарата, а также влияние лишения ПФС на этот процесс показаны в табл. 3. Из результатов следует, что само по себе введение препа-

Таблица З Динамика аскорбатзависимого неферментативного индуцированного ПОЛ спизитосом коры головного мозга крыс при введении животным 2-этил-6-метил-3-оксипиридина на фоне лишения ПФС в течение 24 ч по приросту МДА в им/мг белка

Время	Контрэ. ь	Лишение ПФС 24 ч	Контроль + препарат	Лишение ПФС 4 21 ч+препарат	
никубации	1	2	3	4	
5 мин	4,5±0,38	4,6±0,28	4,5±0,39 (13)	4,8±0.28	
10 мин	6.5+0.34	6.1 ± 0.37	7,0+0,50	7,2+0,44	
15 мин	7.1+0.32	7,7±0.44	8,0+0,53	8.3+0.47*	
20 мин	9 2+0,42	9.6+0,53	10,5+0,81	11.1±0,72***	

Цифры в скобках—число опытов; *—достоверно по отношению к 1 (p<0,05). **—достоверно по отношению к 2 (p<0,05).

рата или лишение ПФС не влияло на прирост МДА при индукции ПОЛ за 5, 10, 15 и 20 мин инкубации. Наблюдали лишь тепденцию к усилению индуцированного ПОЛ при лишении крыс ПФС, а также в группе контрольных животных, получивших препарат. Однако введение ЭМ-3-ОП крысам, подвергнутым нарушению спа, приводило к активации процессов неферментативного индуцированного ПОЛ в конце инкубации проб—через 15 и 20 мин. Увеличение прироста МДА по отношению к контролю—крысам, содержавшимся в обычных клетках и не получавших препарат, составляло 17 и 24% и было статистически достоверно. Несколько меньшую активацию индуцированного

 $in\ vitro\ \PiOJI\$ наблюдали у крыс, подвергнутых лишению ПФС и подучавших препарат по сравнению с крысами, лишенными ПФС и не получивших предварительно ЭМ-3-ОП. Однако и здесь в конце инкубации проб $in\ vitro\$ (через 20 мин) увеличение прироста МДА в присутствии препарата составляло 19% и было статистически достоверно (p=0,05).

Таким образом, в отличие от опытов ін vivo, где введение препарата на фоне лишения ПФС вызывало дополнительное ингибирование уровня ПОЛ, в опытах in vitro мы наблюдали активацию процессов ПОЛ в синантосомах из коры головного мозга крыс, получивших ЭМ-3-ОП и подвергнутых лишению ПФС, по сравнению с виварным контролем, а также с крысами, лишенными ПФС и не получившими препарат. Вероятно, условия реализации процессов свободнорадикального окисления в условиях in vivo и in vitro могут отличаться. Следует помнить, что при индукции in vitro процессы ПОЛ могут происходить в условиях нарушения естественного контроля со стороны антноксидантной системы и поэтому липиды-субстраты ПОЛ могут окисляться с другой скоростью. Возможно, что одной из точек приложения действия фармирепарата in vivo является не только взаимодействие со свободными радикалами, но также активация системы ферментов антиоксидантной защиты, приводящая к дополнительному угнетению ПОЛ в нервной ткани при лишении животных ПФС в течение 24 ч. Сохранение быстро окисляемых липидов в результате ингибирования ПОЛ іп віво может также приводить к более активному их использованию при индукции ПОЛ in vitro.

Вместе с тем активация процессов индуцированного ПОЛ под влиянием препарата в опытах *in vitro* свидетельствует о том, что предварительное введение препарата способствует лучшему сохранению структуры и свойств синаптических мембран при длительных сроках инкубации *in vitro* в присутствии индуктора, а также к изменению геометрии центров радыкалообразования при индукции процессов ПОЛ и увеличению прироста МДА в индуцированном *in vitro* процессе ПОЛ. Особенно чувствительными к действию препарата оказываются синаптосомы из головного мозга крыс, лишенных ПФС, возможно потому, что лишение ПФС само по себе вызывает функционально-структурные сдвиги синаптических мембран [19, 20]. Мы полагаем, что эти результаты по влиянию предварительного введения препарата ЭМ-3-ОП на уровень ПОЛ свидетельствуют о мембранотропном действии этого препарата на мембранные структуры нервной ткани.

Таким образом, в настоящем исследовании установлено антноксидантное действие препарата ЭМ-3-ОП и показано, что облегчение перенесения последствий нарушения сна и пормализация нейрофизиологических функций в присутствии ЭМ-3-ОП коррелирует с еще более глубоким ингибированием уровия ПОЛ в оннаптосомах мозга in vivo. В основе ингибирования процессов ПОЛ, по-видимому, могут чежать не только антноксидантные свойства препарата, но и возможность активации им ферментов антиоксидантной защиты, а также способность ЭМ-3-ОП связываться биологическими мембранами и вызывать их структурно-функциональные перестройки.

Следует отметить, что влияние производных 3-ОП на процессы ПОЛ не является единственной точкой приложения их действия. Множественность эффектов препаратов и сложность картины их физиологического влияния на ЦНС требуют дальнейшего многостороннего исследования нейрохимических механизмов действия препаратов этоготипа.

THE EFFECT OF 2-ETHYL-6-METHYL-3-HYDROXYPYRIDINE ON LIPID PEROXIDATION IN BRAIN AND ITS NEUROPHYSIOLOGICAL EFFECTS UNDER REM-SLEEP DEPRIVATION

TARANOVA N. P., NI'.OVA N. S., VORONINA T. A., NEROBKOVA L. N., MARKINA N. V.

Parloy Institute of Physiology, USSR Academy of Sciences, Leningrad and Research Institute of Pharmacology, USSR Academy of Medical Sciences, Moscow

Antistressor drug 2-ethyl-6-methyl-3-hydroxypyridine inhibits lipid peroxidation in synaptosomes of control rats at a dose of 100 mg/kg. However, there was no change in electrophysiological characteristics of brain. Owing to the fact that this drug might normalize the behavioral and electrophysiological disturbances induced by REM-sleep deprivation, we propose that the antioxidant action of 2-ethyl-6-methyl-3-hydroxypiridine plays an important role in realization of the antistress protective effect under sleep deprivation.

ЛИТЕРАТУРА

- 1. Смирнов Л. Д., Дюмаев К. М. Хим.-фарман. журн., т. 16, с. 412-428, 1982.
- 2. Дюмаев К. М., Воронина Т. А., Смирнов Л. Д., Вальдман А. В. Вест. АМН СССР. № 11, с. 3—7, 1984.
- 3. Михаджинова Д. Р., Кузьмин В. И., Смирнов Л. Д., Шарпатый В. А. Изв. АН СССР, серня химич., № 10, с. 2216—2218, 1981.
- 4. Меерсон Ф. З., Павлова В. В. Вопр. мед. химии, т. 26, с. 827-831, 1980.
- 5. Вурлакова Е. Б., Кайране Ч. Б., Молочкина Е. М., Хохлов Л. П. Вопр. мед. хнмин, т. 30, с. 66—72, 1984.
- 6. Смирнов Л. Д., Дюмаев К. М. Вест. АМН СССР, № 11, с. 89-94, 1984.
- 7. Жердев В. П., Сариев Е. К., Дворянинов А. А., Воронини Т. А., Смирнов Л. Д. Бюл. эксперим. биол. и мед., т. 101. с. 325—326, 1986.
- 8. Вальджан А. В., Воронина Т. А., Смирнов Л. Д., Дюмаев К. М. Бюл. эксперим. биол. и мед., т. 99, с. 60—62, 1985.
- Jouvet D., Vimont P., Delorme F., Jouvet M. C. R. Sor. biol., v. 158, p. 756

 759, 1964.
- 10. Hajos F. Brain. Res., v. 93, p. 485-489, 1975.
- 11. Таранова Н. П., Нилова Н. С. Физнол. журп., т. 72, с. 1065-1069, 1986.
- 12. Таранова Н. П., Нилова Н. С. Нейрохимия, т. 7, с. 259-263, 1988.

- Соколова Н. Е., Таранова Н. П., Воронина Т. А., Неробкова Л. Н., Маркина Н., В. Нейрохимия, т. 7, с. 483—492, 1988.
- Маркина И. В., Неробкова Л. Н., Воронина Т. А. Журн. ВНД, т. 36, с. 963—967, 1986.
- 15. Brady J. V., Nanta W. J. J. Compar. and Physoil. Psychol., v. 6, p. 336, 1953.
- Гарибова Т. Л., Рожанец В. В., Рахманкулова И. Х., Вороник К. Э., Цонева-Тютюнкова Н., Стефанова Д., Тимофесва С. Э., Вальдман А. В. Медико-биологическая виформация, Болгария, № 4, с. 8, 1985.
- 17. Гуляева Н. В., Хоничева Н. М., Обидин А. Б. Нейрохимия, т. 6, с. 259—262, 1987
- 18. Айрапетянц М. Г., Гулясва Н. В. Вест. АМН СССР, № 11, с. 49-55, 1988.
- 19. Демин И. И. Нейрохимия, т. 1, с. 20-27, 1982.
- 20. Нилова Н. С. Цитология, т. 26, с. 1396-1400, 1984.

Поступила 26. ХІ, 1989:

УДК 612.8.015+616.988.2

ННТЕНСИВНОСТЬ МЕТАБОЛИЗМА ОБЩИХ ЛИПИДОВ, ГАЛАКТОЦЕРЕБРОЗИДОВ И СУЛЬФОЦЕРЕБРОЗИДОВ ГОЛОВНОГО МОЗГА ПРИ ОСТРОМ И ХРОНИЧЕСКОМ ЈИМ КОРОНАВИРУСНОМ ЭНЦЕФАЛОМИЕЛИТЕ У МЫШЕЙ

АННАНЕПЕСОВ Х. Н., ЧАЕВА Л. С., КОНОВАЛОВ Г. В., МАПОРОВА Л. П.

Туркменский государственный медицинский институт, Ашхабад, лаборатория бнохимии первной системы и обмена веществ ЛГУ Институт экспериментальной медицины, Ленинград

Изучена интенсивность метаболизма общих липидов, галактоцереброзидов и сульфоцереброзидов головного мозга при остром и хропическом ЈНМ коронавирусном энцефаломиелите у мышей. В острой стадии заболевания обнаружены существенные нарушения метаболизма общих липидов и гликолипидов, выразившиеся в уменьшении их содержания на 15% и в резком свижении включения радноактивного предшественника 2 [14C] ацетата как в общие липиды (в 10 раз), так и в цереброзиды и сульфоцереброзиды (на 55—68%). При хроническом энцефаломиелите не выявлено изменения содержания указанных липидов, однако интенсивность включения радноактивного предшественника в цереброзиды с пормальными жирными кислотами снижена на 65%, а в сульфоцереброзиды—на 20%.

В последние годы вновь обсуждается возможная роль вирусов в этиопатогенезе рассеянного склероза и ряде других медленно прогрессирующих демненилизирующих заболеваний НС [1]. Одной из удачных экспериментальных моделей демиелинизирующего процесса вирусной природы является энцефаломиелит, вызываемый ЈНМ штаммом коронавирусов. Последний позволяет воспроизвести острую, подострую и хроническую форму вирусной демиелинизации [2]. В работах Коновалова и соавт., детально изучена неврологическая симптоматика, проведены вирусологические и морфологические исследования, характеризующие различные стадии развития демиелинизирующего поражения [3]. Показано, что при острой вирусной инфекции лемиелинизация возникает как результат функциональной недостаточности преимущественно глиальных клеток. В хронической стадии заболевания наблюдалось периодическое обострение патологического процесса с последующими ремиссиями [4].

Ранее было изучено содержание фосфолипидов, цереброзидов и сульфоцереброзидов НС при остром ЈНМ энцефаломиелите [5]. Однако данные по изменению количества изучаемых липидов еще не могут дать ответа о нарушении их метаболизма под влиянием экспе-

риментальной демислинизации. В этом отношении больное значение имеют исследования, проводимые с использованием радиоактивного предшественника, позволяющие определить интенсивность включения радиоактивной метки. Таким образом, особенности обмена липидов ЦПС при коронавирусной демиелинизации практически не исследованы.

Нзучение влияния JHM коронавирусов на метаболизм липидов первной ткани представляет и самостоятельный интерес. Известно [6], что различные вирусы имеют характерную биохимию внутриклеточного паразитирования, определяющую особенности взаимодействия вируса и клетки-хозяния.

В настоящей работе исследовано содержание и интенсивность обмена общих липидов, цереброзидов и сульфоцереброзидов в ЦНС при остром и хроническом энцефаломиелите с помощью радиоактивного 2 Г¹⁴С] ацетата.

Материалы и методы

В работе использовали мышей линии СЗН, зараженных интрацеребрально в возрасте 4-х недель ЈНМ штаммом коронавируса мышиного гепатита. Это приводило к развитию хренического рецидивирующего заболевания энцефаломиелита, в котором на основании клиникоморфологических данных выделен острый период (5—13-ый день после заражения), полострая стадия (14—30-й день после инфицирования) и хроническая стадия (4—5 месяцев после заражения). Острый период заболевания сопровождался парезами и развитием спастических судорог. У мышей с хронической формой вирусной демиелинизации отчетливых певрологических симптомов не проявлялось.

В экспериментах непользовали животных, находящихся в остром периоде заболевания, возраст которых к моменту постановки оныта составлял 5 недель и животных в хронической стадии заболевания в возрасте 5 месяцев. За 1 ч до забоя животным подкожно вводили 2 [14C] ацетат из расчета 30 мкКи на 100 г массы тела. Экстракцию липидов из ткачи мозга, их количественное определение и измерение радиоактивности проводили по ранее описанным методикам [7].

Результаты и обсуждение

Как видно из результатов опытов (табл. 1), в головном мозгу мышей при остром ЈНМ коронавирусном энцефаломиелите отмечается небольшое, по сравнению с контролем, снижение содержания общих липидов—на 11,2%. Содержание цереброзидов с оксикислотами снизилось на 15%, а цереброзидов с нормальными жирными кислотами изменилось менее существенно, на 7,7% и оказалось статистически недостоверным (р > 0,05). Количество сульфоцереброзидов при острой форме энцефаломиелита оказалось сниженным на 15,6%. Однако существенного перераспределения процентного соотношения фракций

гликолицидов не выявлено. Как следует из данных, представленных в табл. 2, при хроническом ЈНМ-энцефаломиелите не установлено статистически достоверных изменений содержания как общих липилов, так и фракций цереброзидов и сульфонереброзилов. Во всех случаях р>0,05.

Таблица 1 Содержание и удельная радиоактивность общих линидов, галактопереброзадов и сульфоцереброзидов головного мозга мышей линии СЗН в порме и при остром ЈНМ-энцефаломислите (М±т, n=6)

-	мг г влажной ткани		Удельная развоактив- ность ими мин мг	
Липпды.	контроль	опефэдне типоним	контроль	эн ефало- миелит
бщие ли чды	35,40±0,91	49,20+2,24	386±:0	3±3°
Цереброзиды с окси- кислотам і Цереброзиды с пір-	5,74±0,28	4,87+0,33*	154±13	(9±9°
мальными жирными кислотами Сульфоцероброзиды	4,15±0,12 4,41±0,04	3,83±0.17* 1.19±0.05	182±18 129±9	58十141 46十6°

Примечание, Здесь и в табл. 2 звездочкой отмечены статистически достоверные различия по сравнению с контролем (p < 0.05 - 0.001).

Непользование 2 [14С] ацетата позволило проследить интенсивность включения радиоактивного преднественника в общие линиды и исследуемые гликосфинголипиды мозга в порме и при коронавирусном энцефаломиелите. Результаты экспериментов (табл. 1) свидетельствуют о том, что при острой форме энцефаломиелита обнаруживаются резко выраженные изменения этого показателя (табл. 1). Так. удельная радиоактивность общих линидов головного мозга при ЈНМ энцефаломиелите по сравнению с контрольными данными в 10 раз снижена. Величины УР цереброзидов с оксикислотами у больных животных понижены на 55,2%, а цереброзидов с пормальными жирными кислотами—на 68,2% по сравнению с контролем. При этом установлено также резко выраженное снижение включения радиоактивной метки и в сульфоцереброзиды головного мозга мышей на 64,4%.

В отличие от острой формы, при хропическом ЈНМ энцефаломислите получены давные (табл. 2), позволяющие говорить о менес существенном нарушении включения 2 [¹⁴C] ацетата в липиды головного мозга мышей. В этих условиях величина УР общих липидов увеличилась на 17,5% от контрольной величины. В то же время УР цереброзидов с оксикислотами не изменилась, однако существенно снизилось включение радиоактивного предшественника в цереброзиды с нормальными жирными кислотами и в сульфоцереброзиды.

Об общем уровне радиоактивности предшественников в головном мозгу можно судить по УР гомогената ткани. В опытах с острой формой энцефаломиелита УР гомогената мозговой ткани возросла с

764 имп/мип/мг до 1018 имп/мип мг в расчете на сухой вес ткани, то есть в 1,5 раза. Тем не менее, несмотря на значительное возрастание УР гомогената, полученные данные указывают на резкое снижение включения [14C] ацетата в общие липиды и гликолипилы. Последнее с учетом синжения содержания цереброзидов и сульфоцереброзидов может служить доказательством угнетения их синтеза при остром энцефаломиелите. При хроническом ЈНМ-энцефаломиелите УР гомогената мозговой ткани не отличалась от контрольной величины (соот-

Содержание и удельная радиоактивность общих липидов, галактоцереброзидов и сульфоцереброзидов головного мозга мышей липии СЗН в порме и при хропическом коронавирусном энцефаломиелите (М±m, n=6)

Липиды	мг/г влаж	удельная рад о ность имп мы		
	контрель	энцефало- миелит	контроль	энцефало мнел іт
Общие липиды 11-реброзиды с окси-	63.91±0,63	72,60±7,42	189-1-3	2221-11*
кислотами Цереброзиды с пор- мальными жирными	10,24+0,34	11,65+0.45	18+?	17+1
кислотами С ульфоцереброзиды	5.11±0.17 1.34±0.23	4,97±0,21 1,48±0,14	59±6 80±4	20+3° 64+2°

ветственно 506 и 535 имп/мик/мг). Как показано выше, и в этих условиях отмечалось отчетливое снижение включения радиоактивной метки в цереброзиды с пормальными жирными кислотами и в сульфоцереброзиды, однако они были менее существенны, чем при острой форме заболевания.

Обнаруженное нами нарушение метаболизма гликолинидов при острой форме энцефаломиелита коррелирует с изученной при этом морфолорической картиной. А именно, отечественными и зарубежными исследователями [2, 10] показано, что при острой форме ЈНМ энцефаломиелита происходит демиелинизация нервных волокон, репликация коронавирусов в глиальных клетках и избирательное поражение олиголендроцитов. Последние участвуют в мнелиногенезе и синтезе переброзидов [11]. Исследование влияния разных липидсодержащих вирусов на обмен фосфорил-холина, предшественника фосфолипидов, в клетках куриного эмбриона и клетках почек детельша хомячка выявило специфические особенности действия вирусов на снитез лилидов [6]. В связи с этим следует подчеркнуть, что коронавирусы также относятся к липидсодержащим вирусам [8]. В то время как белки клетки-хозянна не включаются в вирусы, липиды мембран вирусов происходят целиком от клетки-хозянна [9]. Они практически содержат те же классы липидов, но соотношение их может быть различным у одних и тех же вирусов, культивируемых в разных клетках. При остром ЈНМ энцефаломиелите показано также накопление в

нервной ткани продуктов перекисного окисления липидов, повреждающих биологические мембраны [12].

Морфологическая картина при хропическом энцефаломиелите у крысят через 1,5-12 месяцев после заражения их вирусом характеризуется преимущественной локализацией процесса в белом веществе при полной сохранности нейронов и их аксонов [10]. Для хронического коронавирусного энцефаломиелита характерны деструктивные изменения олигодендроцитов и астроцитов, сопровождающиеся глиозными разрастаниями, приводящими к образованию непроглиальных «склеротических» бляшек. Если при остром ЈНМ зицефаломиелите с помощью методов электронной микроскопии и аммунофлуоресценции в олигодендроцитах постоянно обнаруживаются вирионы (их антитела), а вирусологически из различных отделов ЦНС удается выделить вирус, то при хронической стадин процесса выявить вирусы пикогда не удается [10, 13]. Интимные вопросы патогенеза хронической вирусной демнелинизации во многом неясны, по не вызывает сомнения иммунопатологических механизмов-гиперчувствительности замедленного типа, против измененных вирусом антигенов мембран нервной ткани, а также гуморального ответа (антитела). Известно. что гликолипиды являются наиболее иммуногенными из липидов, а антисыворотка против галактоцереброзидов вызывает демиелинизацию [14].

Создание экспериментальных моделей демиелинизации является одним из возможных подхолов к изучению демиелинизирующих поражений ЦНС. Так, в работах Тарановой и соавт, всестороние исследовался метаболизм липидов НС [15, 16] при экспериментальном автергическом энцефаломиелите. Показано резкое угистение всех классов липидов как в спинном, так и в головном мозгу, что свидетельствовало о генерализованном характере нарушений обмена липидов в ЦНС при аллергическом энцефаломиелите. При другой экспериментальной модели демиелинизирующего заболевания—хронической гиперфенилаланииемии выявлено уменьшение содержалия цереброзидов и сульфоцереброзидов, а также резкое спижение интенсивности метаболизма этих гликолипидов [7]. Влияние впрусной демпелинизации на метаболизм липидов нервной системы в литературе не освещено.

Полученные нами данные о существенном снижении интенсивности метаболизма важнейших миелиновых липидов цереброзидов и сульфоцереброзидов в головном мозгу мышей при остром ЈНМ энцефаломиелите, скорее всего, связаны с нарушением функции олигодендроцитов в связи с непосредственным повреждением их коронавирусом, что, в свою очередь, приводит к распаду миелина. При хроническом ЈНМ энцефаломиелите обнаружено менее резкое изменение (за исключением цереброзидов с пормальными жирными кислотами) интенсивности метаболизма липидов. Эти данные, а также отсутствие изменений в содержании гликолипидов указывают на длительную относительную компенсированность процесса. Последнее, по-видимому, происхо-

дит за счет развития процесса ремиелинизации, что отчетливо прослеживается морфологически.

В заключение следует указать, что представленные нами результаты находятся в соответствии с данными о нарушении обмена липидов при других моделях демиелинизирующих поражений, что свидетельствует в пользу положения о едином неспецифическом механизме развития демиелинизации, независимо от природы патогенного фактора.

THE INTENSITY OF TOTAL LIPID, GALACTOCEREBROSIDE AND SULFOCERE ROSIDE METABOLISM IN THE BRAIN OF MICE WITH JHM-CORONAVIRUS INDUCED ACUTE AND CHRONIC ENCEPHALOMYELITIS

ANNANEPESOV Kh. A., CHAYEVA L. S., KONOVALOV G. V., MAJOROVA L. P.

The Turkmentan State Medical Institute, Ashkhabad, USSR
*The Laboratory of Biothemistry of nervous system and metabolism,
Leningrad State University, Leningrad, USSR
**The Institute of experimental medicine, the Academy of Medical Sciences
of the USSR, Leningrad

The intensity of total lipid, galactocerebroside and sulfocerebroside metabolism in the brain of mice with acute and chronic encephalomyelitis induced by JHM-coronaviruses was studied.

It was shown the insignificant decrease of total lipid content (by 11,2%) in the brain of animals with acute encephalomyelitis. The specific radioactivity of total lipids in infected animals was lower than in control by 10 times. The incorporation of 214C-acetate in the cerebrosides with hydroxy and with normal fatty acids in the brain of damaged animals was decreased by 55,2% and 68,2%, respectively. It was also found the sharp decrease (by 64,4%) of label incorporation in the infected mice brain sulfocerebrosides.

Content of lipids and glycollpids did not change in the brain of mice with chronic encephalomyelltis. Nevertheless the incorporation of 2¹⁴C-acetate in cerebrosides with normal fatty acids and sulfocerebrosides is decreased by 65 and 20%, respectively.

ЛИТЕРАТУРА

- 1. Cook S. D., Dowling P. C. Neurology, 30, 7, part 2, p. 80-91, 1980.
- Коновалов Г. В., Майорова Л. П. Жури. невропатол. и психнатрии, т. 12, с. 24— 27, 1982.
- 3. Майорова Л. П., Коновалов Г. В., Огурцов Р. П., Смородинцев Л. С. Вопр. вирусол., № 6, с. 1263—1269, 1986.
- Коновалов Г. В. В ки.: «Ультраструктурная патология пейровирусных инфекций», Наука, Новосибирск, с. 64—71, 1984.
- Анканепесов Х. А., Левитина М. В., Сереценко Е. В. Бюл. эксперим. биол. и мед. № 1, с. 33—34, 1985.

1-150

- 6. Caric-Lazar M., Schwarz R., Scholtisser Ch. Eur. J. Biochem., v. 91, p. 51-61, 1978.
- 7. Чаева Л. С. Вопр. мед. химии, т. 29, в. 6, с. 51—54, 1983.
- Закстельская Л. О., Шеболдов А. В Кн.: «Коронавирусы человека и животных»,
 М., Медицина, с. 22—54, 1977.
- 9. Klenk H. D.-In: Biological membranes, L. Acad. Press, p. 145-183, 1973.
- Nagashima K., Wege H., V. ter Meu'en.—In: Myelination and demyelination. (cd. J. Palo) Plenum press, N. York, London, p. 395—409, 1978.
- 11. Chao-Se-Wan. Blochem. Soc. Tians., v. 8, p. 604-605. 1980.
- Аннаненесов X, А., Горбуков Н. В., Тюрин В. А. Докл. АН СССР, т. 234, № 5, с. 1242—1244, 1984.
- Weiner L. P., Johnson R. T., Herdon R. M. Arch, Neurology, v. 28, p. 298
 – 303, 1973
- 14. Saida T., Saida K., Sielberg D. H. Acta Neuropath (Berlin), 48, p. 19-25 1979,
- 15. Таранова Н. П., Кациельсов И. П. Вопр. мед. химин, т. 22, № 1, с. 108—112, 1976.
- Таранова Н. П. Ки.: «Липиды центральной нервцой системы при повреждающих воздействиях», Л., «Наука».

Поступила 13. VII. 1990

КРАТКИЕ СООБЩЕНИЯ

УДК 577.122.3

СОДЕРЖАНИЕ ПОЛИАМИНОВ В ГОЛОВНОМ МОЗГУ КРОЛИКОВ В ДИНАМИКЕ ЭКСПЕРИМЕНТАЛЬНОЙ ЛЕГКОЙ ЧЕРЕПНО-МОЗГОВОЙ ТРАВМЫ

ВАСИЛЬЕВА И. Г., ЧОПИК Н. Г., КОПЬЕВ О. В., ВАСИЛЬЕВ А. Н.

Киевский паучно-исследовательский институт нейрохирургии Киевский государственный университет

Полнамины играют существенную роль в метаболизме клетки, что связано с их способностью модифицировать третичную структуру макромолекул, изменяя таким образом их функциональную активность [1—3]. В настоящее время установлено, что различные проявления клеточной активности сопровождаются изменением общего содержания и соотношения ди- и полнаминов—путресцина, спермилина и спермина [4, 5]. Флуктуации изменения содержания полнаминов сопровождают изменения ДНК-полимеразной, матричной активности, белоксинтезирующей способности клеток [4, 5]. Показано, что полнамины участвуют в адаптационных реакциях клеток на экстремальные воздействия [6—9].

Легкая черепно-мозговая травма, как установлено в последнее время [10], глубоко затрагивает процессы саморегуляции метаболизма нервной ткани, необратимо изменяя эффективность синаптической передачи и трансмембранных взаимодействий [11, 12], что в конечном итоге приводит к напряжению компенсаторных и адаптивных систем, а в ряде случаев к их срыву.

В этой связи изучение содержания полиаминов в ткани головного мозга в динамике экспериментальной легкой черепно-мозговой травмы (ЭЛ ЧМТ) как факторов, отражающих метаболическую активность клеток, влияющих на взаимодействие макромолекул, участвующих в синаптической передаче [13, 14], представляет значительный интерес.

Эксперимент проведен на 42 животных. Для стандартизации условий эксперимента в опыт брали кроликов-самцов породы серый великан массой 2—2,5 кг. Животных содержали на стандартном рационе вивария. Дозированную легкую черепно-мозговую травму наносили, как описано ранее [10].

Содержание путресцина, спермидина, спермина определяли метолом ТСХ [15].

На рис. 1 представлены данные по определению содержания полиаминов в ткани полушарий головного мозга кроликов в динамике ЭЛ ЧМТ. Как видно из представленных дажных, в начельном посттравматическом периоде (15 мин, 2 ч) суммарное содержание помнаминов увеличивается по сравнению с контролем на 40%. К первым суткам после напесения травмы суммарное содержание полнаминов возвращается к физислогической порме и в последующие сроки после травмы не отличается от значения, полученного в контроле. Анализ динамики солержания путресцина, спермилына и спермина, а также

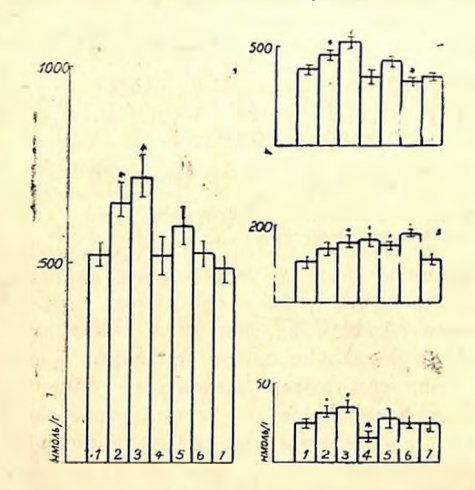


Рис. 1. Содержание полнаминов в ткани нолушарий головного мозга кроликов в динамике ЭЛ ЧМТ: а—суммарное содержание полнаминов, б—содержание путресцина, в—содержание спермидина, г—содержание спермидина, г—содержание спермидина, г, г, г, б, б, г, контроль, 15 мин, 2 ч, 1 сутки, 3 суток, 7 суток, 14 суток соответственно, *p<0.05

их относительного содержания указывает на то, что в посттравматическом периоде происходит перераспределение их относительного содержания к первым суткам после травмы в сторону увеличения содержания спермидина; то же наблюдается и в последующие сроки (3, 7 суток). К 14 суткам после нанесения ЭЛ ЧМТ в полушариях головного мозга кроликов наблюдается восстановление как общего, так и относительного содержания (рис. 1, а—г).

Полученные данные позволяют предполагать, что в ткани полушарий в динамике ЭЛ ЧМТ не происходит глубоких изменений в биосинтезе макромолекул. Повышение общего содержания полнаминов в начальном периоде после травмы может быть вызвано развитием ишемии [8], а также реализацией сенсорного сигнала [13, 14], который сопровождает травму.

На рис. 2 представлены данные, полученные при исследовании содержания полнаминов в ткани диэнцефально-стволового отдела (ДСО) головного мозга кроликов в динамике ЭЛ ЧМТ. Полученные результаты свидетельствуют об иной по сравнению с полушариями динамике изменения суммарного содержания полнаминов в посттравматическом периоде. Повышение общего содержания полнаминов в начальном периоде (15 мин, 2 ч), по всей вероятности, объясняется теми же причинами, что и повышение содержания полнаминов в полушариях. В первые сутки после травмы наблюдается снижение общего содержания полнаминов, в последующие сроки (7, 14 суток) происходит нарастание их суммарного содержания.

По иному в динамике травмы в ткани ДСО изменяется и содержание каждого из исследованных соединений (рис. 2, а—г). В полушариях через 3, 7 суток общее содержание полнаминов пормализуется, а относительное содержание перераспределяется в пользу увеличения содержания спермидина и спермина, что может расцениваться как отражение интенсификации биосинтеза макромолекул. В ткани ДСО в эти же сроки наблюдается снижение содержания спермидина в 6 раз, а спермина в 2 раза. Снижение содержания полнаминов, как

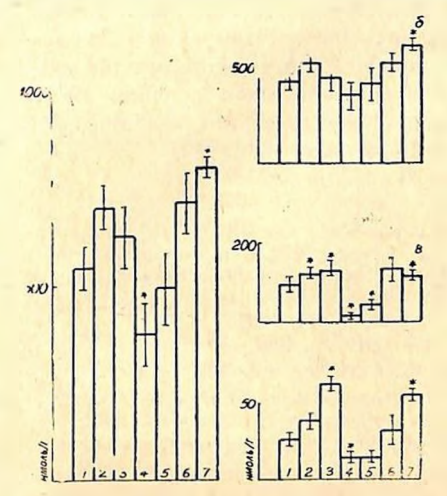


Рис. 2. Содержание полнаминов вткани диэнцефально-стволового отдела головного мозга кроликов вдинамике экспериментальной счегкой черепно-мозговой травмы: а—содержание полнаминов, б—содержание путресцина, в—содержание спермидина, г—содержание спермина, 1, 2, 3, 4, 5, 6, 7—контроль, 15 мин, 2 ч. 1 сутки, 3 суток, 7 суток 14 суток соответственно, *p<0,05.

свидетельствуют данные литературы, сопровождается угнетением репликации ДПК и биосинтеза белка [2, 4]. Увеличение в отдаленные сроки после травмы (14 суток) в ткани ДСО суммарного содержания полнаминов может отражать интенсификацию биосинтеза макромолекул.

Таким образом, проведенные исследовамия позволяют сделать следующие заключения: динамика изменений содержания полнаминов в ткани полушарий и в ДСО головного мозга кроликов в посттравматическом периоде имеет отличия ,свидетельствующие о более глубоких изменениях в содержании полнаминов в ДСО мозга; в ткани ДСО обнаружена фаза угнетения биосинтеза (полнаминов; в ткани ДСО мозга, в отличие от ткани полушарий, в отдаленные сроки после травмы наблюдается повышенное содержание (полнаминов,

Полученные результаты являются экспериментальным подтверждением представлений о длительных посттравматических нарушениях функционирования систем саморегуляции метаболизма нервной ткаши на уровне бносинтеза молекул регуляторов метаболической активности клеток.

POLYAMINE CONTENT OF THE RABBIT BRAIN AFTER MILD EXPERIMENTAL CEREBRAL TRAUMA

VASIL'EVA I. G., CHOPIK N. G., KOP'EV O. V., VASIL'EV A. N.

Research Institute of Neurosurgery, Kiev Kieve State University

Diamine and polyamine content in cerebral hemispheres (CH) and diencephalic stem (DES) of rabbits with experimental mild cerebral trauma was studied. At day 14 after the trauma diamine and polyamine levels in CH showed no significant differences from the control values. At the same time, the content of diamines and polyamines in DES was 1,5 times higher than in the control animals. These results provide evidence that cerebral trauma affects mechanisms involved in neural tissue self-regulation at the level of synthesis of the molecules regulating cell metabolic activity. In this respect DES is more vulnerable to cerebral trauma than CH.

ЛИТЕРАТУРА

- Кулцов В. Ю., Слоницкий С. В. Влияние полнаминов на объемные эффекты в молекуле двуспиральной ДНК. Симпозиум «Физико-химические свойства биополимеров в растворе и клетках», Пущино, с. 141, 1985.
- 2. Abracham A. Med. Biol., v. ₹9, № 5-6, p. °68-373, 1931.
- 3. Гаркавенко О. С. Вопросы онкологии, ХХХІ, № 7, с. 105—109, 1985.
- Teraoka H., Thukada K. Biochem, and Biophis. Res. Commun., v. 95, № 5, p. 638—643, 1980.
- Mach M., Ebert P., Popp R., Qgilit A. B.ochem, and Biophis. Res Commun. v. 104, № 4, p. 1327—1334, 1982.
- Colomabatto S., Fasulo L., Grillo H. Agents and actions, v. 21, № 3-4, p. 327-330, 1988.
- Elsabed Nabil D. Tierney Donald F. Hocker Allen D. Appl. Physiol., v. 64, No. 5, p. 2010—2016, 1988.
- 8. Percheen W., Rohn G., Meese C. O. Brain Res., v. 453, № 1-2, p. 9-16, 1988.
- 9. Цветненко Е. З. Нейрохимия, т. 4, № 1, с. 61-64, 1985.
- Ромоданов А. П., Тушевский В. Ф., Копьев О. В. Вопр. нейрохирургии, № 1. с. 16—24, 1988.
- 11. Пархомец В. П., Васильев А. Н. Нейрохимия, т. 7, № 4, с. 635-637, 4988.
- Кучеренко С. Н., Остапченко Л. И., Васильев А. Н. Нейрохимия, т. 7, № 1, с. 135—138, 1988.
- Kofnic H., Goldstone A. D., Lu C. L. Proc. Nat. Acad. Sci. USA, v. 89, p. 7210 7214, 1983.
- 14. Senuber F., Hong H., Duagunes N. Biochemistry, v. 22, p. 6134 6140, 1983.
- 15. Ворончихина Л. Д., Демьянова В. Т. Лаб. дело, № 7, с. 443—444, 1985.

Поступила 12. VII. 1990

УДК 577,35.352.26

ПАРАДОКСАЛЬНЫЙ ЭФФЕКТ N-ПАЛЬМИТОИЛЭТАНОЛАМИНА НА ТРАНСПОРТ КАТИОНОВ ЧЕРЕЗ БИОЛОГИЧЕСКИЕ МЕМБРАНЫ

МЕЛЬНИК А. А., БАЛКОВ Д. Н., ВОЛКОВ Г. Л., ГОВСЕЕВА Н. Н., ГУЛАЯ Н. М. Институт биохимии им. А. А. Палладина АН УССР, Киев

Исследование природных N-ацилэтаполаминов (NAE) началось в 50-е годы, когда они были обнаружены в ряде объектов растительного и животного происхождения. В частности, было показано наличие N-(2)-гидроксиэтилпальмитина в арахисовом масле [1], желтке янц [2], лецитине сон [3]. Оказалось, что это соединение обладает высокой биологической активностью и способно влиять на интенсивность целого ряда воспалительных и иммунологических реакций, а также неспецифическую устойчивость к токсинам бактерий [4].

В последние годы, благодаря использованию высокочувствительных методов определения, NAE были обнаружены в различных тканях собак, крыс, морских свинок, рыб и др. [5—7]. Оказалось, что наибольшее их количество содержится в мозгу, наименьшее—в печени и лишь следовые количества—в мышцах исследованных животных [8]. Недавно NAE были обнаружены нами в клетках мышиной нейробластомы клона C1300 N18 [9]. Обнаружены и ферментативные системы биосинтеза и деградации NAE, максимальная активность которых выявляется в микросомах и митохондриях клеток мозга [10].

Длинноцепочечные NAE ингибируют увеличение проницаемости внутренней митохондриальной мембраны для Ca²⁺, вызванное действием Ca²⁺ и Ca²⁺-освобождающих агентов [11]. Кроме того, ранее в нашей лаборатории было показано, что длинноцепочечные NAE способны уменьшать выход одновалентных катнонов из клеток мышиной нейробластомы [12].

В экспериментах использовали дифференцированные клетки мыши пой нейробластомы клона С1300 N18. Дифференцировку индуцировали добавлением в культуральную среду 5'-бромдезоксиуридниа в конечной концентрации $4 \cdot 10^{-5}$ моль/л.

Для определения входа одновалентных катнонов в клетких нейробластомы под действнем NAE, N-пальмитоилэтаноламин вносили во флаконы с клетками до конечной концентрации 5·10⁻⁻⁵ моль л и инкубировали в течение 30 мин при 37°. Среду сливали и во флаконы вносили по 5 мл среды ИГЛА, содержащей 4·10⁶ имп/мин ⁸⁸Rb (14,6 ГБк/г ⁸⁶Rb⁺). Через фиксированные промежутки времени среду

479

сливали и флаконы трижды промывали 3 мл среды ИГЛА. Клетки лизировали 2 мл 10%-ного раствора NаОН и отбпрали по 200 мкл аликвоты на счет. Уровень радноактивности определяли на счетчике «Intertechnique SL—4000» (Франция). Белок определяли по метолу Lowry и соавт. [13].

Липосомы получали из хроматографически чистого фосфатидилхолина из морских организмов и его смеси с N-пальмитоилэтаноламином (молярное соотношение 4:1) методом «обращенных фаз» [14] в буфере, содержащем 40 мМ трис-HCl, pH 7,4 и 100 мМ КСl. Внутренний объем получениых везикул определяли согласно Трикаш [15]. Полученное значение—10—12 мкл мг дипида—достаточно точно соответствовало цифрам, приводимым создателями метода.

При определении входа Ca²⁺ в липосомы, к суспензии везикул добавляли раствор ⁴⁵Ca (8,3 ТБк/моль) до конечной активности 15·10⁶ ими/мин на 100 мкл суспензии. Конечная концентрация липосом в суспензии составляла 20 мг липида/мл. Препарат термостатировали при 37°. Через фиксированные промежутки времени отбирали аликвоту липосом (100 мкл) и отделяли от экстравезикулярного [⁴⁵Ca] методом микроколоночной хроматографии на СМ сефадексе G-25 [16]. В получениюм препарате липосом измеряли уровень включившейся радиоактивной метки на сцинтилляционном счетчике «Тгас. DELTA 300» (СПІА) в дноксановом сцинтилляторе ЖС-103.

Изучение механизма действия NAE было начато группой Schmid (США), которая установила, что NAE способны ингибировать Ca²⁺-зависимую проницаемость внутренией митохондриальной мембраны. Оказалось, что инкубация митохондрий сердца собаки с длинноценочеными NAE приводит к резкому уменьшению входа Ca²⁺, если этот процесс индуцирован Ca²⁺ или Ca²⁺-освобождающими агентами.

Кроме того, сотрудники нашей лаборатории обнаружили, что инжубация клеток нейробластомы клона C1300 N18 с NAE (14:0, 16:0, 18:0), предварительно обработанных активатором быстрых натриевых каналов—вератрином, приводит не только к полному устранению действия последнего на пропицаемость клеточной мембраны, но и к ощутимому снижению «базальной» проницаемости мембраны для катионов.

При объяснении этих фактов и группой Shmid, и нами было высказано предположение, что NAE, кроме воздействия на ферментативные системы активного транспорта ионов, способны увеличивать плотность упаковки дипидного бислоя клеточной (микросомной) мембраны, препятствуя таким образом току катионов. Принимая во виимание структурную формулу NAE, имеющих в своем составе насыщенные жирные кислоты, кажется логичным, что эти соединения должны способствовать упорядочению упаковки липидного бислоя биологических мембран.

Мы выражаем благодарность коллективу лаборатории сравнительной биохимии : «Института биологии мөря ДВО АН СССР за любезно предоставленные N-ацилэтаноламины и высокоочищенный фосфатидилхолии.

Исходя из этого, мы рассчитывали, что вход Ca²⁺ в липосомы_т содержащие NAE (16:0), будет меньше, чем в линосомы из чистого фосфатидилходина. Однако из представленного на рис. 1 графика видно, что скорость включения [45Са] в липосомы с NAE (16:0) (кривая 2) была приблизительно в 1,5 раза выше по сравнению с контролем (кривая 1). Более того, исследования входа одновалентных катнонов (Rb+) в клетки непробластомы дали разультаты почти аналогичные полученным на липосомах. Данные по входу меченых катнонов в клетки мышиной нейробластомы представлены на рыс. 2, из которого видно, что при использовании NAE (16:0) концентрации 5-10-5 моль/л в среде инкубации наблюдается увеличение проинцаемости мембраны клеток. Необходимо подчеркнуть, что в этом эксперименте при предварительной инкубации клеток нейробластомы с NAE в применяемой концентрации соотношение встронвшегося в плазматическую мембрану NAE к фосфолипидам составляет 1:4, что приблизительно равно соотношению фосфатидилходина и NAE в используемых нами липосомах.

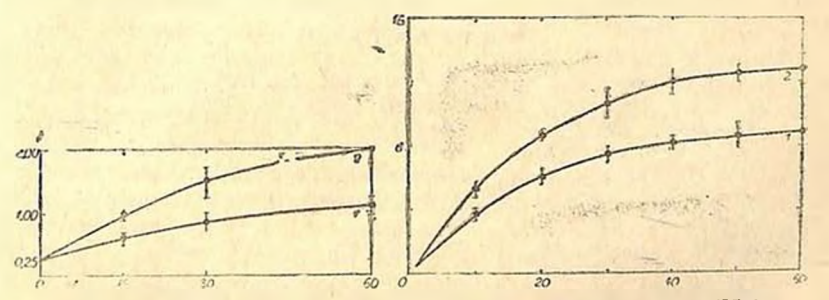


Рис. 1. Влияние N-нальмитонлэтаноламина (NAE 16:0) на вход [45Са] в фосфатидилхолиновые липосомы: 1—вход [45Са] в фосфатидилхолиновые липосомы с NAE (16:0). По оси абсцисс—время в мии, по оси ординат—% накопления [45Са] в липосомах

Рис. 2. Влияние N-пальмитоилэтаполамина на вход рубидия-86 в клетки нейробластомы C1300N18: 1—базальный вход. 2—вход рубидия под действием NAE (16:0). По оси абсинсе—время в мин, по оси орданат—срт. 103/мг белка

Таким образом, наши ранние представления о NAE как о липиде, способном при встранвании в плазматическую мембрану увеличивать плотность упаковки липидного бислоя, оказались несколько упрощенными. По-видимому, вход одновалентных катионов в клетки нейробластомы, также как и проницаемость липосом для Ca²⁺, определяется непосредственным воздействием NAE на липидный бислой мембраны. Причена же увеличения проницаемости мембраны в этом случае пока не ясна. Выход катионов из клеток нейробластомы под действием NAE имеет, вероятно, более сложную систему регуляции, связанную с ферментативной системой, липид-белковыми взаимодействиями и другими факторами.

THE EFFECT OF N-PALMITOYL ETHANOLAMINE ON TRANSPORT OF CATIONS THROUGH BIOLOGICAL MEMBRANES

MEL'NIK A. A., BALKOV D. I., VOLKOV G L., GOVSEEVA N. N., GULAYA N. M.

Palladin Institute of Biochemistry, Academy of Sciences of the Ukraininan SSR, Kiev

We studied the effect of N-palmitoyl ethanolamine (NEA 16:0) on the permeability of liposome membranes for "Ca ions and the uptake of *GRb ions by neuroblastoma cells. We found that NEA (16:1) increases the permeability of liposome and neuroblasoma cell membranes for mono- and divalent cations. This effect appears to be due to the direct action of NEA (16:0) on the membrane lipid bilayer. The efflux of these cations from neuroblastoma cells is regulated by a more complex system involving enzymatic mechanisms and lipid-protein interactions.

ЛИТЕРАТУРА

- 1. Long D A., Miles A. A. Lancet, No 6603, p. 492-494, 1950.
- 2. Long D. A., Martin A. J. Lancet, No 6921, p. 464-466, 1956.
- Gantey O. H., Graessle O. E., Robinson H. N. J. Lab. and Clin. Med., v, 51, № 5, p. 709—714, 1958.
- 4. Ganley O. H., Robinson H. N. Allergi, v. 30, № 5, p. 415-419, 1959.
- Epps D. E., Schmid P. C., Natarajan V., Schmid H. H. O. BBRC, v. 90. № 2 p. 628-638, 1979.
- Epps D. E., Grupp J. L., Grupp G., Schartz A. IRCS-Bloch. v. 11, № 10, p. 899-900, 1983.
- Natarajan V., Schmid P. C., Reddy P. V. Biochim et biophys. acta. v. 835 No 3, p. 426-433, 1985.
- Bachur N. R., Masek K., Melmon K. L., Udenfield S. J. J. Biol. Chem., v. 2:0.
 3, p. 1019-1024, 1965.
- 9. Гулая Н. М., Васьковский В. Е. и др. Укр. бнохим, жури., т. 60, № 5. с. 58—63. 1988.
- 10, Natarajan V., Schmid H., Reddy P. J. Neurochem, v. 6, p. 1613-1619, 1984.
- Epps D. E., Palmer J. W., Schmid H. H. O., Pfeiffer D. R. J. Biol. Chem., v. 257, No 3, p. 1383-1391, 1982.
- 12 Мельник А. А., Говсеева И. Н., Волков Г. Л., Гулая Н. М. Докл. АН УССР, № 5, с. 69—72, 1989.
- Lowry O. H., Rosebrough M. J., Farr A., Randa!! R. J. J. Biol. Chem., v. 193, p. 265-275, 1951.
- Szoka E., Papahad jopoules O. Proc. Natl. Acad. Sci. USA, v. 79, No 9, p. 4194
 – 4198, 1978.
- Трикаш И. О. «Изучение взаимодействия α-латротоксина с липосомами», канд. дис., Киев, 1987.
- Лось Г. В., Стефанов А. В., Лишко В. К. Укр. биохим. жури., т. 57, № 4, с. 3— 10, 1985.

Поступила 26. 111. 1990

УДК 577.352.5.612.822

ИНДУКЦИЯ Са²⁺-дсРНК СИНТЕЗА ИНТЕРФЕРОНА В МОЗГУ, ПОВЫШЕНИЕ АКТИВНОСТИ 2-5А-СИНТЕТАЗЫ, ПРОТЕИНКИНАЗЫ p67K

ЗАХАРЯН Р. А., ГЕВОРКЯН М. Г. Институт экспериментальной биологии АН Армении, Ереван

Интерферон индуцирует в клетке появление активности двух дсРИК-зависимых ферментов рррА (2' р 5' А) синтетазы (2-5А-синтетаза) и специфической протеинкиназы (р67К), фосфорилирующей белок с Мг 67 кД в мышиных клетках и р72К, фосфорилирующей белок с Мг 72 кД в человеческих клетках [1, 2]. Титр интерферона в крови, индуцированного введением дсРНК, относительно быстро снижается за достаточно короткий период времени. Повышение же активности вышеуказанных ферментов, наблюдаемое в течение относительно долгого времени, свидетельствует о продолжающем специфическом воздействии индуцированного интерферона на те или иные ткани организма [3, 4]. Са2+-дсРНК впервые іп віво был применен нами как эффективный противовирусный препарат, в том числе и при ретровирусном поражении клеток костного мозга [5, 6]. Кальциевый препарат двуцепочечной РНК подавлял сорбцию вируса на плазматической мембране клетки и ингибировал активность фермента обратпой ревертазы.

Ранее нами также было показано, что Ca²⁺-соль дсРНК, полученной из плаценты человека, по сравнению с обычно используемой натриевой формой и с комплексом ДЭАЭ-декстран-дсРНК, индуцировала в мозгу достаточно высокий титр интерферона, по-видимому, проникая в мозг через ГЭБ [7]. Одновременно было также показано, что Ca²⁺-дсРНК на порядок выше связывается с клетками костного мозга, HeLa, чем натриевая соль и обнаруживается в ядрах практически всех обработанных клеток.

В настоящем исследовании были изучены характер образования эндогенного интерферона, активность ферментов 2-5A-синтетазы, р67К киназы в мозгу мышей при внутрибрющинном введении различных дсРИК в форме комплекса с Ca²⁺.

Выбор мозга в качестве исследуемого органа определился его потенциальной возможностью служить органом-мишенью при малиг-

низации, а также вирусной инфекции, включая инфекцию вирусом СПИД.

Са2+-соль деРНК получали по описанному ранее метолу [8].

Для определения активности 2-5А-синтетазы мозг мышей гомогенизировали в гомогенизаторе Поттера при 0° в буфере, содержащем: 10 мМ НЕРЕЅ рН 7,6; 10 Мм КСІ; 2 мМ Мg (СН₃СОО)₂; 7 мМ 2-меркаптоэтанол, апротични 100 ед/мл.

Уровень активности 2-5А-синтетазы (НМ АМР/мг/ч) и p67К-протеникиназы (ФМ РО_л/мг/ч) в мозгу

Таблица

,,,,,,						
Исследуе- мые фер-	Кон:роль	Ca2++,	деРН (Na деРН (Нитер-	
менты		через 24 ч	через \$6 ч		феон	
2.5 син- тет за и 7 про- теи и иназа	30.2±4.6 121±.25	88,6±6.5 478±58	51±5,7 24′±29	45,1 <u>-</u> 上5,2 193 <u>+</u> 17	19.2±5,6 189±25	

Гомогенат оставляли при 4° 15 мин, добавляли NP40 до 0,5%облучали ультразвуком 10 с и центрифугировали 5000 g 20 мин. Экстракт хранили при—70°. К 200 мкл экстракта (от 1 мг ткани) добавляли 409 мкл буфера: 20 мМ HEPES рН 7,6; 50 мМ КСІ, 25 мМ
магинй ацетат; 7 мМ 2-меркантоэтанол, 5 мМ АТР, 10 мМ креатиифосфат, 0,16 мг/мл креатинкиназы; 0,1 мг/мл поли (И) поли (Ц) и
5 мкл [311]АТР (0,4 мк Кю/мл). Смесь инкубировали при 30° 90 мии,
реакцию останавлявали нагреванием в течение 5 мин при 90°. Синтезированный [314] 2-5А очищали на ДЭАЭ целлюлозе и просчитывали на
сцинтилляционном радносчетчике SL-30 («Intertechnique», Франция).

Активность 2-5A-синтетазы выражали в единицах имоль 2-5A, синтезированного в течение 1 ч на мг ткапи.

Активность деРИК-эависимой протеникиназы р57К определяли в экстракте из мозга мышей после частичной очистки фермента на поли (И) поли (Ц)-сефарозе в присутствии генарина (100 ед/мл) по методу, описанному Hovanessian и соавт, [9].

В опытах использовали мышей F-1 (гетерозиготы I поколенчя СВА и С57 В1аК), предварительно тестированных на отсутствие интерферона в крови и в мозгу. Препарат Са²⁺-дсРНК вводили внутрибрюшению по 50 мкг/мышь.

Для тестирования исследуемых образцов на присутствие интерферона использовали трансформированную перевиваемую культуру мышинных клеток L-929. Титрование проводили микрометодом, с тествирусом, как описано ранее [10].

В качестве индукторов интерферона использовали отечественные препараты модифицированных дсРНК: рилостии, рифастии в форме Ca²⁺-комплексов, а также Ca²⁺-инзкомолекулярную дсРНК, содержа-

щую до 50 пар оснований из дрожжей, полученную в нашем институте.

Стандартным препаратом служил маркер мышиного интерферона C002-904-511 с активностью 20000 МЕ/мл (Национальный Институт здоровья, США).

На рисунке представлена динамика накопления интерферона в мозгу и сыворотке крови мышей после введения им модифицирован-

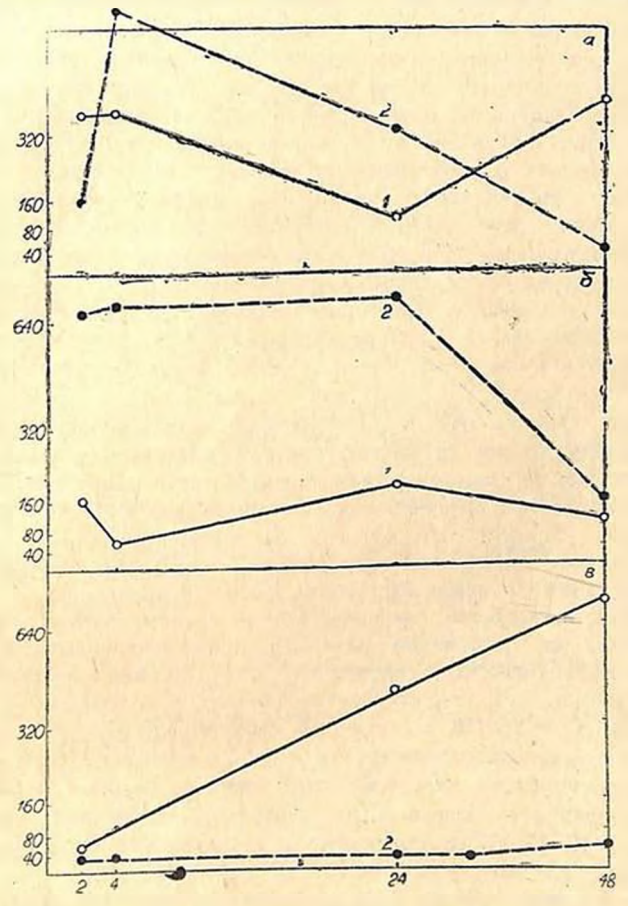


Рис. Динамика накопления интерферона в мозгу и сыворотке крови мышей после введения Ca²⁺-дсРНК; 50 мкг/мышь Ca²⁺-дсРНК (рифастип), 50 мкг/мышь Ca²⁺-дсРНК (ридостип), 50 мкг/мышь Ca²⁺-дсРНК (ИЭБ). По оси абсцисс—время после индукции, ч; по оси ординат—титры интерферона, 1—мозг, 2—кровь

пой дсРИК в форме Ca²⁺ комплекса. Динамика индукции интерферона не коррелирует с динамикой образования сывороточного интерферона, максимум интерферонообразования в мозговой ткани прихо-

дится на 1-2 сутки, в то время как пик сывороточного интерферона отмечается уже через 4 ч после пидукции, и уровень его к 48 ч значительно снижается. Особый интерес представляет кривая интерферонообразования в мозгу после введения комплекса Са2+-низкомолекулярная дсРНК. Очевидно, что данный видуктор проинкает в мозг, где стимулирует относительно автономный синтез интерферона, имеющий тенденцию к нарастанию через 48 ч на фоне незначительного уровня сывороточного интерферона. Как показали отдельно проведенные эксперименты, данная Са²⁺-дсРНК обладала на порядок большей противовирусной активностью при заражении мышей вирусом энцефаломнокардита мышей. С целью получения доказательств, свидетельствующих о специфическом воздействии индуцированного интерферона на мозговую ткань, мы изучили активность в мозговой ткани двух деРНК-зависящих ферментов 2-5А-синтетазы и р67-киназы через 24 и 96 ч после внутрибрющинного введения мышам комплекса Ca²⁴-низкомолекулярная РНК.

Самкам мышей 2-месячного возраста вводили Са²⁺-дсРНК в дозє 50 мкг/мышь, в качестве контроля также использовали мышей, которым вводили интерферои (40000 ед/мышь или Na-дсРНК 50 мкг/мышь).

Как видно из таблицы, Ca²⁺-дcPHK является достаточно эффективным индуктором ферментных систем, обеспечивающих противовирусную резистемтность клетки. Активность последних в мозговой ткани обнаруживалась и через 96 ч после применения Ca²⁺-дсPHK. Следует отметить, что активность исследуемых ферментов в присутствии индуктора была выше, чем при введении животным интерферона или дсPHK, особенно через 24 ч после введения препарата.

Ранее нами было показано, что активность фермента ревертазы в клетках костного мозга у мышей, инфицированных ретровирусом MULV и получивших препараты Ca²⁺-дсРНК, ингибировалась на 75% и составляла 25% от активности фермента у мышей, не получавших препарат Ca²⁺-дсРНК и имеющих явно выраженную силеномегалию; подавление активности ревертазы и сорбции вируса MULV на поверхностной мембране клеток-мишеней является одним из механизмовингибирования процесса ретровирусной инфекции препаратом Ca²⁺-дсРНК [7, 8], вызывающей целый комилекс биохимических изменений в плазматической мембране клетки [11, 12].

Полученные данные свидетельствуют, что Ca²⁺ форма дсРНК проникает через ГЭБ и индуширует в мозгу синтез интерферона и активирует ферментные системы, обеспечивающие противовирусную резистентность.

INDUCTION OF INTERFERON AND ACTIVATION OF 2-5A-SYNTHETASE AND P67K KINASE IN THE BRAIN BY Ca²⁺dsRNA

ZAKHARYAN R. A. GEVORGYAN M. G.

Institute of E. pertmental Biology, Academy of Sciences of the Armenian Republic, Yerevan

Ca²⁺-double-stranded RNA passes the blood-brain barrier and induces in the brain the symbols of interferon. It also activates two interferon-related enzymes, 2—5A-synthetase and po7k kinase which phosphorylates a 67 kDa protein.

ЛИТЕРАТУРА

- 1. Hovanessian A. G., Riviere Y. Ann. de Virologie, v. 131, p. 501-516, 1980.
- 2. Hovanessian A. G., Moure E., Montegnier L. J. Interferon Research, v. 1, p. 179-180, 198.
- 3. Riviere Y., Hovanessian A. G. Cancer Research, v. 43, p. 4596-4599, 1983.
- Saron M. F., Riviere Y., H. vanessian A. G., Gallion I. C. Virology, v. 117, p. 213-256, 98.
- Рухкин Л. А., Захарин Р. А. В ки.: Лекарственные и биологически активные пещества в животновод, и ветеринар., с. 89—94. Ереван. 1986.
- Леабалян Л. С., Рухкян Л. Л., Захарян Р. Л. Докл. АН АрмССР, т. 88, № 2, с. 93—96, 1989.
- 7. Бакунц К. А., Геворкян М. Г., Галстян Г. Г., Захарян Р. А. Докл. АН АрмССР, т. 1, с. 36—41, 1988.
- 8. Захарян Р. А., Агабалян А. С., Месропян И. А. Экспериментальная опкология, т. 7, № 3, с. 54—56, 1985.
- Hovanessian A. G., Riviere Y., Krust B. Ann. Biochem., v. 129, p. 349—356, 1983.
- 10. Cambell J., Gan. J. Microbiol., v. 21, p. 1247-1253, 975.
- 11. Ruchkian L. A., Zachurian R. A. IV International Congress of Cell Biology Montreal, Abstr. p. 5, 1, 6, 1988.
- 12. Карагезян К. Г., Захарян Р. А., Овакимян С. С. Биол. жури. Армении, т. 40, № 12, с. 979—985, 1987.

Поступила 17. VIII, 1990

ОБЗОРЫ

УДК 577.112+547.917:612.782

ЛЕКТИНЫ МОЗГА: ХАРАКТЕРИСТИКА, ФУНКЦИИ, РЕЦЕПТОРЫ

ЛЕПЕХИН Е. А., ДОЛЖЕНКО М. И., БЕРЕЗИН В. А.

Днепропетровский государственный университет

В обзоре обобщены имеющиеся к настоящему времени данные об углеводсвизывающих белках мозга и их эндогенных рецепторах. Подробно рассмотрены свойства, а также клеточная и субклеточная локализация лектинов и их возможных рецепторов в онтогенезе, Проанализированы выдвинутые различными авторами предположения о возможной роли углеводсвязывающих белков в процессах передачи информации через клеточные мембраны и в процессах формирования и функционирования тканей и клеточных органелл. Выдвинуты предположения об уровне специфичности при взаимодействии лектин—рецептор и причинах отсутствия органо- и тканеспецифичности лектинов. Определены наиболее важные, по мнению авторов, направления изучения лектинов мозга и их рецепторов.

Важная роль олигосахаридных цепей гликоконъюгатов клетки и внеклеточного матрикса в процессах биологического и молекулярного узнавания в организме привлекает внимание исследователей не только с точки зрения строения и биологической значимости тех или иных последовательностей углеводов, но и с точки зрения механизмов передачи сигналов и/или информации путем углевод-белкового взаимодействия.

Способность клетки синтезировать целое семейство белков, где каждый вариант характеризуется различающимися между собой ковалентно присоединенными олигосахаридами и может обладать уникальными биологическими особенностями [1], предполагает наличие и широкого спектра рецепторов, узнающих эти углеводные последовательности.

К настоящему времени существует несколько различающихся межлу собой определений этого класса белков [2—5], однако одно из них, данное в работе Barondes, представляется нам наиболее общим и приемлемым: «Лектины—белки, способные связывать углеводы и не являющиеся ферментами или антителами». Столь широкое определение, по мнению автора, дает возможность сфокусировать внимание на эволюции лектинов и их адаптации к разнообразным функциям в бнологических системах [2]. Лектины были обнаружены в конце прошлого века в экстрактах из растений по их способности агглютинировать эритроциты и до конца 50-х годов считались присутствующими только у растительных организмов. Однако в 60-е годы началось подробное изучение лектинов, обнаруженных в слизевиках, микроорганизмах и беспозвоночных животных, а в середине 70-х годов были обнаружены β-галактозиденецифичные лектины в экстрактах из различных тканей млекопитающих [6]. К настоящему времени достаточно подробно изучены наличие лектинов в организме позвоночных животных [7], а также множественность форм и зависимая от стадии развития организма экспрессия лектинов в тканях [8]. Проведена классификация лектинов млекопитающих на основе их антигенности [9] и первичной структуры [10].

Было обнаружено, что лектины позвоночных представлены двумя большими группами—растворимыми лектинами, не требующими для солюбилизации применения детергентов и мембраносвязанными, извлекаемыми только в присутствии детергентов [8, 11]. Различия в локализации этих лектинов предполагает и фундаментальные отличчя их функций в организме [12]. Эти группы лектинов характеризуются высокой степенью гомологии внутри группы и отсутствующей гомологией между растворимыми и связанными лектинами [8—10, 13].

Вопрос о функции лектинов в клетках позвоночных животных до сих нор остается одним из самых неясных и витересных. Данные, полученные к настоящему времени, позволяют выдвинуть обоснованные предноложения об участем лектинов в эндонитозе и внутриклеточном перемещении гликопротеннов; регуляции миграции и адгезии клеток [7], клиренсе гликопротендов в крови и удалении старых и деснализированных эритроцитов из системы кровообращения [13]. Наблюдаемые характеристические изменения экспрессии лектинов, совпадающие с различными физиологическими и патологическими изменениями [13] и наличие регулируемого во времени развития организма клеточного распределения некоторых лектинов, которое координируется повремени с экспрессией комплементарных углеводных структур [8, 12], позволяет предположить участие лектинов в процессах дифференцировки и формирования органов и тканей.

Было обнаружено, что лектины животных могут иметь второй типсвязывающих центров, которые взаимодействуют с неуглеводными лигандами. Для 7 углеводсвязывающих белков было показано наличие таких центров, связывающих клеточные новерхностные рецепторы, эластии, инсулипнодобный фактор роста 11 или фосфолиниды [2, 8]. Это позволяло выдвинуть гипотезу о том, что регулирующая рост система может быть основана на углевод-белковых взаимодействиях, и рецептор инсулинподобного фактора роста может быть би- или мультифуикциональным белком, имеющим как центры связывания фактора роста, так и зависимые от них центры связывания углеводов [14, 15].

Несмотря на значительный объем полученной за последние годы информации о лектинах позвоночных и значительное количество гипотез об их участии в различных процессах, многие вопросы их функционирования в отдельных органах и тканях остаются неясными. В полной мере это касается и лектинов мозга. Участие углеводсвязывающих белков в развитии и функционировании ЦНС подтверждается экспрессией гликоконъюгатов, содержащих различные терминальные остатки углеводов [16—18], высокой активностью процессов гликозилирования в мозгу [19], появлением и исчезновением различных форм мнелинассоциированного гликопротения в зависимости от стадии развития мозга [20] и предполагаемой общей ролью остатков N-ацетилгалактозамина в синаптогенезе [21].

Первые данные о присутствии лектинов в экстрактах из мозга позвоночных (эмбрион цыпленка) были опубликованы в 1977 г. [22], а сообщение о выделении этого лектина вышло в свет годом позже. Выделенный лектин солюбилизировался в присутствии 2-меркантоэтанола и хорошо связывался с производными β-галактозы [23].

Первое сообщение о лектинах мозга млекопитающих также относится к 1977 г. Исследователями была обнаружена зависимая от стадии развития гемагглютинирующая активность экстракта из мозга крыс разного возраста [24].

В последующие годы изучение лектинов мозга интенсивно развивалось и к настоящему времени накоплены данные о наличии в мозгу нескольких типов углеводсвязывающих белков, различающихся как по углеводной специфичности, так и по пространственной локализации в развивающемся и взрослом мозгу. В табл. І представлены краткие сведения об известных к настоящему времени лектинах мозга. Наи более подробно изучены 2 группы лектинов: так называемые «растворимые» 'β-галактозидспецифичные и маннозоспецифичные.

«Раство римые» в-галактозиденецифичные лектины

Лектины этой группы были выделены из мозга эмбриона цыпленка, а также взрослых крыс, быка и человека. Они характеризуются высокой степенью сходства между собой по физико-химическим свойствам и углеводной специфичности [23, 25, 28]. Свойства очищенных лектинов приведены в табл. 2.

Степень связывания простых сахаров с лектинами убывала в ряду тиодигалактозид лактоза > галактоза. Лектины проявляли высокую термостабильность и их активность не зависела от присутствия ЭДТА, ионов двухвалентных металлов или 100 мМ маниозы, но исчезала при синжении температуры до 4°, увеличении ионной силы растворов более 0,2 М и в присутствии 25 мМ лактозы. Следует отметить, что при ИЭФ очищенных лектинов мозга не было обнаружено изоформ, тогда как аналогичные лектины других тканей характеризуются наличием от 3 до 9 изоформ, что, по-видимому, связано с наличием семейства генов, кодирующих эти белки [26].

Галактозиденецифичные лектины мозга обладают значительным

Краткая характеристика лектинов мозга

Группа лектинов	Вид животного	Названи: л. ктипа	Клаточная ло кализация	(убкл. точная локализация	Углеводная сте- цифичность		Зависимость от металлоз	Мг(кД)	Ссылки
Галакто- зос ецифич- ные	цыпленок крыст бык человек	RBL-16 RB . H3L-14	нейроны астроциты периваскуляр- ные клетки	аксоплазма, пост синаптические утолщения, вне- клеточ ый матрикс	тногалактсза, лактоза, галактоза	да да да да	нет нет нет	33 52 30	[23] [25, 29] [25, 36] [8]
	мышь		_^	м. мбраны	лакт за		_		[34]
	крыса		_	мембраны	га лактоза			_	[52]
	бык морская свинка человек	основной бел к миз- лина		миелиновая обол чка	галактоза, глико форзи, казеии	_	нет	-	(50)
		Mac 2	-		галактоза		-	_	[51]
	_	IE'S	R. L.I	_	гексозамины		-		[32]
инфидние пинозос че-	крыса	CSI.	н. пропы	л зосомы. цитозоль	манноза, манно	нет	нет	1.00	[41]
	крыса	ld .	нецьоны	і пазматическая	глюкоза метил-	нет	нет	13	[42]
С алос еци	крыса			мембрана	глюкоза		6.0		
фичные			_	мембраны сина 1-	сналовые к :сл.ты	нет	Ca2-		[52]
Гепарчи- связываю щие	кр са мышь бык		-	цитоз ль	гелар иг. N-ацетил- галактозамии		ПТ	-	[53]

Примечание. * Данные отсутствуют.

сходством как между собой, так и с аналогичными лектинами других тканей. Так, лектин мозга человека имеет онльную перекрестную иммунореактивность с лектинами мозга крысы и быка, а также с аналогичными по углеводной специфичности лектинами яйцеклеток амфибий, легких крысы, легких и плаценты человека [9, 27—29], которые, в свою очередь, имеют значительную гомологию первичной последовательности [26, 30]. Все эти лектины проявляют сходные физико-химические свойства: отсутствие зависимости от Ca^{2+} , величину $M_r \approx 15$ кД, способность связывать невосстанавливающие остатки галактозы в β -конфигурации и отсутствие взаимодействия с N-ацетилгалактозамином. Последнее отличает эти лектины от углеводсвязывающих белков, обнаруженных в Купферовских клетках си имеющих сродство как к галактозе, так и к N-ацетилгалактозамину [31].

Физико-химические свойства β-галактозосвязывающих лектинов мозга

Таблица 2

Экстракт м зга	Название лектина	М _т (кД) гель-филь ДД:— а- электроф)- т ация рез		иэг	Содержан е дектина*	
Цыпленок Крыса Бык Чел век	RBI.—16 BBL H3L—14	33 32 30	13(15) 10+0.5 15+0.5 11.5+0.5	4.3 3.9 9 3,9	0.23 0.13 0.021	['3] [5] [2] [2]

Примечание. * В % от общего количества растворимого белка экстракта.

Морфологическое и субклеточное распределение β-галактозидспецифичных лектинов отражает, по-видимому, особенности функционирования их в мозгу. Эта группа лектинов не является специфичной для какого-либо отдела мозга, хотя их содержание может различаться в зависимости от типа ткани—например, серого и белого вещества [28]. Галактозосвязывающие лектины мозга обнаруживаются как в эмбриональном, так и в постнатальном мозгу на различных стадиях развития [32—34], а также в культуре нервных клеток [27, 35].

Иммуноцитохимические методы выявления локализации показывают, что лектины находятся в волокнах зрелых нейронов, самих нейронах, астроглиальных и периваскулярных клетках и стенках кровеносных сосудов [27, 29, 36]. На субклеточном уровне лектины были обнаружены на внутренией стороне эндоцитозных пузырьков, на аксональных мембранах и в постсинаптической зоне [29], а также во внутриклеточных компартментах, дендритах и телах клеток Пуркинье [36].

Еще ранние исследования показали, что содержание лектинов в экстрактах из мозга зависит от стадии развития [22—24]; в дальнейшем были получены данные о том, что в онтогенезе существенно

меняется клеточная и субклеточная локализация этих лектинов [29, 36]. Было отмечено, что развитие клеток мозга слязано со значительной вариацией уровня содержания внутриклеточного и поверхностного в-галактозидспецифичного лектина [34].

Параллельно с изменением содержания лектина происходит изменение экспрессии цитоплазматических и поверхностных гликоконъюгатов лактозной серии [27], что позволяет предполагать об их взаимодействии in vivo. О наличии эпдогенных редепторов лектинов свидетельствует и тот факт, что гликопептидная фракция из делипидизированного мозга связывалась с лектинами мозга в 150 раз более эффективно, чем самый эффективный из моносахаридов [32].

По-видимому, именно взаимодействие лектинов с эплогенными комплементарными структурами и определяет выполняемую лектинами физиологическую функцию, остающуюся до сих пор гипотетической и спорной. Из множества существующих гипотез и предположений наиболее обоснованной представляется гипотеза участия В-галактозидспецифичных лектинов в межклеточном узнавании и адгезии на ранних стадиях развития мозга (например, на стадии миграции нейронов). В подтверждение этой гипотезы было показано, что внутриклеточный уровень «растворимого» лектина и адгезивность клеток проявляют сходную зависимость от возраста и ингибируются одними и теми же сахаридами [34, 37]. Было высказано предположение, «растворимый» лектин может секретироваться во висклеточное пространство и образовывать мостики между отдельными нейробластами или растущими аксонами [29, 34, 36]. Высказанная гипотеза подтверждается также и эффектами, оказываемыми экстрактами мозга на культуру клеток нервной ткани. Экстракт, содержащий лектины. вызывает агрегацию клеток и стимулирует их рост, тогда как экстракт мозга, свободный от лектинов, проявляет только ростетимулирующее действие [35, 38, 39].

Многие исследователи предполагают участие β-галактозидспецифичных лектипов мозга в процессе синаптогенеза путем опосредования узнавания мест прикрепления аксонов [27, 29]. Наличие лектипов в постсинантической зоне [36], эффект молекул экстрацеллюлярного матрикса (среди которых обнаружены и β-галактозидспецифичные лектины) на синаптогенез [21] и высокое содержание лектинов в субполуляции сенсорных нейронов [27] служат подтверждением этого предположения. С другой стороны, отсутствие эффекта ингибитора этой группы лектипов—лактозы—на число образующихся синапсов [40] говорит, скорее всего, об отсутствии прямого участия лектипов в процессах синаптогенеза.

На основании данных внутриклеточной локализации лектинов было выдвинуто предположение о том, что лектин может быть возлечен во внутриклеточный транспорт клеточных и внеклеточных составляющих [29]. Кроме того, некоторые исследователи допускают множественность функций лектинов в различных клетках в разное время [29].

В мозжечке крысы было показано наличие двух маннозоспецифичных лектинов—«растворимого» СSL и мембраносвязанного R1 [41, 42]. «Растворямый» лектин экстрагировался из ткани без применения детергентов, хотя и требовал присутствия 2-меркантоэтанола. При гель-фильтрации в недспатурирующих условиях он имел M_r 1200 кД, тогда как величина M_r субъединиц составляла 31,5 и 33 кД. Это позволило авторам предположить, что молекула лектина существует в виде высокомолекулярного комплекса, который может включать в себя от 20 до 40 субъединиц. Субъединицы различались между собой присутствием дополнительно 14—19 аминокислотных остатков, из которых от 7 до 9 приходится на остаток глицена. При ДДС-Nа-электрофорезе было выявлено наличие еще 2 минорных компонентов—с величиной M_r 45 и 90 кД, вероятно, предшественников субъединиц 31,5 и 33 кД.

Изучение свойств очищенного CSL показало, что он связывается с маннозой и маннозо-6-фесфатом, его агглютивирующая активность не зависит от присутствия ЭДТА или понов двухвалентных метал-

лов [41].

CSL обнаружен в основном в клетках Пуркинье, корзинчатых клетках и нейронах Гольджи, хотя содержится в меньших количествах и в других клетках [43]. На субклеточном уровне CSL локализован в лизосомах и цитозоле, хотя может быть и внеклеточным [41]; секреция внутриклеточного лектина происходит в процессе развития в премиграционной зоне и белом веществе [42].

Мембраносвязанный лектин R1 экстрагировался из ткани только в присутствии тритона X-100. При ДДС-Nа-электрофорезе R1 выявлено 2 зоны с величиной M_r 65 и 130 кД. Предполагается, что молекулы с M_r 130 кД представляют с⊚бой димер. Анализ величины M_r методом гель-фильтрации дает значение, равное 130 кД [42].

Агглютинпрующая активность R1 не зависела от нонов двухвалентных металлов, наиболее эффективные ингибиторы агглютинации глюкоза и метил-глюкоза. В отличие от CSL, R1 не взаимодействовал с гликозаминогликанами [42]. По своим физико-химическим и иммунологическим свойствам лектии R1 был похож на рецептор маннозосодержащих гликопротеннов из синусондальных клеток печени [42].

Следует отметить, что белки, сходные с маннозоспецифичными лектинами мозга, были обнаружены также в ретикулоэндотелиальных клетках крысы (рецептор циркулирующих машнозо-N-ацетилглюкозаминсодержащих гликопротеинов) [44], в печени [45] и седалищном

нерве свиньи [46].

RI был локализован во всех нейронах мозжечка крысы в разные периоды развития, исключая период между 13 и 20 диями постнатального развития. Этот лектин присутствовал также в лизосомах в теле и деидритах клеток Пуркинье [47], мультивезикулярных телах нейронов мозжечкового кортекса и зидотелиальных клетках ЦНС,

однако не был обнаружен в астроцитах глин [47, 48]. Было отмечено, это молекулы R1 могут быть экспрессированы как на обеих сторонах плазматической мембраны, так и лишь на наружной ее стороне [47].

R1 временно экспрессируется на поверхности дендритов клеток Пуркинье, контактируя с гликопротеннами параллельных волокон. После взаимодействия гликопротеннов с R1 в дальнейшем они деградируют [47, 48].

Сравнение свойств CSL и R1 ноказывает, что несмотря на одинаковую углеводную специфичность, они являются структурно различными молекулами. Оба лектина присутствуют не только в мозжечке, но и в переднем мозгу, хотя и взаимодействуют там с другими гликопротеннами [42].

Вопрос о функциях этих лектинов в мозжечке остается предметом споров и предположений. Вероятно, участие R1 во взаимодействии нейронов в параллельных волокнах и аксонов гранулярных клеток с их мишенями—деидритами клеток Пуркинье в период синаптогенеза [47]. Узиавание лектином специфических гликопротеннов может служить первой стадией формирования контактов [48]. Для СSL предполагается участие в процессах миграции нейробластов и миеличизации, так как оп секретируется в период развития в премиграционой зоне и белом веществе [42]. Кроме того, CSL, как считают, ответствен за адгезию клеток как между собой, так и при взаимодействии клетка—субстрат в культуре клеток. Добавление антител к CSL в культуру первных клеток полностью отделяет клетки от субстрата. Кроме того, при этом нарушается миелиновая оболочка клеток, что подтверждает участие лектинов в процессах миелинизации [49].

Другие лектины мозга

Кроме вышеуномянутых лектинов, в тканях мозга были обнаружены и другие лектины и лектинподобные вещества, которые при винмательном изучении могут оказаться лектинами, отличными от уже известных. Так, например, имеющие свойства β-галактозидсвязывающих лектинов основной белок миелина [50], антиген Mac-2 [51], мембраноассоциированный белок фракции грубых синаптосомных мембран [52] и лектин мембранной фракции мозга мыши [34] могут оказаться как мембраносвязанными формами описанных галактозоспецифичных лектинов, так и новыми лектинами с иными свойствами. Это же касается и белка LETS, который способен агглютинировать бараныи эритроциты и связываться с гексозаминами [32].

Бесспорно, отличными от уже упоминавшихся лектинов следует считать обнаруженный в синаптических везикулах лектин со специфичностью к сналовым кислотам и гепаринсвязывающий лектин растворимой фракции гомогената мозга.

Сналоспецифичный мембраносвязанный лектин синаптических везикул был термолабильным, снижал свою активность в присутствии тритона X-100, Нонидета P-40 и ДОХ-Na и мог быть полностью солю-

билизирован только в присутствии ДДС-Nа. Его атглютинирующам активность не зависела от нонов двухвалентных металлов, сильно ингибировалась в присутствии N-ацетилнейраминовой и N-гликолилнейраминовой кислот. Бычий муции и фракция гликонентидов из мембран эритроцитов кролика (оба с высоким содержанием сналовых кислот) также являлись ингибиторами, тогда как из всех исследованных других углеводов только N-ацетилманнозамии слабо ингибировал агглютинирующую активность лектина [52].

Предположения, высказанные авторами относительно физиологических функций этого лектина, касаются опосредования слияния везикул с клеточной мембраной, взаимодействия везикул с цитоскелетом и/или рециклизации везикул.

В экстрактах из мозга крыс были обнаружены растворимые лектины, связывающие N-ацетилгалактозамин и гепарии, которые, по авторов, очень отличаются от β-галактозидепецифичных лектинов, выделенных из того же гомогената [52]. Эти лектины способны агглютинировать обработанные этанолом эритроциты, что характерно для гепаринсвязывающих лектинов, обпаруженных в других тканях [54]. Было высказано предположение о взаимосвязи между гепаринсвязывающими лектинами и фактором роста из нервной ткани, основывающееся на близости величин их M_r и сходстве методов выделения этих веществ на гепарин-агарозе [53]. Важно заметить, что возможное взаимодействие гепаринсвязывающих лектинов с различными гликозаминогликанами предполагает важную роль лектинов в внеклеточного матрикса и/или взаимодействие с иим организации нервных клеток.

Рецепторы лектинов

Понять в полной мере закономерности функционирования лектинов можно только тогда, когда они будут рассматриваться не как изолированиая группа белков с экзотическими свойствами, а как часть сложной системы взаимодействующих молекул. Это выдвигает на первый план задачу изучения эплогенных рецепторов лектинов и количественных характеристик взаимодействия лектин—рецептор.

Изучение гликоконъюгатов срезов мозга методом гисто- и цитохимии показало, что в мозгу присутствуют многие углеводы, способные вступать во взаимодействие с экзогенными лектинами [55—57]. Главными сахарилными остатками являлись остатки α-D-маннозы/-α-D-глюкозы и α- и β-аномеров галактозы [58]. Кроме того, в мозгу была обнаружена высокая концентрация сиалировашных галактозилгликопротеннов, сосуществующих с гликозаминогликанами [59]. Эти факты хорошо согласуются с углеводной специфичностью описанных выше лектинов мозга.

Попытки обнаружения потенциальных рецепторов мозга (в первую очередь гликопротеннов), предпринятые аффинными методами с использованием растительных лектинов показали, что целая серия

гликопротеннов мозга имеет терминальные сахаридные остатки, соответствующие углеводной специфичности эндогенных лектинов [57, 60]. Так, галактозусодержащие гликопротенны мозга насчитывают более 10 фракций по данным ДДС-Nа-электрофореза [61, 62], а гликопротеннов с остатками маннозы/глюкозы—не менее 23 [60, 62, 63]; однако подробно охарактеризованы из них очень немногие [64]. Недавно обнаруженный в мозгу протеогликан, содержащий гепаринсульфат, может являться рецептором гепаринсвязывающих лектинов [65].

Кроме гликопротеннов эндогенными рецепторами лектинов в клетке могут являться и другие гликонъюгаты, в частности гликолипиды. Они могут взаимодействовать с лектинподобными белками на поверхности клеток [66, 67]. Предполагается, что это взаимодействие оказывает влияние на процессы адгезии и участвует в узнавании первных клеток [68].

Основной вопрос, возникающий при изучении эндогенных рецепторов в ткани мозга,—это вопрос о том, какие из обнаруженных гликоконъюгатов в действительности являются рецепторами и взаимодействуют с лектином in vivo. Уже отмечалось, что не все гликаны, содержащие соответствующие углеводные остатки, способны взаимодействовать с эндогенными лектинами [43]. Более того, строгая компартментализация молекул в клетке может препятствовать взаимодействию лектин—гликоконъюгат и поэтому при проведении подобных исследований необходимо придавать первостепенное значение доказательству взаимодействия лектина с его рецептором in vivo.

Заключение

Обобщая имеющиеся к настоящему времени данные об углеводсвязывающих белках мозга и их эндогенных реценторах, можно сформулировать несколько выводов.

- 1. В тканях мозга одновременно присутствует несколько лектинов различной углеводной специфичности.
- 2. Лектины могут быть как «растворимыми», так и мембраносвязанными. Так называемые «растворимые» лектины, по-видимому, не являются цитозольными, они ассоциированы с какими-либо клеточными структурами, так как требуют для солюбилизации присутствия 2-меркантоэтанола. Практически все лектины мозга находятся в связанном с комплементарными структурами состоянии, о чем свидетельствует необходимость присутствия углеводных гаптенов в средах гомогенизации при выделении лектинов.
- 3. В некоторых случаях в мозгу могут присутствовать одновременно как «растворимые», так и мембраносвязанные формы лектинов, обладающие сходной углеводной специфичностью. Несмотря на это сходство, лектины имеют различные свойства и структуру и, повидямому, связывают различные гликоконъюгаты.
 - 4. Экспрессия лектинов может регулироваться в течение онтоге-

неза; наличие и распределение лектинов зависят от стадии развития организма.

- 5. Лектины, обнаруженные в мозгу, не являются специфичными для каких-либо субклеточных структур, групп клеток или отделов мозга. Более того, они не проявляют ткане-, органо- или видоспецифичности. Так, β-галактозидспецифичные лектины позвоночных очень сходны по структуре и свойствам независимо от источника выделения.
- 6. В мозгу присутствуют эндогенные рецепторы лектинов, причем изменения в характере экспрессии лектинов и их рецепторов в процессе онтогенеза могут отражать специализацию внутри этих обширных групп молекул в соответствии с выполняемой в настоящий момент функцией.
- 7. Функции лектинов, по-видимому, обуславливаются взаимодействием их с эндогенными рецепторами и могут быть связаны как с передачей информации, так и с прямым участием в метаболических процессах.

Недостаточность наших знаний о лектинах не позволяет воссоздать более или менее цельную картину функционировачия этой группы белков. Многие явления предстоит еще подробно изучать с тем, чтобы дать ответы в первую очередь на вопросы о месте и роли лектинов в жизнедеятельности организма в целом и ЦНС в частности. Так, высокая гомологичность в-галактозидспецифичных лектинов в различных тканях и даже видах животных, далеко отстоящих друг от друга в филогенетическом отношении, может свидетельствовать либо о выполнении лектинами какой-либо консервативной функции. присущей многим (если не всем) позвоночным, либо о том, что специфичность взаимодействия лектин-рецептор обуславливается наличием в клетке того или иного рецептора. В этом случае выполняемая лектином функция будет определяться экспрессией комплементарного лиганда, обуславливающего высокую специфичность и направленность взаимодействия. Подобная схема может лежать в основе функционирования всех углеводсвязывающих белков (лектинов) не только животных, но и других жизых организмов.

Для создания цельной картины функционирования лектинов в мозгу млекопитающих предстоит еще накопить значительный объем информации. В этом отношении наиболее перспективными нам представляются следующие направления изучения лектинов мозга:

- а) установление наличия лектинов с различной углеводной специфичностью в отделах мозга (в том числе лектинов, чья активность зависит от присутствия нонов кальция—наличие таких лектинов продемоистрировано для других тканей животных [69]);
- б) изучение локализации лектинов в норме и при натологии (а также в онтогенезе); локализация и ориентация лектинов на мембранах и других клеточных структурах, например, цитоскелете;
- в) изучение эндогенных реценторов лектинов—не только гликопротеннов, но и других гликоконъюгатов;

г) изучение взаимодействия лектин—рецептор in vitro и in vivo. Нам представляется, что дальнейшие исследования в этих направлениях будут способствовать развитию и расширению наших представлений о лектинах и их роли в жизнедеятельности организма.

THE BRAIN LECTINS: CHARACTERISTIC, FUNCTIONS. RECEPTORS

LEPEKHIN E. A., DOLJENKO M. I., BEREZIN V. A. Dnepropetrovsk State University

The modern data about carbohydrate-binding brain proteins and their endogenious receptor are summarized in present report. The properties and cellular and subcellular localization of lectins as well, as that of their probable receptors during ontogenesis have been cosidered in detail. The hypotheses suggested by various authors concerning the possible role of the carbohydrate-binding proteins in the processes of information transmission through cellular membranes and in the processes of the formation and functionation of tissue and cell organelles have been analyzed.

The suggestions are brought about the level of specificity at the lectin-receptor interaction and about the reasons of absence of the lecins organ—and tissue specificity. The most importand (by authors opinion) directions of the investigation of brain lectins and their receptors are specified.

ЛИТЕРАТУРА

- 1. Radcmacher T. W., Parekh R. B., Dwek R. A. Ann. Rev. Biochem., v. 57, p. 785-838, 1988.
- 2. Baronbes S. Trends Biochem. Sci., v. 13, p. 480-482, 1988.
- 3. Franz H., Ziska P., Mohr J. Acta hystochem., v. 71, p. 19-21, 1982.
- Goldstein I. I., Huges C. R., Monsigny M., Osawa T., Sharon N. Nature (London), v. 285, p. 66, 1980.
- Kocourek J., Horejsi V.—In: Lectins: Biology, Biochemistry. Clinical Biochemistry. Walter de Gruyter, Berlin. v. 3, p. 3-6, 1983.
- Sharon N.—In: Glycoconjugate research, v. 1, p. 459—'91, New York, Acad. Press, 1979.
- 7. Lis H., Sharon N. Ann. Rev. Blochem., v. 55, p. 35-67, 1986.
- Barondes S. H., Gitt M. A., Leffler H., Cooper N. W. Biochemie, v. 70p. 1627-1632, 1988.
- 9. Hirabayashi J., Oda Y., Oohara T., Yamagata T., Kasai K. Biochim. et biophys. acta. v. 916, p. 321-327, 1937.
- Leffler H., Masiarz F. R., Barondes S. H. Biochemistry, v. 23, p. 9222-9229, 1989.
- 11. Ashwell G, Harfold J. Ann. Rev. Blochem., v. 51, p. 531-554, 1982.
- 12. Barondes S. H. Science, v. 223, N 4642, p. 1259-1264, 1984.
- 13. Sharon N., Lis H. Science, v. 246, p. 227-234, 1989.
- 14. Feizi T., Childs R. A. Nature (London), v. 329, p. 678, 1987.

115. Frizi T. Biothem Soc. Trans., v. 16, p. 930-934, 1988.

Di Benedetta C., Corsi P., Gennarini G., Vi.el.o F.—In: Multidi c p'inary Approach to Brain Development, v. 9 p. 57 - 6; Amsterdam, E'sevier, 1980.

Fa'chi M. J., Gerhart T. G., Myers T. G., Drew s. L. R. Brain Fes. v 415.
 p. 30 - 39, 1987.

- 18. Estruch R. Damjanno I. Arch. Pathol Leb. Med., v. 110, p. 730-7 5, 19 6,
- 19. Bhat N. R., Waechter C. J., J. Neurochem , v. 5 p. 375 381, 1988
- 20. Campagnoni A. T. J. Neurochem, v. 17, p. 1-4-19-8.
- 21. Sanes J. R. Ann. Rev. Neurosci., v. 12 p. 49 116, 989.
- 22. Kobiler D., Larondes S. H. Dev. Biol., v. 60, p. 325-330, 1977.
- 23. Kohi'er D., Beyer E. C., Barondes S. A. Dez. Boy., v. 61, p. 235-271, 1978
- 24. Simpson D. L., Thorne D. R. Naure (London), v. 266, N 5369 p 367-369 1977.
- Caron M., Joubert R., Blatter D. Biochim, et hiophys, acta, v. 925, p. 290-296, 1987.
- Gitt M. A., Barondes S. H. Prot. Nat. Acad. Sci. USA, v. 83 p 7603-7607, 1986.
- 27 Regart J. J. Dodd J., Barondes S. H., Jessell T. M. Proc. Nat. Acad. Sci. U3A, v. 83, p. 2248-2252, 1986.
- Bladier D., Jouhert R., Avetlana-Ada'id V., Kem ny J.-L., Dainel C., Amourou: J., Caron M. Arch. Biochem. Blophys., v. 269, p. 433-433, 1989
- Joubert R., Küchler S., Zanetta J.-P., B'adier D., A ellana-Adalid V., Caron M., Doinel Ch., Vincendon G., Dev. Neurosci., v. 11, p. 397 413, 1989
 Prantal D., Lori C., Trickley R. V., Caronhard A. D., Pere Net A. A. P. Pere Net A. P. Pere Net
- Parou'ad P., Levi G., Teichberg V. I., Strosberg A. D. Proc. Nat. Acad. Sci. USA, v. 84, p. 6345 6348, 1987.
 Roos P. H., Hartman H.-J., Schlepper-Schäfer L. Kolb H., Kolb-Bacho en V.
- Bioch m. et bio liys, acta, v. 847, p. 115-121, 1985.
- 32. Simpson D. L., Thorne D., Loh H. Life Science, v. 22, p. 727-748, 1978.
- Joubert R., Caron M., Deugnier M. A., Bisconte J. C.—In: Marker Protein in Inflammation, (eds. J. Bienvenu, J. A. Grimand, C. Laurent), v. 3, p. 667 - 672
 Berlin, Watter de Grutter, 1.86.
- 34. Jouhert R., Caron M., B'adier D. Cell Mol. Biol., v. 34, p. 79-87, 1988
- Joubert R., Caron M., Deugnier M. A., Rioux F., Sensenbrenner M., Bisconte J. C. Cell Mol. Biol., v. 31, p. 131-138, 1985.
- Kachler S., Joubert R., Avellana-Adalid V., Carom M., Bladier D., Vincendon G., Zanetta J.—P. Dev. Neurosci., v. 11, p. 414—427, 1989.
- 37. Jouhert R., Caron M., Bladier D. Dev. Brain Res., v. 35, p. 146-150, 1987.
- Joubert R., Caron M., Deugnier M. A., Bisconte J. C.—In: Lectins: Biology, Biochemistry, Clinical Biochemistry, (eds. T. C. Bog-Hansen, E. van Driessche), v. 5, p. 213—219, Berlin, Walter de Gruyter, 1986.
- Pettman B., Delaunoy J. P., Devilliers G., Sensenbrenner M. Dev. Biol. v. 75, p. 278-287, 1980.
- Eisenbarth G. S., Ruffolo R. R., Walsh F. C. Blochem. Biophys. Res. Commun., v. 83, p. 1246-1252, 1978.
- Zanetta J. P., Meyer A., Küchler S., Vincendon G. J. Neurochem., v. 49, p, 1250— 1257, 1987.
- Warschal P., Reeber A., Neeser J.—R., Vincendon G., Zanetta J.—P. Biochimie, v. 71, p. 645

 –653, 1989.
- Zanetta J.-P., Reeber A., Dontenwill M., Vincendon G. J. Neurochem., v. 42, p. 334-339, 1984.
- 44. Maynard Y., Baenziger J. U. J. Blot. Chem., v. 257, p. 3788-3794, 1982.
- Zanetta J. P., Bingen A., Dontenwill-Kieffer M., Roeber A., Vincendon G. Cell Mol. Biol., v. 33, p. 423-434, 1987.
- 46. Gabius H. J. Kohuke B., Hellmann T. J. Neurochem., v. 54, p. 334-345, 1988.
 - Dontenwill M., Roussel G., Zanetta J.-P. Dev. Brain Res., v. 17, p. 245-252, 1985.

- Zanetta J-P., Dontenwil M., Reeber A., Vercendon G.-In: Glia-Neuronali Communication in Development and Regeneration (eds. H. Althaus, W. Seffert), p. 92-104, Berlin, Springer-Verlag, 1987.
- 49 Küchter S., Fressinand C., Sarlieve L., Vincendon G., Zanetta J., P. Dev. Neurosci., v. 10, p. 199-212, 1988
- 50 Ikeda K., Yamamoto T. Brain Res., v. 29, p. 10 -108, 1985.
- 51. Cheragie B. J., Weiner S. J., P. ai S. J. Exp. Med., v. 170 p. 1959 1972, 1989...
- 52. Popoli M., Mengano A. Neurochem, Res., v. 13, p. 63-67, 1988.
- Joubet R., Caron M., B'adier D. Comp. Biochem. Physiol., v. 85B, p. 8 9 –863, 1986.
- 54 Cert H., Kohi'er D., Barondes S. H. J. Bot, Chem., v. 256, p. 390-324, 1981.
- 55. Estruch R., Damja 10 1 I. Arca, Pathol. Lab. Med., v. 110, p. 730-735, 1986.
- 56. Hart C. E., Wood J. G. J. Conp. Neurol., v. 239, p. 155-162, 1985.
- Davidsson P., Kartsson B., Svennerholm L. Bran Res., v. 412, p. 254-260, 1987.
- Fa'ehi M. I., Gerhart D. Z., Myers T. G., Drew's L. R. Brain Res., v. 415, p. 30-39, 1987.
- Brückner G., Müller L., Wollwiber L., Sam leben R., Biesold D. J. Hirnforsch., v. 23, p. 615-634, 1985.
- Webb M., Ga'lo V., Schneider A., Ba as R. Int. J. Der. Neurosite me, v. 3, p. 199-203, 1985.
- 61. Березин В. А., Руденко О. А. Бойко Н. И., Гайдар Л. Н., Лепехин Е. А. Укр. биохим. жури, т. 60, № 6, с. 9—14, 1988.
- Berezin V. A., Shevchenko G. M., Rudenko O. A. 10th Int. Lect n Meeting, July 3-8, Prague 1988.
- 63. Березин В. А., Шевченко Г. М., Гайдар Л. И., Зубань Т. И., Азаркина В. В. Биохимия, т. 53, с. 1755—1763, 1988.
- Meeda N., Nukobe M., Nakahira K., Mikoshiba K. J. Neurochem., v. 51. p. 1721-1730, 1988.
- 65. Ripellino J. A., A. argolis R. U. J. Neu ochem., v. 52, p. 807-812, 1989.
- 66 Drickam r K B.o. hem. Soc. Trans., v. 17, p. 13-15, 1989.

Поступила 12. VII. 1990

УДК 577.152.313.16

КАЛЬЦИНЕИРИН МОЗГА И ГРУППА РОДСТВЕННЫХ ФОСФОПРОТЕННФОСФАТАЗ ТНПА 2В

ПАРСАДАНЯН Г. К.

Институт биохимии им. Г. Х. Бунятяна АН Армении

В обзоре рассматриваются новейшие литературные данные о физико-химических свойствах, структуре и вие- и внутриклеточной регуляции Са²⁺-кальмодулинзависимых фосфопротенифосфатаз. Особое виимание уделяется выделенной из первной ткани форме фермента—кальцинейрину. Показана необходимость дальнейших исследований, посвященных нейроспецифическим субстратам кальцинейрина и изучению роли этого фермента в регуляции деятельности мозга,

В настоящее время обратимое фосфорилирование белков оценивается как основной путь управления внутриклеточными процессами в клетках эвкариотов. Столь разнообразные процессы, как метаболизм, сокращение мышц, мембранный транспорт, секреция, транскрипция и трансляция генов, деление клеток, оплодотворение и даже память регулируются этим универсальным механизмом посттрансляционной модификации [1]. Фосфорилирование или дефосфорилирование сериновых, треониновых и тирозиновых остатков приводит к конформационным изменениям в регуляторных белках, модифицирующим их биологические свойства. Степснь их фосфорилированности определяется соотношением соответствующих протеникиназ (ПКаз) и фосфатаз. ПКазы управляются разными способами, но важнейшими регуляторами являются вторичные мессенджеры, аллостерические эффекторы и фосфорилирование [2]. Возникает два вопроса: сколько фосфатаз имеется в клетке и находятся ли они также под контролем вторичных мессенджеров.

Классификация фосфопротеинфосфатаз. Согласно существующим данным, субъединицы (СЕ) четырех фосфопротеинфосфатаз (ФПаз), присутствующих в цитозоле, отвечают за дефосфорилирование сериновых и треониновых остатков множества регуляторных белков [3—6]. Имеются и другие фПазы, однако они либо локализованы в иных субклеточных образованиях, либо дефосфорилируют предпочтительно тирозиновые, а не сериновые и треониновые остатки [7, 8]. Указанные четыре цитоплазматические ФПазы, специфичные к сериновым и треониновым остаткам, были вначале подразделены на два класса—1 и 2, в зависимости от их способности дефосфорилировать β-или α-СЕ

киназы фосфорилазы и чувствительности к двум термостабильным белковым ингибиторам 1 и 2 (1-1 и 1-2). Относящиеся к классу 2 три ФПазы (2A, 2B и 2C) отличаются другот друга по строению субстратной специфичности и путям регуляции (табл. 1). ФПазы 1, 2A и 2C отличаются

Таблица I Характеристика отдельных фосфопротенифосфатаз (ФПаз) [1]

Метол	ФПаза 1	ФПаза 21	ФПаза 2В	ФЛаза 2С
Пред очтительное де ос орилирование или в субъединицы киназы фесфорилазы Ингибирование 1-1 и 1-2 Абсолютная потребность в 2-валентных катионах Стимулирование кальмодулином Ингибирование окадаетой кислотой Фосфорилаза фосфатазная активность к гистону НІ, фосфорилаза фосфатазная ос Активность к казениу, фосфорилированному Пказой с Активность к казениу, фосфорилированному Пказой с Эффект крайне основных белков на активность к фосфорилазе Действие генарина на активность к фосфорилазе Действие р-нитрофенола на активность к фосфорилазе Связывание с генарин-сефарозой в О. 1М NaCl	3-СЕ да нет пет пет да высокая очень пизкая ингиб грование ингибирование запие удерживания	а-СЕ нет нет нет нет да высокая очень высокая высокая активиро вание нет эффекта или активи- рование пнгибиро- вание не связыва ется	2-СЕ П2Т да (Са ² +) да да (слабо) очень низкая	а-СЕ нет да (Мg²+) нет пет очень низкая

шпрокой и перекрывающей субстратной специфичностью, отвечая практически за всю ФПазиую активность в экстрактах мышц и печени относительно множества ферментов, регулирующих основные пути биодеградации и биосинтеза в этих тканях [9]. Однако и в других тканях, например в мозгу, эти ферменты присутствуют в высоких концентрациях, хотя соответствующие субстраты там отсутствуют. Полагают поэтому, что функция указанных ФПаз может быть шире. Возможно, что они участвуют в регуляции уровня фосфорилированности белков, контролирующих синтез и высвобождение нейротрансмиттеров [3].

Установлено, что активность ФПазы I контролируется вторичными мессенджерами. Выше уже было указано, что она сильно ингибируется белком 1-1. Однако 1-1 должен при этом быть фосфорилировая сАМР-зависимой ПКазой [10]. Таким образом, ФПаза I ингибируется гормонами, вызывающими новышение уровня сАМР, например адреналином [1]. Допамию ические нейроны класса D₁ содержат большие количества изоформы I-1, называемой DARPP (ФП, регулируемый донамином и сАМР) [12]. Фосфорилирование DARPP происходит под

лействием нейротрансмиттера донамина, по-видимому, путем ингибирования ФПазы I в этих нейронах.

В отличие от ФПаз 1, 2А и 2С, ФПаза 2В имеет относительно более узкую субстратную специфичность и проявляет весьма слабую активность по отношению к регуляторным ферментам, контролирующим магистральные метаболические пути в мышцах и печени [5]. Фер мент этот зависит от Ca2+ и стимулируется кальмодулином (КМ) [13]. Однако задолго до этого в скелетных мышнах была обнаружена активность фермента, дефосфорилирующего с-СЕ киназы фосфорилазы [14]. На этом этапе регуляция Са2+ ч КМ не была выявлена по следующим трем причинам. Во-первых, з 70-е годы считалось. что при выделении и определении активности ФПаз обязательно должны присутствовать ноны марганца, обеспечивающие максимальную активность и стабильность этих ферментов, а присутствие этих двухвалентных катнонов препятствовало выявлению зависимости ФПазы 2В от Ca²⁺. Во-вторых, препараты ФПазы 2В были в той или иной мере загрязнены ФПазой 2А, проявляющей свою активность в отсутствие двухвалентных катнонов. В-третьих, как стало известно, субстрат, используемый для определения активности ФПазы 2В (киназа фосфорилазы), содержит КМ в виде одной из СЕ [3]. В присутствии этого субстрата не наблюдалось никакой стимуляции КМ, поскольку ФПаза 2В экстрагировала из киназы фосфорилазы значительное количество КМ, достаточное для се максимального активирования. Лишь использование более подходящих субстратов, например 1-1, позволило выявить стимулирование фермента КМ [13, 15].

После очистки до гомогенного состояния, достагиутого благодаря ПААГ ЭФ с ДДС-Nа, К!ее и соавт. [16] было обнаружено, что СЕ-состав ФПазы 2В совпадает с кальцинейрином—главным КМ-связывающим белком из мозга. Вскоре было доказано, что кальцинейрин является КМ-регулируемой ФПазой, обнаруживающей такую же субстратную специфичность, что и ФПаза 2В из скелетных мышц [13]. Для справки можно указать и другие наименования, предложенные разными авторами для этого белка: модуляторсвязывающий белок, Сам—ВР₈₀ и фосфатаза 2 [6].

Физические и химические свойства кальцинейрина. Наличие множественных форм ФПаз в нервной ткани показано нами еще в 1980 г. [17]. ФПаза 2В составляет 1% общего белка мозга, однако в периферических тканях она является лишь одним из ряда КМ-связывающих белков. В скелетных мышцах доля ее в общем растворимом белке не превышает 0,03% [1]. Мозговую форму фермента (кальцинейрин) легче было выделять в больних количествах, что способствовало более углубленному ее изучению. Физические и химические свойства и строение кальцинейрина уже описаны в нескольких обзорах [3, 16, 18, 19].

Кальцинейрии является гетеролимером, состоящим из большой СЕ, с M_r 61 кД и малой СЕ, с M_r 19 кД [3]. Принятие несбледимых мер предосторожности, исключающих денатурирующие условия, вы-

сокую нонную силу, детергенты и длительную экснозицию к Са-хелирующим агентам, нозволяет обнаружить обе СЕ в соотношении 1:1 на протяжении всех этапов очистки [20]. Хотя указанные СЕ и не диссоциаруют в отсутствие двухвалентных катионов, реконструкция фермента из его изолированных СЕ происходит лецы в присутствии Са²⁺ [21]. Большая СЕ (кальцинейрии А) является КМ-связываю-

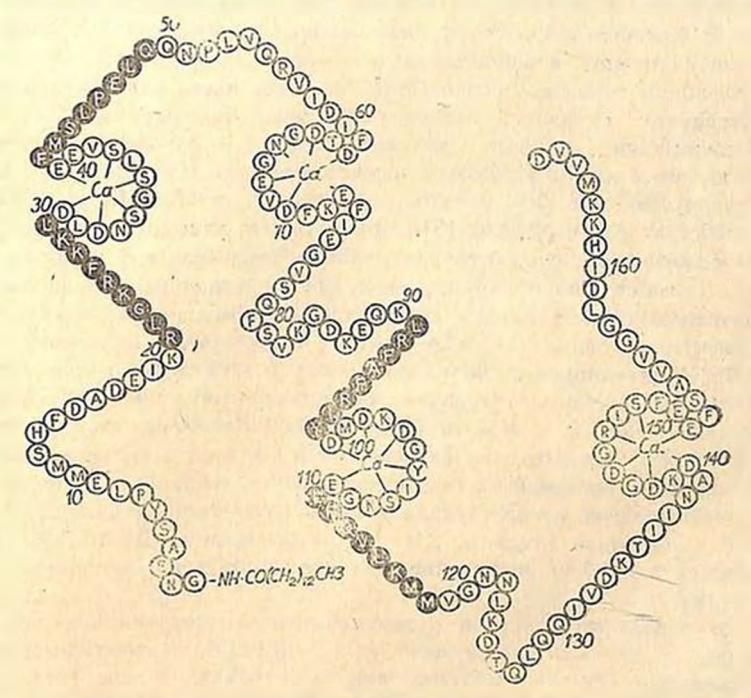


Рис. 1. Строение кальцинейрина В [3]: аминокислотная последовательность, определенияя Aitken и созвт. [24], включает четыре Са²+-связывающие петли, формируемые предполагаемыми восьмичленными ениралями согласно модели «ЕF-крыльев» [25]; темные кружки указывают на положение спиралеобразующих остатков, в соответствии с рассчитанной Levitt, Greer [26] предполагаемой вторичной структурой белка

щим компонентом фермента [21, 22] и содержит каталитический участок [23]. СЕ с M_r 19 кД (кальцинейрии В) представляет из себя Ca^{2+} -связывающий компонент [19, 22, 24] и в ее аминокислотной последовательности выявлено наличие четырех Ca^{2+} -связывающих участков в форме «ЕF-крыльев» [25].

Аминокислотная последовательность, представленная на рис. 1 [3], указывает на высокую степень гомологии между кальцинейрином В и другими представителями семейства Ca²⁺-связывающих белков с «ЕF-крыльями» на уровне четырех Ca²⁺-связывающих петель. Участок аминокислотной цепи, соединяющий Ca²⁺-связывающие уча-

стки II и III кальцинейрина В сходен с выявленными посредством рентгенструктурного апализа участками двух других белков, КМ и тропонина-С, имеющих четыре домена для связывания-Са²: [27, 28]. При рассмотрении N- и C-окончаний доменов II и IV и пептидов, соединяющих Ca²⁺-связывающие домены 1 с II и III с IV отмечены заметные различия между этими белками [16]. Особенностью кальцинейрина В является способность глицильного остатка на его N-конце взаимодействовать с миристиловым спиртом, что свидетельствует о гидрофобном характере белка [29]. Эта особенность кальцинейрина В сближает его с группой белков, имсющих отношение к клеточной трансформации, включая каталитическую СЕ с АМР-зависимой ПКазы, цитохром-В5-редуктазу и некоторые структурные белки РНКретровирусов, например, p15 gag, его предшественник p65 gag, p60 src, его субстрат p36 и p21 ras [3]. Миристиловый участок, очевидно, играет особую роль, способствуя ассоциации этих белков с мембранами [30]. Кальцинейрин обнаруживается как во фракциях частиц, так и в цитозоле, и миристиловая группа, по-видимому, принимает участие в связывании белка с субклеточными структурами. Интересно, что В-СЕ КМ-регулируемых ФПаз из других тканей, будучи миристилированными, локализуются почти полностью в цитозоле [20]. Между кальцинейрином В и КМ отсутствует функциональная перекрестная реактивность. Кальмодулин не способен ин заменить кальцинейрии В при реконструировании фермента из отдельных СЕ А и В, ни ингибировать процесс реконструкции [19]. В свою очередь, кальцинейрии В не в состоянии заменить КМ при активировании ФДЭ сАМР или кальцинейрина А и не ингибирует стимуляцию этих двух ферментов KM [16].

О первичном строении кальцинейрина А сведения чрезвычайно скудны. В этой СЕ сосредоточены все 8—9 остатков тринтофана и 10 цистенновых остатков, обнаруживаемых в кальцинейрине [31].

Дригие представители семейства ФПазы 2В. КМ-регулируемые ФПазы, выделенные из скелетных мынц, тромбоцитов, плаценты, сердца и икры морского ежа, также состоят из двух СЕ с Мг. близкими к М. кальнинейринов А и В [1]. А-СЕ ФПазы 2В, выделенная из скелетных мышц, мигрировала при ПААГ ЭФ с ДДС в виде дублета (61/58 кД) [32]. Однако иммуноблоттинг мышечных экстрактов позволил обнаружить лишь форму с Ме 61 кД [22]. Из этого следует, что полоса с Мг 58 кД образуется в ходе очистки, по-видимому, в результате протеолиза. Причина пизкой величины Мг (55 кД), выявляемой при выделении А-СЕ из поджелудочной железы, может быть сходной (результат протеолиза), а невозможность обнаружения В-СЕ может быть связана со слабой интенсивностью прокрашивания этого компонента при анализе малых количести ФПазы 2В [33]. ФПазу 2В идентифицировали во всех тканях млекопитлющих, используя в качестве критериев зависимость от Са2+-КМ, чувствительность к трифторперазипу [5] или иммуноблоттинг с антителами к кальцинейрину [1, 34]. В то время, как В-СЕ легко обнаруживается иммуноблоттингом, А-СЕ едва детектируется, что свидетельствует о возможности существования изоформ А-СЕ, плохо вступающих в перекрестную реакцию с антителами к ферменту мозга [20]. Этим можно объяснить результаты болсе раннего сообщения о слабой детектируемости данного белка в периферических тканях [35]. Консервативная прирола В-СЕ способствовала детектированию белков близких по строению к ФПазе 2В у некоторых низших эвкарнотов [20].

Из библиотеки сДНК мышей выделен клон сДНК, кодирующий С-терминальную половиму каталитического домена А-СЕ ФПазы 2В [36]. Остатки 1-111 этого клона показали 32%-ную идентичность (51% гомологии) относительно остатков 189—300 ФПазы 1а и 35%-ную идентичность (45% гомологии) с остатками 189—294 ФПазы 2А. Соответствующий КМ-связывающий домен расположен между

аминокислотными остатками 176 и 200 в клоне ФПазы 2В.

Эволюционные изменения в строении ФПаз. Непользование техники рекомбинантной ДНК позволило в последнее время не толькорасшифровать первичную структуру четырех основных типов ФПаз, по и прийти к заключению, что гены, кодирующие ФПазы I, 2A и 2B, относятся к одному семейству генов [37].

Сопоставление аминокислотной последовательности ФПаз 1, 2A и 2B позволило заключить, что участок, соответствующий последовательности остатков аминокислот 59—130 в ФПазе 1 а включает в себя каталитический центр (рис. 2).

Эволюционно консервативные белки обычно выполняют ключевые клеточные функции. Благодаря клонированию соответствующих сДНК установлено, что вышеуказанные ФПазы относятся к числу панболее древних [38]. Лишь несколько других белков, включая гистоны 3 и 4, и КМ характеризуются большей степенью консервативности (табл. 2). Причина этой консервативности может заключаться не только в незаменимости их функций, но и в том, что они взаимодействуют со многими белковыми субстратамл и регуляторными белками, принимая участие во многих клеточных функциях.

В сДПК из мозга человека идентифицированы 2 гена, кодирующие α - и β -изоформы фПазы 2В [39]. Клонирование сДНК также позволило установить, что по меньшей мере 2 изоформы (58 и 59 кД) могут генерироваться альтернативным сплайсингом β -гена [40]. В результате обнаруживаются изоформы, которые отличаются включением из 18 аминокислот у N-конца и имеют разные С-концы. Наибольшие количества мРНК, колирующих ФПазы 2В- α и - β обнаружены в мозгу млекопитающих.

С целью выявления новых тканеспецифичных форм ФПаз недавно из генной библиотеки мозга был выделен клон сДНК, кодирующий белок, сходиый более всего с ФПазой 2В, почему он и был обозначен как ФПаза 2В. Обнаружена 55%-ная идентичность этого фермента (между остатками 170 и 505, исключая включения и делеции) с первичной структурой ФПазы 2В [37]. Полагают, что основной изофор-

Еел к	*Единицы эво- люционного периода			
Гистон Н4	-100			
Кальмодулии	350			
Гистон НЗ	339			
ФПаза 2А-а	100			
ФПаза 1-я	38			
ФПаза 2В-3	66			
Гистон Н2А	60			
Глутаматдегидро-				
ген13а	55			
Тубулан	40			
ПКаза А	39			
«-СЕ белка G;	32			
К+-канал	22			

Примечание. * За единицу эволюционного периода принимается время в млн. дет, необходимое для 1% изменения в аминокислотной последовательности между двумя рядами поколений. Таким образом, это величина, обратная скорости эволюции белка.

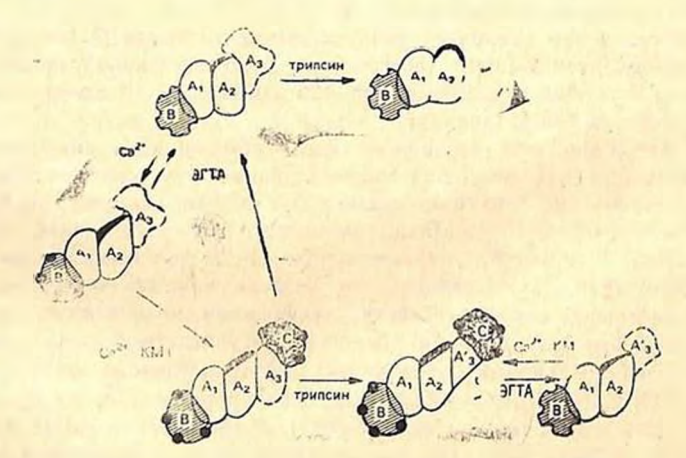


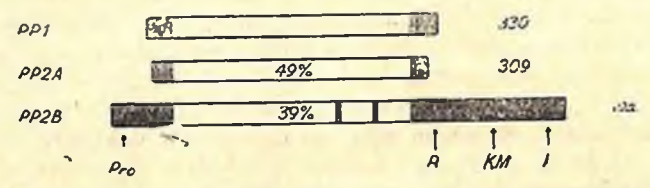
Рис. 2. Группа серии/треониновых фосфопротеннфосфатаз [37]: светлые участки обозначают каталитические домены, а числа в них—% идентичности с фосфопротеннфосфатазой I; каталитический домен фосфопротеннфосфатазы 2В содержит два малых включения из семи и шести остатков; степень идентичности между каталитическими доменами фосфопротеннфосфатаз 2А и 2В составляет 42%; сбоку указано количество аминокислотимых остатков в каждом из белков; фосфопротенифосфатаза2В-β (но не 2В-α) содержит необычный полипролоновый участок (Pro) у N-конца; кальмодулинсвязывающий домен локализован на дополнительном фрагменте цени, прилегающем к С-концу. Там же имеется участок (I), участвующий в подавлении активности фермента в отсутствие Са²⁺-кальмодулина, а также участок (R), способный взаимодействовать с регуляторной субъединицей с М_г 19 кД

мой является ФПаза 2В, тогда как новая разновидность может быть ее минорным компонентом или отделяется от нее на одном из этапов очистки. Предстоит еще сравнить субстратную специфичность, а также нейрональную и тканевую локализацию этих двух форм ФПазы 2В.

Особенности строения кальцинейрина А. Как и многие другие КМрегулируемые ферменты, кальцинейрин активируется при ограниченном протеолизе тринсином и химотринсином [41]. Протеолиз сиецифично действовал на А-СЕ и приводил к отщеплению КМ-связывающего участка, более чувствительного к протеолитическому расщеплению, чем остальная часть молекулы. Протеолиз кальцинейрина предотвращался Са²⁺ и КМ [42] и лаже одинм Са²⁺ [43]. Эти ранине работы послужили основой создания общей модели, согласно которой КМ-связывающий домен кальцинейрина А (как и других КМ-регулируемых ферментов) должен оказывать ингибирующее влияние на каталитический центр. Функция КМ заключается в удалении этого домена, что приводит к активированию фермента [3]. При использовании более специфических протенназ и высоких концентраций КМ имело место более избирательное протеолитическое расшепление, приводящее к образованию промежуточных продуктов с разным уровнем активности и различными регуляторными свойствами. Все это позволило лучше представить в настоящее время организацию функционального домена кальцинейрина и, помимо того, выделить КМ-связывающий участок [3]. В отсутствие КМ кальцинейрии А быстро превращался в полипентил с Мг 43 кД, который все еще был способен взанмодействовать с кальцинейрином В (не подвергающимся протсолизу), по утрачивал способность связываться и активироваться КМ. Активность этого деривата, измеренная в отсутствие Ca2+ и KM, примерно совпадала с активностью пативного фермента в присутствии Ca2+ и КМ. Добавление Ca2+ без КМ стимулировало активность этих образцов в 3-4 раза, что значительно превышало активность нативного кальиниейрина в присутствии Ca2+-KM. Полагают, что такая стимуляция Са²⁺ осуществляется путем связывания Са²⁺ с кальцинейрином В. Са2+ и КМ замедляют протеолитическое расщепление А-СЕ. При этом кальцинейрии В сохраняется интактным и продолжает оставаться связанным с гидролизованным кальципейрином А. Первый интермедиат кальцинейрина А, образующийся при протеолизе, имеет Мг 57 кД и пока остается соединенным с КМ. Как и фрагмент с Mr 43 кД, форма с Mr 57 кД отличается высокой активностью в отсутствие Са2+-КМ и не стимулируется КМ. Однако в отличне от фрагмента с Mr 43 кД, эта форма кальцинейрина не активируется Са?+ как в присутствии, так и в отсутствие КМ. Таким образом, удаление пептида с Мг 4 кД с конца молекулы повышает активность и устойчивость фермента к действию КМ, что свидетельствует об ингибиторном характере этого пентида. Следовательно, в нем и расположен ингибиторный домен, отличающийся от КМ-связывающего домена. Полагают, что КМ-связывающий домен, сохраненный в 57 кД-разновидности, по утраченный в 43 кД-деривате, предотвращает стимуляцию

Са²⁺, медиируемую кальцинейрином В и, тем самым, образует другой независимый ингибиторный домен [3]. Присоединение КМ к кальцинейрину усиливает чувствительность каталитического участка к протеолизу. Схематическое изображение способов активирования кальцинейрина КМ и ограниченным протеолизом представлено на рис. 3 [16]. Согласно этой модели, кальцинейрии А содержит, по меньшей мере, 4 функциональных домена.

1. КМ-связывающий участок, сохраняющий эту способность при выделении фермента. Этот чувствательный к протепназам домен защищается при взаимодействии с КМ.



Puc. 3. Схематическое изображение активирования кальцинейрина Ca²⁺, Ca²⁺-кальмодулином и тринсином [16]: A_2 , A_1 и A_3 обозначают каталитический, кальцинейрин В-связывающий и кальмодулиневязывающий домены кальцинейрина A: В—кальцинейрин В; С—кальмодулин. Полукруги на субъединице представляют участок связывания Ca²⁺ в свободном состоянии, а темные кружки—участки, заиятые лигандом. Каталитический участок кальцинейрина A указан черной полосой

2. Кальцинейрин В-связывающий домен, устойчивый к протеолизу, по-видимому, вследствие его защищенности кальцинейрином В.

3. Каталитический участок, чувствительность которого к протес-

лизу возрастает при взаимодействии фермента с КМ.

4. Ингибиторный домен, отличающийся от КМ-связывающего домена и особо чувствительный к протеолизу как в отсутствие, так и в присутствии КМ. Этот домен расположен пекалеко от N- или С-концов белка.

В свою очередь, кальцинейрии В содержит четыре Са²⁺-связывающих участка. Как выяснилось в опытах с реконструкцией фермента из СЕ А и В, кальцинейрии В играет важную роль в стабилизации активной конформации КМ-регулируемой ФПазы [44]. Сочетание ингибиторного и стимуляторного доменов, скорее всего, является общей характерной чертой КМ-регулируемых ферментов.

Роль Ca^{2+} и кальмодулина в регуляции ФПазы 2В. ФПаза 2В из мозга связывает 1 моль КМ на моль фермента, проявляя весьма высокое сродство (K_d =0,1 нМ). КМ активирует фермент в 5—10 раз [1, 18]. Активирование это обратимо, не связано с диссоциацией Λ - и В-СЕ, но сопровождается конформационными изменениями [1]. Активирование происходит вследствие увеличения V при незначительном изменении величины K_m [18]. Процесс активирования включает связывание 2 ионов кальция с KM, что, в свою очерель, создает возможность взаимодействия KM с фосфатазой. Дополнительное связы-

вание нонов кальция приводит к активированию фермента. При длительной инкубации КМ способен также вызвать его дезактивирование. Такая потеря активности не восстанавливается после диссоциации КМ, однако кальцинейрин может реактивироваться добавлением Са²⁺ в присутствии КМ. Стимулирование Са²⁺ носит кооперативный характер, свидетельствуя о том, что для активирования требуется наличие более чем одного моля Ca2+/моль фермента. Однако точное количество занимаемых Са24-участков на В-СЕ или на КМ, необходимых для активирования или взаимодействия пока неизвестно [3]. Наличие Ca2+-связывающих участков на двух компонентах очень затрудияет анализ стимулирующего действия Ca²⁺ на фермент.

Проявление активности ФПазы 2В из скелетных мыши полностью зависит от наличия Ca2+ как в присутствии, так и в отсутствие КМ, причем Ао,5 для этого катиона близко к 1 мкМ. В присутствии насыщающих концентраций КМ (0,03 мкМ) V возрастает примерно в 10 раз, не влияя на Кы к субстратам [13]. Как уже сообщалось выше, активирование ФПазы 2В осуществляется благодаря нейтрализации КМ ингибирующего эффекта 4 кД-домена А-СЕ, отличающегося от КМ-связывающего домена. Отщепление этого весьма чувствительного к протеолизу фрагмента приводит к потере способности

Са2+-зависимого фермента стимулироваться КМ [1].

Ны один из других изученных Са2+-связывающих белков не способен заменить КМ или взаимодействовать с участком его связывания на кальципейрине А. Так, тропонии С не связывает и не актипирует кальцинейрин [3]. Ввиду высокого сродства к КМ кальцинейрии сам является сильным ингибитором КМ-стимулируемых реакций. Именноблагодаря этому свойству он был впервые охарактеризован как ингибитор КМ-зависимой ФДЭ сАМР [45]. Позднее было обнаружено его ингибирующее воздействие на аденилатциклазу и киназу фос-

форилазы [3].

Другие пути регуляции. Длительная инкубация ФПазы 2В с Са2+- КМ или субстратами дестабилизировала фермент, переводя его в форму, характеризующуюся очень низкой активностью даже в присутствии Ca2+-KM [13, 15, 46]. Фермент реактивировался переходными металлами, в частности Mn2+ [13, 15, 47] или Mg2+ в присутствии Ca²⁺ [3]. При умеренно щелочном рН кальшинейрин, аффицио очищенный на КМ-сефарозе, проявлял абсолютную зависимость от Mg²⁺ и восстанавливающих агентов для восстановления максимальной, Са²⁺-кальмодулинстимулируемой активности [3, 48]. Другие металлы также в известной степени активировали кальцинейрин [18]. Изолированная A-CE проявляла абсолютную зависимость от Mn2+ [23, 44]. Из этого можно заключить, что каталитическая СЕ имеет участок связывания для переходных металлов. В-СЕ не связывает Mn²⁺ [49]. В сырых экстрактах или в частично очищенном состоянии ФПаза 2В скелетных мышц [13, 15] и мозга [20] не нуждается в присутствии Mg²⁺ и не стимулируется Mn²⁺. Можно предположить. что экспонирование с Ca²⁺-KM вызывает высвобождение какого-то природного кофактора, вероятно иона металла, однако определенного экспериментального подтверждения эта гипотеза еще не нашла. Многие авторы указывают, что Ni²⁺ и Mn²⁺ стамулируют активность аффинно-очищенного кальцинейрина [18, 46, 47]. Эта Mn²⁺-зависимая форма фермента слабо ингибируется трифторперазином. Имеются сообщения, что кальцинейрии содержит тесно связанные с нам металлы, идентифицированные как Fe и Zn [18], хотя неизвестно, к какой СЕ фермента это относится.

Поскольку в строении киназы фосфорилазы имеется ряд особенностей, сближающих ее с ФПазой 2В, представляло интерес выяснить, способиа ли эта фосфатаза, как и вышеуномянутый фермент, активироваться универсальным механизмом фосфорилирования. Кальцинейрии, выделенный в условиях, не исключающих его частичного дефосфорилирования, содержал 0,2—0,6 моль шелочнолабильного фосфата на 1 моль фермента [3]. Сообщалось также, что А-СЕ может дефосфорилироваться стохиметрически *in vitro* ПКазой С [50]. Однако фосфорилирование не влияло на активность, измеренную в условиях насыщающих концептраций Са²⁺ и КМ. Поэтому не наблюдалось существенных сдвигов ни в А_{0.5}, ни К_т или V.

ФПаза 2В может подвергаться и другим постгрансляционным модификациям. Миристилирование приводило к изменениям в активности и субклеточной локализации кальцинейрина В, однако эта модификация необратима, поэтому вряд ли может служить реальным регулятором фермента. Кальцинейрии А служит субстрагом для карбоксиметилтрансфераз, способных метилировать до двух карбоксильных групп на 1 моль фермента. Хотя при этом и наступает потеря способности стимулироваться КМ [51], нельзя представить, что этот процесс является физиологически значимым механизмом регуляции ФПаз 2В. Попытки осуществить гликозилирование фермента потерпели неудачу [3]. Хотя ранее мы и привели примеры необратимого активирования кальципейрина ограниченным протеолизом, невероятно, чтобы таким путем могла бы осуществляться регуляция фермента in vivo. Таким образом, единственным достоверно установленным механизмом регуляции активности кальцинейрина in vivo остается его взаимодействие с Са2+ и КМ.

Тканевое распределение ФПазы 2В. Широкая распространенность КМ-зависимой ФПазы в тканях эвкариотов была обнаружена впервые Ingbritsen и соавт. [52], показавшими наличие высоких уровней Са²⁺-зависимой, трифторперазинчувствительной ФПазной активности в скелетных мышцах и мозгу, и несколько меньшую активность в сердце, печени и жировой ткани [19]. В отличие от этого, безуспешными оказались первые попытки идентифицировать мозговую форму фермента (кальцинейрии) в других тканях, включая скелетные мышцы, радиоиммунными методами, с использованием гитител к кальцинейрину мозга быка [35]. Недавно, однако, использование Вестерн-блот-

тинга тканевых экстрактов с антителами к кальцинейрину из мозга быка дало возможность обнаружить наличие кальцинейринподобных белков в скелетных мышцах, сердце, печени, почках, селезенке, тимусе, гладких мышцах и легких быка [20], лимфоцитах свиней [53], илаценте [34] и сперме собак [50]. Использованный метод оказался пригодным лишь при выявлении В-СЕ. А-СЕ зачастую плохо идентифицировались, что позволило предположить о большей ткансспецифичности ее изоформ, плохо взаимодействующих с антителами на фермент мозга [20]. Консервативная природа кальцинейрина В позволила позднее выявить кальцинейриноподобные белки у низших эвкарнотов, морского ежа и в икре лягушки [3].

Сравнение активности ФПазы 2В в разных тканях также сталкивается с определенными трудностями, связанными с быстрым гидролизом их тканевыми протеазами, переводящими фермент в Са²⁺-КМ-независимую форму, а затем и приводящими к его инактивации. Ничего не известно и о тканеспецифичных ингибиторах ФПазы 2В. Между тем, хотя в сырых экстрактах мозга и скелетных мышц выявляется примерно сходная активность этого фермента [3], вестери-блоттинг свидетельствует примерно о 10—20-кратном превышении содержания этого белка в нервной ткани по сравнению со скелетной мышцей [20].

Кальцинейрин составляет около 1% от общего белка мозга и является одним из основных КМ- связывающих белков [20]. В периферических тканях содержание ферментного белка не превышает 0,03%

от общей массы белка [19].

Ment San

Субклеточное распределение ФПазы 2В. КМ-регулируемая ФПаза мозга, спермы, клеток простейших детектируется как в цитозоле, так и в субклеточных частицах [20, 54, 55]. Грануляриая форма, не солюбилизируется полностью пенонными детергентами и может связываться не только с клеточными мембранами, но и с элементами цитоскелета [3]. В других тканях фермент оказался растворимым и полностью экстрагировался при высокой ионной силе в отсутствие детергентов [20]. Согласно данным иммуногистохимии, небольшие количества кальцинейрина связаны с постсинаптическими плотностями [56] и диффузно распределены в цитоплазме, пренмущественно в постсинаптических локусах, плазматических мембранах и микротрубочках дендритов [57].

В целом господствует мисине, что КМ-зависимая ФПаза в ядре отсутствует [35, 58]. Что касается распределения кальцинейрина на клеточном уровне, он выявляется иммунохимически во всех регионах ЦНС, по распределен очень гетерогенно: наибольшее количество обнаружено в хвостатом теле и путамене [57]. Фермент специфически локализован в нейронах, хотя одни нейроны более богаты им, чем другис [59]. В налочках зрительного анпарата и радужной оболочке он локализован в фоторецепторах, а также биполярных и ганглиональных клетках [60]. Некоторые популяции клеток хвостатого ядра, чекоторые ипрамидальные клетки II—IV уровней неокортекса и пи-

рамидальные клетки субрегнонов СА1—СА2 гиппокампа отличаются высоким содержанием кальцинейрина, тогда как клетки V уровия пеокортекса, нейроны черной субстанции и бледного шара, а также клетки Пуркинье мозжечка, отличаются значительно более низкими концентрациями фермента. В клетках нервной ткани кальцинейрии распределен по всей цитоплазме (дендриты, аксоны, перикарнон и аксональные окончания) [59].

Субстратная специфичность. В отличие от многих ФПаз, отличающихся широкой специфичностью в отношении к ФП, кальцинейрим проявляет высокую степень субстратной специфичности [3, 16, 18, 19]. К числу быстро дефосфорилирующихся субстратов кальцинейрина, известных к настоящему времени, относятся α-СЕ киназы фосфорилазы, 1-1 ФПазы 1 и регуляторная СЕ сАМР-зависимой ПКазы типа II [16].

Как показано на табл. 3, большинство субстратов ФПазы 2В фосфорилируются сАМР или СМР. Другие субстраты, например, легкие цепи миозина, или субстратный белок сGMР-зависимой ПКазы (G-белок) дефосфорилируются гораздо слабее (0,1—0,5 мкмоль в Таблица 3

Субстратная специфичность кальцинейрина [19]

Субстраты	Кинава	V (имоль в мин мг)	Кт (мкч)
I—I DARDP 32 С-субстрат Блок КГ а-(Е киназы фосфорилазы Регуляторная Е ПКазы II с АМ → зав кимая ФДЭ	CAMP CAMP COMP CAMP CAMP CAMP	2080 260 80 320 1040	3.8 3.0 5.9 5,0
Бслки микротрубоч к: м AP - 2 Тау Основной б лок м ислина	cAMP или Ca [‡] +	40 1—1700 630— 20 392	21 1,4-3,3 8.0

мин/мг) [13, 31]. Кальцинейрин может дефосфорилировать также казеин, гистоны VS и IIа, а также модельные субстраты, как например, фосфотирозии и парапитрофенилфосфат [16]. Фосфотирозиновый остаток в белках считался плохим субстратом, однако в настоящее время появились сведения, что кальцинейрии способен дефосфорилировать некоторые ФП, фосфорилированные по тирозипу [18].

В отличие от ФПаз 1, 2A и 2C, ФПаза 2В не дефосфорилирует в сколь-нибудь заметной мере ферменты, непосредственно участвующие в регуляции основных метаболических процессов, что говорит о ее сравнительно узкой специфичности *in vivo* [3]. Вlumental и соавт. [61] обнаружили, что пептид, соответствующий 81—99 остаткам R-CE сАМР-записимой ПКазы типа II, дефосфорилировался с К_т и V, характерными для интактного белка.

Хотя окончательные выводы о структурных параметрах субстрата, определяющих специфичность фермента пока не сформулированы, указывается, что важной структурной детерминантой субстратов КМ-

зависимых ФПаз может служить амфинатичная плоская β-конфигурация [16]. Каких-либо особенностей в аминокислотной последовательности в участке, где происходит гидролиз фосфорильного остатка серина установить не удалось. К числу обнаруженных потенциальных in vivo субстратов из нервной ткани относятся 63 кД-изофермент ФДЭ, DARPP, белок КF с M_r 18 кД, выделяемый из гранулярной фракции нервных клеток (функция неизвестна), и связанные с микротрубочками белки МАР-2 и Тау.

Физиологическая роль. Как уже было отмечено, в отличие от ФПаз с широким спектром действия, регулирующих ключевые ферменты углеводного и липисциого обмена, ФПаза 2В характеризуется как фермент, дефосфорилирующий белки, регулирующие активность других ФПаз и ПКаз, например, ингибитор-1 и его изоформу DARPP, регуляторную СЕ ^МР-зависимой ПКазы-II и α-СЕ киназы фосфо-

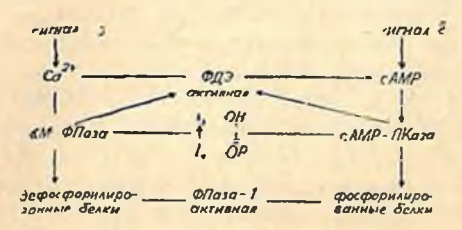


Рис. 4. Механизмы, по которым сигналы, поступающие через Ca²⁺, способны ослаблять сигналы, поступающие через сAMP [2]. КМ-ФПаза—кальмодулинзависимая фосфопротенифосфатаза 2В, 1-1-ОН и 1-1-ОР—дефосфорилированияя и фосфорилированияя формы ингибитора-1; сAMP-ПКаза—сAMP-зависимая протеникиназа

рилазы [2]. В присутствии микромолярных концентраций Ca°+ ФПаза 2В эффективнее остальных фосфатаз гидролизует 1-1 в скелетных мышцах [5]. Наступающее вследствие этого повышение активности ФПазы 1 приводит к подавлению активности фосфорилазы и, следовательно, снижает интенсивность гликогенолиза. В мозгу же DARPP-32 и G-белок, ингибирующие в фосфорилированном состоянии ФПазу 1, специфически локализованы соответственно в допаминонентивных нейронах неостриатума и мозжечка, где наблюдаются особенно высокие уровии кальцинейрина [19]. Дефосфорилирование (и инактивирование) І-1 ФПазой 2В способствует повышению активности ФПазы 1, и если этот процесс действительно происходит in vivo, может оказаться, что Ca2+ этим путем участвует в регуляции ФПазы 1. Этот уникальный каскалный механизм, в котором одна ФПаза активирует другую (рис. 4), позволяет сигналам, поступающим через Ca²⁺-систему, корректировать метаболические пути, находящиеся под контролем циклических нуклеотидов. Инактивируя 1-1 и DARPP, кальцинейрин служит аптагонистом сАМР-зависимой ПКазы, фосфорилирующей эти регуляторные белки [2]. Кроме того, дефосформинруя изоформы ФДЭ с М, 60 и 63 кД, ФПаза 2В, способствует ослаблению внеклеточных сигналов, реализуемых через сАМР (рис. 3).

В мастоящее время интенсивно исследуется роль ФПазы 2В в регуляции транспорта Са²⁺ в нейронах. Дигидропиридинчувствительный Са²⁺-канал с M_r 160 кД фосфорилируется КМ-зависимой мульти-ПКазой и дефосфорилируется кальцинейрином [62]. Хотя обнаружено дефосфорилирование ряда белков сперматозондов в присутствии КМ-зависимой ФПазы, вопрос об участии этого фермента в регуляции подвижности спермы остается пока еще открытым [3]. Нмеются предварительные данные о том, что микроинъекции комплекса Са²⁺-КМ-кальцинейрии стамулируют экзоцитоз у Рагашесіцт [55].

Особый интерес в последнее время вызывает тирозии-фосфотазиая активность ФПазы 2В. К числу субстратов, дефосфорилирующихся пофосфотирозиновому остатку, относится урогастроновый рецентор эпилерминального фактора роста [34] и фосфотирозинсодержащий фрагмент R-CE сАМР-зависимой ПКазы [63]. Однако эти опыты проведены *in vitro* с использованием очищенной на КМ-сефарозе Мп²⁺-зависимой модифицированной ФПазы 2В.

Несмотря на объемлющие сведения о строении КМ-зависимой ФПазы и путях ее регулянии, физиологическая роль этого фермало изучена. Наиболее важные пока еще он должен, по-видимому, выполнять в мозгу, где концентрация его достигает 1%. Однако окончательных выволов нет в связи с отсутствием сведений об in vivo дефосфорилировании ряда субстратов кальцинейрина в ответ на сигналы, повышающие уровень внутриклеточного Ca²⁺. Во многом неизвестна также физиологическая роль белков НС, дефосфорилирующихся этим ферментом или значение ковалентной модификации в регуляции их деятельности. Возможно, микрониъекция КМ-зависимой фосфатазы или ее аптител в определенные клетки позволит проследить за физиологическим ответом и идентифицировать ФП, подвергающиеся при этом дефосфорилированию.

BRAIN CALCINEURIN AND A QROUP OF RELATED TYPE-2B PROTEIN PHOSPHATASES

PARSADANIAN H. K.

Institute of Biochemistry, Armenian Academy o' Sciences, Yerevan

The newest literature data concerning the physico-chemical properties, structure and extra- and intracellular regulation of Ca²⁺/calmodulin-dependent protein phosphatase are considered. The special attention is paid to the neuronal form of the enzyme, calcineurin. The Importance of the investigations devoted to the neurospecific substrates of calcineurin and the role of the enzyme in the regulation of brain function is emphasized.

ЛИТЕРАТУРА

- 1. Cohen P. Ann. Rev. Biochem., v. 58, p. 453 508, 1989.
- 2. Cohen P. Proc. R. Soc. Landon, Ser. B. v. 234, p. 115-144, 1988.
- Kiee C. B., Cohen P.—In: Molecular Aspects of Cellular Regulation (ed. P. Cohen), p. 225-248. Elsevier, Amsterdam, New-York, Oxford, 1988.
- 4. Cohen P. Nature, v. 296, p. 6 3 620, 1932.
- 5. Ingebritsen T. S., Cohen P. Science, v. 221, p. 331-338, 1983.
- Merle edc W.—In: Advances in Protein Phosphatases (ed. W. Merlevede, J. Di Salvo), v. 1, p. 1-48, Leaven University Press, Leaven, 1985.
- Fradford A. P., Yeaman S. J.—In: Advances in Protein Phosphatases (eds. W. Marievede, J. Di Salvo). v. 3, p. 73-106, Leuven University Press, Leaven, 1986
- 8. Fou kes J. G. Curr Top. Microbiol. Immunol., v. 107, p. 163-180, 1983.
- 9. Cohen P. Eur. J. Biochem, v. 101, p 433-448, 1985.
- 10. Huang F. L., Glinsmann W. H. Eur. J. Blochem., v. 70, p. 419-425, 1976.
- 11. Fou kes J. G., Cohen P. Eur. J. Biochem., v. 97, p. 251-255, 1979.
- Hemmings H. C., Greengard P., Tung H. Y. L., Cohen P. Nature, v. 310, p. 503-5:8, 1984
- 13 Stewart A. A., Ingebritsen T. S., Manalan A., Klee C. B., Cohen P. FEBS Lett., v. 137, p. 80-84, 1982.
- 14. Intoniw J. F., Cohen P. Eur. J. Blochem., v 63, p. 45-54, 1976.
- S. & Wart A. A., Ingebritsen T. S., Cohen P. Eur. J. Biochem., v. 132, p. 289—295, 1983.
- Kiee C. B., Mana'an A. S., Krinks M. H.— In: Calcium Regulation in Biological Systems (eds S. Ebashi, M. Endo, K. Imahoti, S. Kakiuchi, Y. Nish zuka), p. 29 49. Acidemic Press, Tokyo, 1984.
- 17. Парсаданян Г. К., Тер-Татевосян Л. П., Бунятян Г. Х. Докл. АН СССР. т. 257. с. 1258—1261, 1981.
- Martin B. L., Gra es D. J.—In: Advances in Protein Phosphatases (eds W. Merlevele, J. Di Salvo), v. 4, p. 95-125, Leuven University Press, Leuven, 1937.
- Klee C. B., Krinks M. H., Mana an A. S., Draetta G. F., Newton D. L.-In: Advances in Protein Phosphitases (eds. W. Marlevede, J. Di Salvo), v. I. p. 135-146, 1985.
- 20. Krinks M. H. Mana'an A. S. Klee C. B. Federat. Proc., v. 44, p. 707a, 1935.
- Sharma R. K., Desai R., Waisman D. M., Wang J. H. J. Biol. Chem., v. 254, p. 4276-4280, 1979,
- 22. Klee C. B., Crouch T. H., Krinks M. H. Proc. Nat. Acad. Sci. USA, v. 76, p. 6270 6273, 1979.
- 23. Gupta R. C., Khandeiwa! R. L., Su!akhe P. V. FEBS Lctt, v. 19), p. 104-108, 1985.
- 24. Aitken A. Klee C. B., Cohen P. Eur. J. Brochem., v. 139, p. 663-671, 1934.
- 25. Kretsinger R. H. CRC, Crit. Rev. Biothem., v. 8, p. 119-174, 1980.
- 26. Levitt M., Greer T. J. Mol. Biol. v. 114, p. 181-193, 1977.
- Babu Y. S., Saik J. S., Greenhough T. J., Bugg C. E., Means A. R., Cook W. J. Nature, v. 315, p. 37-40, 1985.
- 28. Herzberg O, Jam's M. N. A Nature, v. 313, p. 653-659, 1985.
- 29. Aithen A., Cohen P., Santikara S., Williams D. H., Ca'der A. G., Klee C. B. FEBS Lett., v. 150, p. 314--18 1982.
- Peliman D., Garber E. A., Gross F. R., Hanafusa H. Nature, v. 314, p. 374

 377, 1955.
- 21. Klee C. .., Krinks M. H., Mana an A. S., Cohen P., Stewart A. A. Methods, Enzymol. v. 102, p. \$27-244, 1.83
- 32. Stewart A. A., Ingebri.s.n . . . Cohen P. Eur. J. Biochem., v. 132, p. 289-295, 1983.

- 33. Burnham D B. Biothem, J., v. 231, p. 35-341, 1985.
- 34. Pallen C. J., Valentine K. A., Wang J. H., Hollenderg H. O. Biochemistry, v. 24, p. 4727-4730, 1985.
- 35. Wallace R. W., Tallant E. A., Cheung W. Y. Biochemistry, v. 19, p. 1831-1837, 1980,
- Kinzaid R., Nightinga'e M. S., Martin B. H. Proc. Dat. Acad. Sci. USA, v. 85, p. 8983—8987, 4985.
- 37. Cohen P. T. W. Genet. Human Nutr. (in press).
- Cohen P. T. W., Dombradi V.—In: Advances in Protein Phosphatases (eds. W. Merlevede, J. Di Salvo), v. 5, p. 447-463, Leuven University Press, Leuven, 1989.
- Kuno T., Takeda T., Harai M., Ito A., Mukai H., Tanaka C. Biochem. Biophys. Res. Commun., v. 165, p. 1352-1358, 1989.
- 40. Gueurni D., Klee C. B. Proc. Nat. Acad. Sci. USA, v. 85, p. 9138-9187, 1989,
- Simonelli P. F., Li H. C.—In: Advances in Protein Phosp atases (eds. W. Merlevede, J. Di Salvo), v. 1, p. 175-190, 1985.
- 42. Manalan A. S., Klee C. B. Proc. Nat. Acad. Sci. USA, v. 80, p. 4291-4295, 1983.
- 43. Tallant E. A., Cheung W. Y. Biochemistry, v. 22, p. 973-979, 1983.
- Merat D. L. Hu Z. Y., Carter T. C., Cheung W. Y. J. Biol. Chem., v. 260, p. 11053-11059, 1985.
- 45. Klee C. B., Krinks M. H. Blochemistry, v. 17, p. 120-126, 1978.
- 46. Pallen C. J., Wang J. H. J. Biol. Chem., v. 259, p. 6134-6141, 1984.
- 47. Li H. C., Chan W. S. Eur. J. Biochem., v. 144, p. 447-452, 1984.
- 48, Tallant E. A., Cheung W. Y. Arch. Biochem, Biophys., v. 232, p. 269-279, 1984.
- 49. Patten C. J., Wang J. H. J. Biol. Chem., v. 261, p. 16115-16120, 1985.
- 50. Tung H. Y. L. Blochem. Biophys. Res. Commun., v. 138, p. 783-788, 1936.
- Billingsley M. L., Kincaid R. L. Lovenberg W. Proc. Nat. Acad. Sci. USA, v. 82, p. 5612-5616, 1985.
- Ingebritsen T. S., Stewart A. A., Cohen P. Eur. J. Blochem., v. 132, p. 297— 307, 1983.
- 53. Chantler P. D. J. Cell. Biol., v. 101, p. 207-216, 1985.
- Tash J. S., Klee C. B., Means R. L., Tran A., Krinks M. H., Means A. R. J. Cell. Bioi. (in press).
- Momayezi M., Lumpert C. J., Kersken H., Gras U., P. attner H., Krinks M. N., Klee C. B. J. Cell. Biol., v. 105, p. 181-189, 1987.
- 56. Carlin R. K., Grab D. J., Siekevitz P. J. Cell. Biol., v. 89, p. 449-455, 1981.
- Wood J. G., Wallace R. W., Whitaker J. N., Cheung W. Y. J. Cell. Biol., v. 84, p. 66-76, 1980.
- 58. Klumpp S., Steiner A. S., Schultz J. E. Eur. J. Cell. Biol., v. 164, p. 164-770, 1983.
- Solimena M., Klee C. B., Krinks M. H., DeCamilli P.—In: Abs. II Europen Congress on Cell Biology, Budapest, Hungary, 1986.
- Cooper N. F. G., McLaughlin B. J., Tallant E. A., Cheung W. Y. J. Cell. Biol., v. 101, p. 1212—1218, 1986.
- Blumenthal D. K., Takio K., Hansen R. S., Krebs E. G. J. Biol. Chem., v. 261, p. 814 —8145, 1986.
- Hosey M. M., Borsotto M., Lazdunski M. Proc. Nat. Acad. Sci. USA, v. 83, p. 3733-3737, 1996.
- Chan C. P., Gallis B., Blumenthal D. K., Pallen C. J., Wang J. H., Krebs E. G. J. Biol. Chem., v. 261, 9890 9895, 1986.

Поступила 20. XII. 1990

СОДЕРЖАНИЕ

Манухин В. Н., Кичикулова Т. П., Московкин Г. И. Влияние фосфолипазы	
Λ ₂ на связывание м-холино- и β-адреноблокаторов синаптосомами	T
мозга крые Розенгарт 11. В., Шестакова И. Н. Конформационные аспекты взаимодействия	409
Розенгар [*] П. В., Престикова П. П. конформационные аспекты взаимоденствия аммониевых и сульфониевых субстратов с ацетилхолинэстеразой	
	417
Типиан Г. Н. Аконан Г. Е. Сафиазян С. С., Априкян Г. В. Взаимосвязь, ак-	
тиности выпримень прансферазы и транспортном системы возбуждаю-	
TOESULANDE STREET, STR	427
Т H M. Помина : F РОСТОКА Л. М., Маргитич В. М., Федорович	
т м город и и вобие и и пооережник и. В. Влияние тринож-	
тиронина и йодированного масла на тиреондиую и аминокислотную обеспеченность головного мозга у морских свинок	432
DAI AGEISH A. L. CARKER C. A. CARKER	102
D UDLYHISMC Khaca c Skutchisculoup.	
	438
Закарян Т. Р., Бархударян Н. А., Шучалова Ч. П., П., Галоэн А. А. Регуляция сокращения гладкой мускулатуры пептид-	
И. П., Галоян А А Регуляция сокращения городинательной пыма факторами гелоталамуса Галоян А. А., Бобрускин И. Д. Гурвац Б. Я. Абрамян Г. Э. Са ²⁺ -независимая	444
Галоян А. А., Бобрускин И. Д. Гурвиц Б. Я. Моримян Т. Э. Сазачевависимая регуляция активности кальмодулинзависимой фосфодизстеразы из мозга	
регуляция активности кальмодуливания	450
TICDOUKOBA JI. II. MADKUHA	
П. В. Вликине 2-этил-6-метил-оксипиридина на состояние перекисного н. В. Вликине 2-этил-6-метил-оксипиридина на состояние перекисного непрофизиологические эф-	
фекты при нарушении сиг	460
фекты при нарушении сиг Аннаненесса Х. И., Чогеа Л. С., Коновалов Г. В., Майорова Л. П. Интенсив-	
Аннаненесса X. И., Чолеа Л. С., Коновалов галактоцереброзидов и сульфоцере- пость метаболизма общих липидов, галактоцереброзидов и сульфоцере- брозидов гололиого мезга при остром и хроническом ЈНМ коронави-	
брозидов толожного мезга при остром	468
русном энцефаломиелите у можист	
Краткие сообщения	
п. Воличева А. И. Содержание по-	
Васильева Н. Г., Чопик Н. Г., Копьев О. В., Васильев А. Н. Содержание по- лиаминов в головком мозгу кроликов в динамике экспериментальной	
днаминов в головком мозгу кролимов	475
	479
5 - p 3 Face- 11 F Harveing Cart-actin Chilesa harchwellong B	483
мозгу, повышение активности 2-5А-синтетазы, протеникиназы р67К	403
Обзоры	
Лепехин Е. А., Долженко М. И., Березин В. А. Лектины мозга: характеристи-	
WHENCH DOUGHTONN	488
Парадания Г. К Кальнинейрии мозга и группа родственных фосфопротент-	502
фосфатаз типа 2В	002

CONTENTS

Manukhin B. N., Kichikulova T. P., Moskovkin G. N. The effect of phospholi-	
pase A2 on m-cholino- and beta- adrenoblocker binding by rat brain sy-	
naplosomes	409
Rozengart E. V., Shestakova N. N. Conformational aspects of interaction bet-	
ween ammonium and sulfonium substrates and nerve tissue acetylcholine	
esterase	417
Tuesday C. A. Habarian C. C. Cardanian C. C. A. Hartin	717
Turshian G. A., Hakopian G. E., Safrazian S. S., Aprikian G. V. Relations-	
hip between γ-glutamyltransferase activity and the transportation system	
of the exitatory amino acid neurotransmitters	427
Turyanitsa I. M., Pashchenko A. E., Rostoka L. M., Margitich V. M., Fedoro-	
tich T. M., Gorzov I. P., Bobik Y. Y., Poberejnik M. V. The effect of	
triiodothyronine and todinated oil on the thyroid and amino acid providing	
of guinea-pig brain	432
Cobiolise C. V. Continue D. M. Alexino T. C. Cobiolise C. A. Continue	402
Gabrielian S. K., Srapionian R. M., Abelian Zh. G., Sahakian S. A., Saaklan	
F. M., Galoyan A. A. Determination of the content of neurospecific pro-	
e tein-hormonal complex in organism of rats with the experimental myo-	
cardial infarction	438
Zakharyan T. R., Barkhoudaryan H. A., Shus alos a L. A., Ostrovskaya M. V.	
Sharot a N. P., Galoyan A. A. Regulation of smooth muckle constric-	
tion by hypothalamic peptide factors	444
Galoyan A. A., Bobruskin I. D., Gurvits B. Ya., Abrahamyan G. E. Calclum-	
Independent modulation of bovine brain calmodulin-sensitive phosphodi-	
	450
esterase activity by C-modulins	450
Taranova N. P., Nilova N. S., Voronina T. A., Nerobkova L. N., Markina	
N. V. The effect 2-ethyl-6-methyl-3-hydroxypyridine on lipid peroxidation	
in brain and its neurophysiological effects under rem-sleep deprivation .	460
Annanepesov Kh. A., Chayer a L. S., Konoralov G. G., Mayorora L. P. The	
intensity of total lipid, galactocerebroside and sulfocerebroside metabo-	
lism in the brain of mice with JHM-coronavirus induced acute and chro-	
nic encephalomyelitis	468
inc encephatomyenus	100
Short communications	
Wallet and a second of the sec	
Vasil'eva I. G., Chopik N. G., Kop'ev O. V., Vasil'ev A. N. Polyamine con-	.75
tent of the rabbit brain after mild experimental cerebral trauma	475
Mel'nik A. A., Balkov D. I., Volkot G. L. Gotseet a N. N., Gutaya N. M.	
The effect of N-palmitoyal ethanolamine on transport of cations through	
biological membranes	479
Zakharyan R. A., Gevergyan M. G. Induction of interferon and activation of	
2-5A-synthetase and P67K kinase in the brain by Ca2+-ds RNA	487
2 of Synthetase and Pork kindse in the brain by da a do now	
Reviews	
Lepekhin E. A., Doljenko M. I., Berezin V. A. The brain lectins characteris-	
tic, functions, receptors	488
Parsadanian II. K. Brain calcineurin and a groud of related type-2B protein	
phosphatases	502

СОДЕРЖАНИЕ

- журнала «Нейрохимия», том 9. 1990 год

Выпуск 1

Антоников И. М., Глебов Р. И. Комплексное определение концентрации сво-	
бодного кальция с помощью Са-чувствительного флуоресцентного зон-	
да квин-2 в синантосомах мозга крыс при различных возлействиях	3
Худоерков Р. М. Авторадиографическое исследование синтеза белка в мозгу	
крые под влиянием тетрапентида тафиина и L-ЛОФА	10
Глущенко Т. С., Демин Н. Н., Кленикова В. А., Таранова Н. П. Влияние	
лишения парадоксальной фазы сна на содержание суммарных белков	
и их метаболизм в ядрах нейронов и перинейропальных глиоцитов ряда	
отделов головного мозга крыс	18
Таранова Н. П., Кленикова В. А., Вайдо А. И., Ширяева Н. В., Кулагин	
Д. А., Лопатина Н. Г. Влияние нарушений сна на активность АТРаз	
нейронов и глиоцитов гиппокампа у крыс, селектированных по порогу	
возбудимости нервной системы	24
постоенко В. А., пархоменко Ю. М., Донченко Г. В. Изучение аминохислот-	
ного состава и небелковых компонентов тнаминевизывающего белка синантосом мозга крыс	33
синантосом мозга крыс Орлова Е. И. Активность синантической мембраносвязанной АХЭ в норме и	33
в условиях ранией бинокулярной депривации кролика	40
Лемешко В. В., Стреляный С. М. Мембранная регуляция дыхания митохондрий	30
и гидролиза АТР в гомогенатах мозга крыс разного возраста	47
Молочкина Е. М., Боровок Н. В., Бурлакова Е. Б. Модификация липидной ком-	•
поненты наружных митохондриальных мембран головного мозга мышей	
и кинетических свойств мембраносвязанной МАО при изменении актив-	
ности серотонинергической системы введением антиоксиданта .	57
Гиляево И В Ермакова И В Кирбатова М. Б., Лосева Е. В., Лишекина	
Е А Обидин А Б Хоничева И М. Свободнорадикальное окисление	
линитов мозга при повреждении миндалины и трансплантации в по-	
врежденный участок эмбриональной мозговой ткани	68
Замятнин А. А. Специализированный банк данных по природным регулятор-	75
ным олигопептидам EROP—Moscow	70
Краткие сообщения	
Краткие сообщения	
Прихожан А. В., Ковалев Г. И., Расвский К. С. Модулирование фенамином	
и в-фенилэтиламином высвобождения [3Н]Д-аспарагиновой кислоты	
WILD TOCOMIN KODEL MOSTS KODE	.84
Важимов В. Н. Каланс Н. Э., Рахимова Н. Н., Долго-Сабуров В. Б., Крылов	
С. С. Латерализация распределения в захвата аминокислот в голов-	
ном мозгу крыс	87
Макадов 40 С Страдомский Б. В., Бардахчьян Э. Л. Уридиновые рецен-	
торы мозга: лигандный и ультраструктурный аспекты	91
Прохневский А. И., Сорочинский Б. В. Модификация этанолом сборки мик-	00
ротрубочек мозга	96
Дишкелов А., Митев Ю. Пачев В. Жирнокислотный состав фосфолинидов	
в некоторых структурах мозга крыс с врожденным дефицитом	101
вазопрессина	105
Айанян А Е. Выделение фосфолиназы А2 из толовного мозга ошил Демчук М. Л., Левченко Л. И., Промыслов М. Ш. Процессы перекисного	,
TOTAL TOTAL TOTAL TOTAL VENETHO-MOSTOBON TOSBNC	108
у д Бадаева Л Н Лробинская О. В. Засенко И. И. Про-	
теолиз и его ингибирование в первиой ткани и крови при эксперимен-	
тальной демнелипизации химической этиология	111
• • • • • • • • • • • • • • • • • • • •	

Обзоры

	Березин В. А. Молекулярные основы взаимодействий между первной и им- мунной системами	11
	Корнеев А. Я. Радиолигандный анализ и функциональная гетерогенность 5-HT ₁ -рецепторов	12
		12
	• Рецензии	
	Парсаданям Г. К. Успехи в области фосфопротенифосфатаз (под ред. В. Мерлеведе, Дж. Ди Сальво)	
		14
	Хроника	
	Рылов А. Л. Междупародный симпозиум «Молекулярные основы действия биологически активных веществ на поведение»	14
	Выпуск 2	
	Таранова Н. П., Маликов У. М. Влияние лишения парадоксальной фазы сна на специфическое связывание [3H]морфина и [3H]налоксона с синаптическими мембранами головного мозга крыс	16
	Меликсетян М. Б., Корнеев А. Я., Середенин С. Б. Свойства мест специфиче-	
	ского связывания этилового эфира В-карболин-З-карболовой кислоты от-	
	личных от беизодназепиновых рецепторов в мозгу крысы Кириаков Г. В., Рожанец В. В., Русаков Д. Ю., Колодкина Н. Г., Кампов-По-	16
	левой А. Б., Майский А. И., Лежава Г. Г. Рецепторные системы голов- ного мозга крыс различной типологической принадлежности при стрессе,	
	добровольном потреблении этанола и субхроническом применении ме-	17.
	бикара и бефола	17.
	структурах головного мозга крыс при экспериментальном неврозе . Бархударян И. А., Хориат Л., Галоян Л. А., Овади Ю. Аллостерическая регу-	182
	ляция кальмодулина коронаросуживающими нейропептидами гипоталамуса Абрамян Г. Э., Бобрускин И. Д., Гурвиц Б. Я., Галоян А. А. Влияние антаго-	188
	ниста кальмодулина W-7 на регуляцию активности кальмодулиничувстви-	
	тельной ФДЭ из мозга быка С-модулином I	196
	Левитина М. В., Васильев Л. Л. Изучение содержания и состава цереброзидов	000
	и сульфоцереброзидов в опухолях головного мозга человека	202
	А., Маттиес А. Влияние гипоталамических белок-гормональных комплек-	
	сов на фукозилирование гликопротеннов гиппокампа	209
	Назарян К. Б., Карапетян Н. Г., Казарян Б. А. Различия в стабильности аа	215
	и уу изоферментов енолазы мозга при викубации с нейтральными солями Амбарцумян В. Г., Вартанян А. Г., Оганесян В. С. Особенности регуляции ак-	210
	тивности мембраносвязанной фосфатзависимой глутаминазы спиапто-	223
	сом и митохондрий коры головного мозга Гайдар Л. И., Литвинова Л. В., Втюрина И. Ю., Соловьев Ю. Н., Березин В.	220
	А., Василов Р. Г. Получение моноклональных антител к глиальному фиб-	
	риллярному кислому белку и их использование для характеристики по- липептидного состава глиоспецифического белка в онтогенезе мозга	
	человека	230
	Чехонин В. П., Лиджиева Р. Ц., Коротеева Е. А., Рябухин И. А., Лебедев	
	А. С., Буркина А. Ю., Беляева Н. Ю. Иммунохимическое изучение ме- ханизмов аутоиммунной агрессии антител к нейроспецифическим белкам	
	у крыс с экспериментальным прорывом ГЭБ	239
1	Опарина Т. И., Блюдзин Ю. А., Путилина Ф. Е. Влияние гипердоз витамина А	245
	THE TARGET THE TRANSPORT OF THE PROPERTY OF TH	470

Краткие сообщения

Менджерицкий А. М., Ускова Н. И., Чораян И. О., Михалева И. Н. Хронобно-	
логический эффект дельта-сон индуцирующего поптида и система ГАМК	
в мозгу крыс	26
Войтенко II. Н. Регулиция активности моноаминоксидаз мозга предраслоло- жениых к каталепсии крыс на уровне транскринции	
Галоян А. А., Карапетян Р. О., Попова Т. В. Влияние нейрогормона «С» на	257
синтез и захват [3Н] норадреналнии надпочечниками крыс	26
Погосян А. Ю., Овссиян Л. М., Овеян Г. А., Паносян А. Г., Караграм К Г	
Пеноян А. З. Метаболизм жирных кислот в головном мозгу при экспе-	
риментальном отеке	265
Обзоры	
Галоян А. А. Са ²⁺ -кальмодулии и сопряженные системы регуляцин	271
Выпуск 3	
Dailyck o	
Маслова Г. Б., Августинович Д. Ф., Попова Н. К. Влияние андрогенов на се-	
ротониновые рецепторы мозга крыс	293
Подгорная Е. К., Галкина О. В., Ильюченок Р. Ю. Связывание [3H] дофамива	
ДА2-реценторами синантических мембран различных зои мозга крыс	
после условной реакции пассивного избегания	301
Кнарян В. А., Априкян Г. В. Кинетический анализ высокоаффинного захвата	
L-аспарагиновой кислоты синаптосомами головного мозга белых крыс при старении	309
при старении Абрамян С. С., Чилаг А., Срапионян Р. М., Месропян Н. Г., Галоян А. А.	309
Иммуногистохимическая локализация гипоталамических кардноактивных	
белок-гормональных комплексов в микроструктурах мозга крыс	316
Назарян К. Б., Егорян Р. А., Казарян Б. А. О взаимодействии фосфотлице-	
ратмугазы и еколазы головного моэга	326
Костанян А. Л., Казарян Б. А., Назарян К. Б. Регуляция гликолиза в головном	200
мозгу крыс эстрадиолом-17в и прогестероном Скобелева Н. А., Захарян Р. А., Бухман В. Л., Киселев С. Л., Михайлов С. А.	332
Молекулярное клоинрование и определение первичной структуры гена	
NSE из мозга крысы	339
Краткие сообщения	
Мелькик В. И., Шукалова Т. Ф., Глебов Р. Н. Нейролептики различных клас-	1
сов подавляют Н+-транспорт в мембранах синаптических пузырьков	
MOSES KOHC	345
Певитина M R Жипине кислопи непеблозилов и сульфоцереорозилов голов-	
ware weers fedurationed warners	350
Цаниелян И. С., Меликян Г. Г., Акопян А. Г., Гарибян Д. В., Джагацяваян	
U A FORUMOSCARRU E T VISMONCILLE METRINIPOSSANA ALTIN MUSICA RIPA	354
выработке условного рефлекса пассивного избегания Мартиросян М. А., Карагезян К. Г., Ханбабян М. В., Саркисян Л. В. Двиа-	301
мика изменений содержания стокоферола в мозговой ткани в раз-	
ных стадиях коразоловой эпилепски	358
Научные дискуссии	
уманова С. Ю. Полупроводниковые модули мембран мозга	361
[]исьма в редакцию	-
	100
жалови А. А., Гурвиц Б. Я. Новые гипоталамические карднотропные соедите- ния—универсальные актяваторы базальной активности кальмодуливаза-	
ния—универсальные активаторы одзильной активности кальмодумава- висимых ферментов	369
BUCHNIA OCHOCATOS	

Обзоры

Арутюнян А. В. ADP-рибозилирование белков в мозгу и других органах Сантмуратова О. Х. Синтез белка и ядрах нейронов головного мозга и изу-	373
чение его продуктов	390
Выпуск 4	
Манухин Б. Н., Кичикулова Т. П., Московкин Г. Н. Влияние фосфольназы	
A ₂ на связывание м-холино- и β-адреноблокаторов синантосомами мозга крые	409
Розенгарт Е. В., Шестакова Н. И. Конформационные аспекты взаимедействия аммониевых и сульфонневых субстратов с ацетиях элинэстеразой	- 14
нервной ткани . Туршля Г. А., Акопли Г. Е., Сафразян С. С., Априкян Г В Взаимосвязь ак-	417
тивности у-глутамилтрансферазы и транспортной системы возбуждаю-	427
щих лейромедиаторных аминокислот. Туряница И. М., Пащенко А. Е., Ростока Л. М., Маргитич В. М., Федорович Т. М., Горзов И. П., Бобик Ю. Ю., Побережник М: В. Влияние трийодтиронных и водированного масла на тиреондную и аминокислотную	
обеспеченность головного мозга у морских свинок	432
Габриелян С. К., Срапионян Р. М., Абелян Ж. Г., Саакян С. А. Саакян Ф. М., Галоян А. А. Определение содержания нейроспецифического бе-	
лок-гормонального комплекса в организме крысы с эксперименталь- ным инфарктом мнокарда	438
Закарян Т. Р., Бархударян Н. А., Шувалова Л. А., Островская М. В., Шарова	100
Н. П., Галоян А. А. Регуляция сокращения гладкой мускулатуры пентид-	
ными факторами гипоталамуса Галоян Л. А., Бобруский И. Д. Гурвиц Б. Я. Абрамян Г. Э. Са ² +-пезависимая	444
регуляцыя активности кальмодумизависимой фосфодизстеразы из мозга	
быса С-модулинами	450
Таранова Н. П., Нилова Н. С., Воронина 1. А., Неробкова Л. Н., Маркина Н. В. Влияние 2-этил-6-метил-оксипиридина на состояние перскачного	
окисления липидов головного мозга и его менрофизиологическ в эф- фекты при нарушении сна	460
Аннанепесов Х. Н., Чаева Л. С., Коновалов Г. В., Майорова Л. П. Интенсив-	100
ность метаболизма общих липидов, галактопереброзидов и сульфэцере- брозидов головного мозга при остром и хроническом JHM коронави-	
русном энцефаломиелите у мышей	468
Краткие сообщения	
Васильева И. Г., Чопик И. Г., Копьев О. В.: Васильев А. Н. Содержание по-	
диаминов в головном мозгу кроликов в динамике экспериментальной	478
легкой черенно-мозговой травмы Мельник А. А., Балков Д. И., Волков Г. Л., Говсеева И. И., Гулая И. М. Па- радоксальный эффект N-нальмитоилэтаноламина на транспорт катио-	
нов через биологические мембраны	479
Захарян Р. А., Геворкян М. Г. Индукция Са ²⁺ -дсРНК сцитеза интерферона в мозгу, повышение активности 2-5А-синтетазы, протеникиназы р67К	483
Обзоры	
Лепехин Е. А., Долженко М. И., Березин В. А. Лектины моэга: характери-	
етика функции, рецепторы	488
Парсаданян Г. К. Калькинейрии мозга и группа родственных фосфопротени-	50
фосфатаз типа 2В	.,,

Указатель авторов, опубликованных в томе 9, 1990 г.

Абелян Ж. Г. 438 (4) Абрамян Г. Э. 196 (2), 450 (4) Абрамян С. С. 316 (3) Августинович Д. Ф. 293 (3) Абанян А. Е. 105 (1) Аконян А. Г. 354 (3) Аконян Г. Е. 427 (4) Амбарцумян В. Г. 223 (2) Аннаненесов Х. Н. 468 (4) Антоников И. М. 3 (1) Априкян Г. В. 309 (3), 427 (4) Арутюнян А. В. 373 (3)

Бадаева Л. Н. 111 (1) Балков Д. И. 479 (4) Бардахчьян Э. А. 91 (1) Бархударян Н. А. 188 (2), 444 (4) Беляева Н. Ю. 239 (2) Березин В. А. 114 (1), 230 (2), 488 (4) Блюдзин Ю. А. 245 (2) Бобик Ю. Ю. 432 (4) Бобрускин И. Д. 196 (2), 450 (4) Боровок Н. В. 57 (1) Буркина А. Ю. 239 (2) Бурлакова Е. Б. 57 (1) Буркина В. Л. 339 (3)

Вайдо А. И. 24 (1) Вартанян А. Г. 223 (2) Василов Р. Г. 230 (2) Васильев А. А. 202 (2) Васильев А. Н. 475 (4) Васильева И. Г. 475 (4) Войтенко Н. Н. 257 (2) Волков Г. Л. 479 (4) Воронина Т. А. 460 (4) Втюрина И. Ю. 230 (2)

Габриелян С. К. 438 (4)
Гайдар Л. И. 230 (2)
Галкина О. В. 301 (3)
Галоян А. А. 188 (2), 196 (2), 209 (2), 261 (2), 271 (2), 316 (3), 369 (3), 444 (4), 450 (4)
Гарибджанян Б. Т. 354 (3)
Гарибян Д. В. 354 (3)
Геворкян М. Г. 483 (4)
Глебов Р. Н. 3 (1), 345 (3)
Глущенко Т. С. 18 (1)
Говсеева Н. И. 479 (4)
Грекш Г. 209 (2)

Гулая Н. М. 479 (4)

Гуляева Н. В. 68 (1)

Гурвиц Б. Я. 196 (2), 369 (3), 450 (4)

Даниелян И. С. 354 (3) Демчук М. Л. 108 (1) Демин Н. Н. 18 (1) Джагацпанян И. А. 354 (3) Дишкелов А. 101 (1) Долго-Сабуров В. Б. 87 (1) Долженко М. И. 488 (4) Донченко Г. В. 33 (1) Дробинская О. В. 111 (1)

Егорян Р. У. 326 (3) Ермакова И. В. 68 (1)

Закарян Т. Р. 444 (4) Замятнин А. А. 75 (1) Засенко Н. Н. 111 (1) Захарян Р. А. 339 (3), 483 (4)

Ильюченок Р. Ю. 301 (3) Порк Р. 209 (2)

Казарян Б. А. 215 (2), 326 (3), 332 (3) Қалаус II. Э. 87 (1) Кампов-Полевой Л. Б. 174 (2) Карагезян К. Г. 265 (2), 358 (3) Карапетян Н. Г. 215 (2) Карапетян Р. О. 261 (2) Кириаков Г. В. 174 (2) Киселев С. Л. 339 (3) Кичикулова Т. Г. 409 (4) Кленикова В. А. 18 (1), 24 (1) Кнарян В. А. 309 (3) Ковалев Г. И. 84 (1) Колодкина Н. Г. 174 (2) Коновалов Г. В. 468 (4) **Копьев О. В. 475 (4)** Корисев А. Я. 125 (1), 167 (2) Коротеева Е. А. 239 (2) Костанян А. А. 332 (3) Крылов С. С. 87 (1) Кузьминская У. А. 111 (1) Кулагин Д. А. 24 (1) Курбатова М. Б. 68 (1)

Лебедев А. С. 239 (2) Левитина М. В 202 (2), 350 (3) Левченко Л. И. 108 (1) Лежава Г. Г. 174 (2) Лемешко В. В. 47 (1) Лепехин Е. А. 488 (4) Лиджиева Р. И. 239 (2) Литвинова Л. В. 230 (2) Лопатина Н. Г. 24 (1) Лосева Е. В. 68 (1) Лущекина Е. А. 68 (1)

Майорова Л. П. 468 (4) Майский А. И. 174 (2) Макляков Ю. С. 91 (1) Маликов У. М. 161 (2) Манухии Б. Н. 409 (4) Маргитич В. М. 432 (4) Маркина Л. Н. 460 (4) Мартиросян М. А. 358 (3) Маслова Г. Б. 293 (3) Маттиес А. 209 (2) Меликсетян М. Б. 167 (2) Меликин Г. Г. 354 (3) Мельник А. А. 479 (4) Мельник В. И. 345 (3) Менджерицкий А. М. 251 (2) Месропян Н. Г. 316 (3) Митев Ю. 101 (1) Михайлов С. А. 339 (3) Михалева И. И. 251 (2) Молочкина Е. М. 57 (1) Московкии Г. Н. 409 (4)

Назарял К. Б. 215 (2), 325 (3), 332 (3) Нилова Н. С. 460 (4) Неробкова Л. Н. 460 (4) Неруш П. А. 182 (2)

Обидии А. Б. 68 (1) Овади Ю. 188 (2) Овеян Г. А. 265 (2) Овсенян Л. М. 265 (2) Оганесян В. С. 223 (2) Опарина Г. Н. 245 (2) Орлова Е. И. 40 (1) Островская М. В. 444 (4)

Паносян А. Г. 265 (2)
Парсаданян Г. К. 141 (1), 502 (4)
Пархоменко Ю. М. 33 (1)
Пачев В. 101 (1)
Пащенко А. Е. 432 (4)
Пепоян А. З. 265 (2)
Побережник М. В. 432 (4)
Погоян А. Ю. 265 (2)
Подгорная Е. К. 301 (3)
Попова Т. В. 261 (2)
Попова Н. К. 293 (3)
Норхиевский А. И. 96 (1)

Постоенко В. А. 33 (1) Прихожан А. В. 84 (1) Промыслов М. Ит. 108 (1) Путилина Д. Е. 245 (2)

> Раевский К. С. 84 (1) Рахимов Р. Н. 87 (1) Рахимова Н. Н. 87 (1) Рожанец В. В. 174 (2) Розенгарт Е. В. 409 (4) Ростока Л. М. 432 (4) Русаков Д. Ю. 174 (2) Рылов А. Л. 144 (1) Рябухии И. А. 239 (2)

Саакян С. А. 209 (2), 438 (4) Саакян Ф. М. 209 (2), 438 (4) Сантмуратова О. Х. 390 (3) Саркисян Л. В. 358 (3) Сафразян С. С. 427 (4) Середенин С. Б. 167 (2) Скобелева Н. А. 339 (3) Соловьев Ю. Н. 230 (2) Срапионян Р. М. 209 (2), 316 (3), 438 (4) Страдомский Б. В. 91 (1) Стреляный С. М. 47 (1) Сорочинский Б. В. 96 (1)

Таранова Н. П. 18 (1), 24 (1), 161 (2), 460 (4) Туманова С. Ю. 361 (3) Турини Г. А. 427 (4) Туряница И. М. 432 (4)

Ускова Н. И. 251 (2)

Федорович Т. М. 432 (4)

Ханбабян М. В. 358 (3) Хоничева Н. М. 68 (1) Хорват Л. 188 (2) Худоерков Р. М. 10 (1)

Чеховин В. П. 239 (2) Чилаг А. 316 (3) Чопик Н. Г. 475 (4) Чораян И. О. 251 (2)

Шарова Н. П. 444 (4) Ширяева Н. В. 24 (1) Шестакова Н. Н. (3) Шувалова Л. А. 444 (4) Шукалова Т. Ф. 345 (3)

CUMULATED AUTHOR INDEX, volume 9, 1990

Abelyan J. G. 438 (4)
Abramyan G. E. 196 (2), 450 (4)
Abramyan S. S. 316 (3)
Akopyan A. G. 354 (3)
Akopyan G. E. 427 (4)
Ambartsumyan V. G. 223 (2)
Annanepesov Kh. A. 468 (4)
Antonikov I. M. 3 (1)
Aprikyan G. V. (3), 427 (4)
Arutyunyan A. V. 373 (3)
Avgustinovich D. F. 293 (3)
Ayanian A. Y. 105 (1)

Badaeva L. N. 111 (1)
Balkov D. I. 479 (4)
Bardakheltan E. A. 91 (1)
Barkhudaryan N. A. 188 (2), 444 (4)
Belyaeva N. Yu. 239 (2)
Beresin V. A. 114 (1), 230 (2), 488 (4)
Blyudzin Yu. A. 245 (2)
Bobik Y. Y. 432 (4)
Bobruskin I. D. 196 (2), 450 (4)
Borovok N. V 57 (1)
Bukhman V. 1., 319 (3)
Burlakova Ye. B. 57 (1)
Burkina A. Yu. 239 (2)

Chanbabian M. V. 358 (3) Chekhonin V. P. 239 (2) Chopik N. G. 475 (4) Chorayan I. O. 251 (2) Chilag A. (3)

Danielyan I. S. 354 (3)
Demchuk M. L. 108 (1)
Dishkelov A. 101 (1)
Doemin N. N. 18 (1)
Dolgo-Saburov V. A. 87 (1)
Doljonko M. I. 488 (4)
Donchenko O. V. 33 (1)
Drobinskaya O. V. 111 (1)
Dzhagatspanyan I. A. 314 (3)

Egoryan R. U. 326 (3) Ermakova I. V. 68 (1)

Gabrielyan S. K. 438 (4) Galoyan A. A. 182 (2), 195 (2), 209 (2), 261 (2), 271 (2), 316 (3), 369 (3), 438 (4), 444 (4), 450 (4) Galdar L. I. 230 (2)
Galkina O. V. 301 (3)
Garibdzhanyan B. T. 354 (3)
Garibyan D. V. 351 (3)
Gevorgyan M. G. 483 (4)
Glebov R. N. 3 (1), 345 (3)
Glushchenko T. S. 18 (1)
Greksh G. 269 (2)
Govseeva N. N. 479 (4)
Gulyaeva N. V. 68 (1)
Gulaya N. M. 479 (4)
Gurvits B. Ya. 196 (2), 369 (3), 450 (4)

Horvath L. 188 (2)

Hyuchenok R. Yu. 301 (3)

Jork R. 209 (2)

Kampov-Polevol A. B. 174 (2) Kalaus N. E. 87 (1) Karagezyan K. G. 265 (2), 368 (3) Karapetyan N. G. 215 (2) Karapetyan R. O. 26 (2) Kazaryan B. A. 215 (2), 526 (3), 332 (3) Khonicheva N. M. 68 (1) Khudoerkov R. M. 10 (1) Kichikulova T. P. 409 (4) Kiriakov G. V. 174 (2) Kiselev S. L. 339 (3) Klenikova V. A. 18 (1), 21 (1) Knaryan V. A. 309 (3) ko.odk-na N. C. 174 (2) Konovalov G. V. 468 (4) Koptev O. V. 475 (4) Koroteeva E. A. 239 (2) Korneyev A. Ya. 121 (1), 167 (2) Kostanyan A. A. 332 (3) Kovalev G. I. 84 (1) Krylov S. S. 87 (1) Kulagin D. A. 21(1) Kurbatova M. B. 68 (1) Kuzminskaya U. A. 111 (1)

Lebedeva A. C. 239 (2) Lemesliko V. V. 47 (1) Lepechin E. A. 488 (4) Levilina M. V. 202 (2), 350 (3) Levchenko L. I. 108 (1) Lezhava G. G. 174 (2) Lidzhieva R. Ts. 239 (2) Litvinova L. V. 230 (2) Lopatina N. G. 24 (1) Loseva E. V. 68 (1) Lushchekina E. A. 68 (1)

Maisky A. I. 174 (2) Majorova L. P. 468 (4) Maklyakov U. S. 91 (1) Malikov U. S. 161 (2) Manukhin B. N. 409 (4) Margitish V. M. 432 (4) Markina N. V. 460 (4) Martirosian M. A. 358 (2) Maslova G. B. 293 (3) Matthles H. 209 (2) Meliksetvan M. B. 167 (2) Melikvan (i. G. 354 (3) Melnik A. A. 479 (4) Meinik V. I. 315 (3) Mendzeritskii A. M. 251 (2) Mesropyan N. G. 316 (3) Mikhaleva I. I. 251 (2) Mikhaylov S. A. 339 (3) Mitev Y.-101 (1) Molochkina Ye. M. 57 (1) Moskovkin G. N. 409 (3)

Nazaryan K. B. 215 (2), 326 (3), 332 (3) Nerobkova L. N. 460 (4) Nerush P. A. 182 (2) Nilova N. S. 460 (3)

Obldin A. B. 68 (7)
Oganesyan V. S. 223 (2)
Oparina T. L. 245 (2)
Orlova E. I. 40 (1)
Ostrovskaja M. V 444 (4)
Ovadi J. 188 (2)
Oveyan G. A. 265 (2)
Ovsepyan L. M. 265 (2)

Panosyan A. G. 265 (2)
Parkhomenko Yu. M. 33 (1)
Parsadanian G. K. 141 (1), 502 (4)
Patchev V. 101 (1)
Paschenko A. E. 432 (4)
Pepoyan A. Z. 265 (2)
Phedorovich T. M. 432 (1)
Poberejnik M. V. 432 (4)
Pogosyan A. Yu. 265 (2)
Podgornaya E. K. 301 (3)
Popova N. K 293 (3)
Popova T. V. 261 (2)
Postoenko V. A. 33 (1)
Prikhozan A. V. 84 (1)

Prokhnevsky A. 1- 96 (1) Promyslov M. Sh. 108 (1) Putilina F. E. 245 (2)

Rakhimova N. N. 87 (1)
Rakhimova R. N. 87 (1)
Rayevsky K. S. 84 (1)
Rosioka A. M. 432 (4)
Rozengart E. V. (3), 409 (4)
Rozhanets V. V. 174 (2)
Rusakov D. Yu. 174 (2)
Ryabukhin I. A. 239 (2)
Rylov A. L. 114 (1)

Sahakian F. M. 209 (2), 438 (4) Sahakian S. A. 209 (2), 438 (4) Saitmuratova O. Kh. 390 (3) Saphrazyan S. S. 427 (4) Sarkisian L. V. 358 (3) Seredenin S. B 167 (2) Sharova N. P. 444 (4) Shestakova N. N. 417 (4) Shiryaeva N. V. 24 (1) Shukalova T. F. 345 (3) Shuvalova L. A. 414 (4) Skobeleva N. A. 339 (3) Solovyev Yu. N. 230 (2) Sorochinsky B. V. 96 (1) Stapionian R. M. 209 (2), 316 (3), 438 (4) Stradomsky B. V. 91 (1) Strelyany S. M. 46 (1)

Taranova N. P. 18 (1), 24 (1), 161 (2), 460 (4)
Tumanova S. Yu. 361 (3)
Turshiau E. A. 427 (4)
Turjanitza U. M. 432 (4)

Uskova N. I. 251 (2)

Vajdo A. I. 24 (1) Vasil'ev A. N. 475 (4) Vasil'ev A. A. 202 (2) Vasil'eva I. G. 475 (4) Vasilov R. G. 230 (2) Vartanyan A. G. 223 (2) Voitenko N. N. 257 (2) Volkov G. L. 479 (4) Voronina T. A. 460 (4) Vtyuriana I. Yu. 230 (2)

Zakharyan R. A. 339 (3), 483 (3) Zakaryan T. R. 444 (4) Zamyatin **A.** A. 75 (1) Zasenko I. I. 111 (1)